Patología y Rehabilitación Estructural de la Superestructura de un Puente en Concreto Reforzado Ubicado en el Municipio la Calera — Cundinamarca

Stephanie Andrea Bueno Lara

Proyecto de Grado para optar al título de Magister en Ingeniería Estructural

Director

Oscar Alberto Díaz Másmela

Magister en Estructuras

Universidad Industrial de Santander
Facultad de Ingeniería Fisicomecánicas
Escuela de Ingeniería Civil
Maestría en Ingeniería Estructural
Bucaramanga

2018

Dedicatoria

El presenta trabajo es dedicado a todas las personas que contribuyeron para la elaboración del mismo, la empresa CONCRELAB, Planta de profesores de la maestría en ingeniería, secretaria de obras públicas, amigos y familiares.

Especial dedicatoria a los profesores Roberto Rochel Awad y Jaime Erasmo Garzón, por su entrega en cada una de sus clases magistrales que se convierten en inspiración para muchos, en el camino de la ingeniería estructural.

Agradecimientos

Especial agradecimiento al ingeniero Oscar Alberto Díaz Másmela, director del proyecto, a la empresa CONCRELAB por su gran colaboración para la elaboración de Ensayos No Destructivos (END). Así mismo, a la Secretaria de Obras públicas y secretaria de planeación de la calera por el suministro de la información y permisos necesarios para la elaboración del proyecto.

Se expresa sentimiento de gratitud a la Universidad Industrial de Santander y a la planta de profesores de la Maestría de Ingeniería Estructural por su dedicación y apoyo durante todo el proceso de formación. Así mismo, se exalta el trabajo de los calificadores del presente proyecto que a través de sus críticas constructivas contribuyeron al mejoramiento.

Contenido

Introducción
1. Definición del problema
2. Justificación
3. Objetivos
3.1 Objetivo General
3.2 Objetivos Específicos
4. Marco Teórico
4.1 Patología Estructural
4.2 Metodologías para estudio de patología estructural
4.2.1 Metodología INVÍAS: inspección visual puentes y pontones
4.2.1.1 Procedimiento general de la inspección
4.2.2 Método directo de patología estructural
4.3 Ensayos no destructivos y semidestructivos para el diagnóstico estructural
4.3.1 Inspección visual: microscopio detector de grietas
4.3.2 Ensayo de Escáner
4.3.3 Ensayo de ultrasonido.
4.3.4 Ensavo de esclerometría

4.3.5 Frente de carbonatación	32
4.3.6 Extracción de núcleos.	33
4.3.7 Determinación de potencial de corrosión	33
4.3.8 Termografía infraroja ACI 228-2R	34
4.4 Rehabilitación Estructural	35
4.4.1 Técnicas de intervención de una estructura	35
4.4.1.1 Reparación	35
4.4.1.2 Reconstrucción Parcial.	35
4.4.1.3 Refuerzo.	36
4.4.1.4 Reestructuración.	36
4.4.1.5 Rehabilitación.	36
4.5 Documentación de profundización	37
5. Metodología	37
6. Descripción de la estructura de estudio	39
6.1 Antecedentes Técnicos.	39
6.2 Localización de la estructura de estudio	39
6.3 Información del tránsito	40
6.4 Descripción estructural y tipología del puente	41
7. Aplicación de la metodología de inspección de INVIAS	42
7.1 Procedimiento de la inspección	42

7.2 Elementos y equipos	43
7.3 Esquema en planta del puente	44
7.4 Fotografías de la estructura de estudio	45
7.5 Registro de toma de medidas de los elementos del puente (Apéndice 4)	47
7.6 Registro de patologías encontradas (Apéndice 2)	48
7.7 Esquemas de las patologías encontradas por elemento y fotografías (Apéndice 3)	49
8. Ensayos no destructivos (END)	61
8.1 Resultados del ensayo de carbonatación	61
8.2 Resultados de la esclerometría	62
8.3 Resultados de los núcleos de concreto	64
8.4 Resultados del Ferroscan	65
9. Análisis estructural de la estructura existente	68
9.1 Consideraciones del análisis	69
9.2 Patrones y casos de carga	69
9.3 Definición de los vehículos de carga	71
9.4 Asignación de cargas sobreimpuestas	73
9.5 Combinaciones de carga para el análisis	74
9.6 Resultados De Momentos (M3) y cortantes (V2) En El Modelo	76
9.6.1 Momentos m3 y cortantes v2: viga exterior izquierda	76
9.6.2 Momentos M3 y cortantes V2: viga interior 1	77
9.6.3 Momentos M3 y cortantes V2: viga interior 2	78
9.6.4 Momentos M3 y cortantes V2: viga interior 3	79

9.6.5 Momentos M3 y cortantes V2: viga interior 4	80
9.6.6 Momentos M3 y cortantes V2: viga exterior derecha	81
10. Memoria de cálculo Análisis Estructural CCP-14 Estructura Existente	83
11. Descripción propuesta de reforzamiento	85
11.1 Tratamiento a las patologías encontradas	85
11.2 Alternativas de reforzamiento	86
11.3 Enchaquetado con láminas de acero	87
11.3.1 Envoltura con ángulos y platinas.	87
11.3.2 Reforzamiento con materiales de fibras poliméricas (FRP).	88
11.3.3 colocación de cables tensados de acero o FRP.	88
11.4 Propuesta de reforzamiento detallada: recrecimiento de secciones	89
11.5 Recrecimiento de la losa	92
11.5 Recrecimiento de las vigas	93
12. Conclusiones y observaciones	96
12.1 Inspección visual del puente – INVIAS	96
12.2 Ensayo End: Carbonatación	97
12.3 Ensayo End: Esclerometría	97
12.4 Ensayo End: núcleos de concreto	98
12.5 Ensayo End: Ferroscan	98
12.6 Inspección de Elementos Basado en La Aashto	99

,	,	
PATOLOGIA	Y REHABILITACIÓN ESTI	RUCTURAL DE LA

12.7 Análisis Estructural	103
Referencias bibliográficas	105
Apéndices	112

Lista de Figuras

Figura 1. Descripción general del procedimiento de inspección – Metodología INVÍAS 28
Figura 2. Ensayos no destructivos y semi-destructivos más comunes para patología estructural
(DÍAZ MÁSMELA, 2017)
Figura 3. Fotografía END: Microscopio detector de Grietas Adaptada de: (DÍAZ MASMELA,
2017)
Figura 4. Basado en el principio de reluctancia magnética (Adaptada de ACI 228-2R Fig. 2.5.1)
Figura 5. Posibilidades de detección con el uso de escáner. (CONSTRUDATA, 2017)
Figura 6. a) Efectos y defectos del pulso ultrasónico b) Sistema de trasmisión a través de pruebas.
Adaptada de ACI 228-2R Fig. 2.2.1 (ACI COMMITTEE 228, 2013)
Figura 7. Esclerómetro digital. Adaptada de (DÍAZ MASMELA, 2017)
Figura 8. Trozo de concreto extraído y rociado con fenolftaleína. Adaptada de (DÍAZ
MASMELA, 2017)
Figura 9. Equipo para refrentar especímenes de ensayo Adaptada de la NTC 3658 (ICONTEC,
1994)
Figura 10. Electrodo de referencia de circuitos. Adaptada de ASTM C876 (ASTM
INTERNATIONAL, 2013)
Figura 11. Ejemplo de Termografía infrarroja. Adaptada de ACI 228-2R Fig. 2.7.3 (ACI
COMMITTEE 228, 2013)
Figura 12. Reforzamiento a través de encamisados. (DÍAZ MASMELA, 2017)

Figura 13. Localización de la estructura de estudio. (ALCALDIA DE LA CAL	ERA, 2017)
(GOOGLE EARTH, 2018)	40
Figura 14. Sección transversal del puente.	41
Figura 15. Sección longitudinal del puente	42
Figura 16. Fotografía de equipos utilizados para la inspección	44
Figura 17. Esquema general del puente	45
Figura 18. Panorámica general del puente – superficie del puente	46
Figura 19. Fotografía del perfil del puente	46
Figura 20. Ensayo de carbonatación sobre los núcleos de Concreto	62
Figura 21. Ensayo de esclerometría	63
Figura 22. Grupo de núcleos de concreto: Losa	64
Figura 23. Grupo de núcleos de concreto: Vigas	64
Figura 24. Modelo de Geometría del Puente	68
Figura 25. Patrones de carga definidos en CSI Bridge	70
Figura 26. Casos de carga definidos en CSI Bridge	70
Figura 27. Camión de diseño CCP-14 (INVIAS, 2014)	71
Figura 28. Definición del camión CCP-14	72
Figura 29. Definición del camión Tándem	73
Figura 30. Asignación de cargas: barandas	73
Figura 31. Asignación de cargas: Andenes	74
Figura 32. Asignación de cargas: Pavimento.	74
Figura 33. Combinaciones de carga implementadas en el modelos	75
Figura 34. Modelo analizado para las combinaciones de carga	75

Figura 35 . Momento M3 viga exterior izquierda - Combo resistencia I
Figura 36. Cortante V2 viga exterior izquierda - Combo resistencia I
Figura 37 . Momento M3 viga interior 1 - Combo resistencia I
Figura 38 . Cortante V2 viga interior 1 - Combo resistencia I
Figura 39 . Momento M3 viga interior 2 - Combo resistencia I
Figura 40 . Cortante V2 viga interior 2 - Combo resistencia I
Figura 41 . Momento M3 viga interior 3 - Combo resistencia I
Figura 42 . Cortante V2 viga interior 3 - Combo resistencia I
Figura 43 . Momento M3 viga interior 4 - Combo resistencia I
Figura 44 . Cortante V2 viga interior 4 - Combo resistencia I
Figura 45. Momento M3 viga exterior derecha - Combo resistencia I
Figura 46 . Cortante V2 viga exterior derecha- Combo resistencia I
Figura 47. Alternativa de reforzamiento: Enchaquetado con láminas de acero (SIKA, 2017) 87
Figura 48. Alternativa de reforzamiento: Envoltura con ángulos y platinas de acero (SIKA, 2017)
Figura 49. Alternativa de reforzamiento: Reforzamiento con fibras poliméricas (SIKA, 2017) 88
Figura 50. Alternativa de reforzamiento: Colocación de cables tensados de acero (SIKA, 2017)
Figura 51 . Detalle para bombeo del concreto
Figura 52. Detalle corte de tablero
Figura 53. Definiciones y condiciones de estado – Losa en concreto reforzado (AASHTO, 2015,
págs. 3-6)
Figura 54. Definiciones y condiciones de estado – Barandas (AASHTO, 2015, págs. 3-24) 101

PATOLOGÍA Y REHABILITACIÓ	N ESTRUCTURAL DE LA

Figura 55. Definiciones y condiciones de estado -	- Vigas	102
g	-6	

Lista de tablas

Tabla 1. Bibliografía de profundización recomendada	37
Tabla 2. Metodología de desarrollo de la investigación.	38
Tabla 3. Resultados del ensayo de carbonatación.	62
Tabla 4. Resultados de ensayo de esclerometría.	63
Tabla 5. Resultados del ensayo de resistencia a la compresión	65
Tabla 6. Resultados del ensayo de ferroscan	66
Tabla 7. Comparativo entre la ingeniería y ensayo de ferroscan en campo	66
Tabla 8. Cuadro comparativo espaciamiento entre barras	67
Tabla 9. Tratamiento a las patologías encontradas.	85
Tabla 10. Reforzamiento de la losa del puente	89
Tabla 11. Reforzamiento longitudinal de la viga exterior del puente	90
Tabla 12. Reforzamiento transversal de la viga exterior del puente	90
Tabla 13. Reforzamiento longitudinal de la viga interior del puente	91
Tabla 14. Reforzamiento transversal de la viga interior del puente	91

Lista de Apéndices

Apéndice A: Códigos de registros y listado de convenciones y unidades de cuantificación de d	años
	. 112
Apéndice B. Formato para inspección visual de puentes y pontones	. 114
Apéndice C. Formato Elaboración de Esquemas	. 115
Apéndice D. Formato de toma de mediciones en campo	. 116
Apéndice E. Plano ingeniería del puente existente	. 117
Apéndice F. Plano de ingeniería actualizada a lo encontrado en campo	. 119
Apéndice G. Plano propuesta de reforzamiento	. 121
Apéndice H. Solicitud en secretaria de planeación de elaboración de ensayos End (incluye P	MT)
	. 123
Apéndice I. Informe extracción, compresión de núcleos de concreto y carbonatación - concre	relab
	. 130
Apéndice J. Informe Esclerometría – Concrelab	. 139
Apéndice K. Informe Detección con Ferroscan - Concrelab	. 143
Apéndice M. Concepto de ampliación del puente	. 152
Apéndice N. Memoria de cálculo de análisis del puente	. 152

Glosario

Carbonatación: Reacción entre el dióxido de carbono (CO₂), presente en el aire o en el suelo, con los componentes alcalinos del concreto Ca(OH)₂ generando carbonato de calcio (CaCO₃) que disminuye la reserva alcalina del concreto facilitando el proceso de corrosión del acero. (INSTITUTO NACIONAL DE VÍAS, 2006)

Ensayos no destructivos (END): Ensayos que proporcionan información acerca del objeto de estudio sin que este presente algún deterioro durante el proceso. (CAÑADA SORIANO & ROYO PASTOR, 2010, pág. 8)

Esclerometría: Ensayo no destructivo para determinar la resistencia del concreto a través de un martillo de rebote. (DELGADO ESTRADA & GUERRERO BENAVIDES, 2015)

Hormigueros: Alteración sufrida en el concreto endurecido, donde se evidencian zonas vacías sobre la cara de un elemento. (INSTITUTO NACIONAL DE VÍAS, 2006)

Juntas de expansión: Mecanismo que permite movimientos y rotaciones entre dos partes de una estructura evitando sobre-esfuerzos. (INSTITUTO NACIONAL DE VÍAS, 2006)

Lesiones: daños externos o internos que sufre una estructura generalmente por exposición a solicitaciones mecánicas o situaciones como: acciones sísmicas, explosiones, incendios y sobrecargas o por abuso, entre otras (TREVIÑO TREVIÑO, 1998, pág. 54).

LFR: (Load Factor Raiting) Factor de carga nominal. (AASHTO, 2011)

Segregación: Distribución inadecuada de los componentes de la mezcla que propicia un desplazamiento de los agregados gruesos hacia la parte inferior de la estructura. (INSTITUTO NACIONAL DE VÍAS, 2006)

Patología estructural: Especialidad que estudia las alteraciones del equilibrio de una estructura afectando su funcionamiento y su servicio. (ZANNI, 2008, pág. 25)

Resumen

Título: Patología y rehabilitación estructural de la superestructura de

un puente en concreto reforzado ubicado en el Municipio la

Calera – Cundinamarca

Autor: Stephanie Andrea Bueno Lara**

Palabras clave: Patología estructural, rehabilitación, metodología de

inspección INVIAS, ccp-14, ensayos no destructivos.

Descripción:

Este proyecto realiza la patología de la súper-estructura de un puente en concreto reforzado ubicado en la Calle 5 #2-98 del municipio La Calera, en Cundinamarca (GOOGLE MAPS, 2017), a través de la siguientes metodologías de análisis: Método INVIAS y método Directo (INSTITUTO NACIONAL DE VÍAS , 2006) (DÍAZ MÁSMELA, 2017, pág. 6).

El método INVIAS, tiene en cuenta el procedimiento descrito en el Manual de Inspección Visual de Puentes y Pontones (INSTITUTO NACIONAL DE VÍAS, 2006). El método directo tendrá en cuenta los siguientes ensayos (DÍAZ MASMELA, 2017): Microscopio detector de grietas, ensayo de escáner, ensayo de esclerometría, frente de carbonatación y extracción de núcleos de concreto.

El análisis de los resultados obtenidos y la evaluación de cargas del puente se realizan a través del módulo CSI Bridge® 2017 (CSI COMPUTERS & STRUCTURES) y la verificación del modelo matemático a través de hojas de cálculo que permiten identificar las solicitudes mínimas de refuerzo, acordes con los lineamientos estipulados en el CCP-14 (ASOCIACIÓN COLOMBIANA DE INGENIERÍA SÍSMICA - AIS, 2014)

Se enseñan diferentes metodologías de reforzamiento (SIKA, 2017), sin embargo, la ingeniería presentada se basa en el método de recrecimiento de secciones. Los anexos de este estudio cuentan con planos de la ingeniería existente, planos de la propuesta de reforzamiento e informe de ensayos no destructivos realizados por la empresa CONCRELAB.

Es importante anotar que el presente estudio no incluye la patología de la cimentación del puente, solamente tiene en cuenta el análisis de la súper-estructura, adicional a esto, se evalúa el estado de elementos no estructurales como: Barandas, carpeta asfáltica y andenes

^{*} Trabajo de grado

^{**} Facultad de Ingenierías Físico-Mecánicas. Escuela de Ingeniería Civil. Director: Oscar Alberto Díaz Másmela, Ingeniero Civil.

Abstract

Title: Structural pathology and rehabilitation in the superstructure of

reinforced concrete bridge located in la Calera -

Cundinamarca

Author: Stephanie Andrea Bueno Lara

Keywords: Structural pathology, INVIAS inspection methodology, ccp-

14, nondestructive testing.

Description:

This project does the pathology of the super structure of a reinforced concrete bridge located at street 5 #2-98 in La Calera, Cundinamarca (GOOGLE MAPS, 2017). It uses the following methodology of analysis: INVIAS Method y Direct Method (INSTITUTO NACIONAL DE VÍAS, 2006) (DÍAZ MÁSMELA, 2017, pág. 6).

The INVIAS method, consideres the Visual Inspection of Bridges and Pontones manual procediment (INSTITUTO NACIONAL DE VÍAS, 2006). The direct method is based in the next tests (DÍAZ MÁSMELA, 2017): Fissure detector microscope, scanner test, sclerometry test, carbonation test and concrete core extraction.

The analysis of the results and the loads on the bridge are evaluated with CSI Bridge® 2017 (CSI COMPUTERS & STRUCTURES). The mathematical model verification is through an Excel spreasdsheet in order to identify the mínimum reinforcement requests, according with the CCP-14 (ASOCIACIÓN COLOMBIANA DE INGENIERÍA SÍSMICA - AIS, 2014).

The investigation presents different reinforcement methodologies but the engineering is based on incrementing sections. The annexes are composed by existing engineering plans, reinforcement proposal and the report of non-destructive tests that was make for the company CONCRELAB.

It is important to show this study does not include the brigde foundation pathology only the anlysis of the super-structure, also non-structural elements such as: Pedestrian handrails, roadway and pedestrian platform, are evaluated.

^{*} Bachelor Thesis

^{**} Facultad de Ingenierías Físico-Mecánicas. Escuela de Ingeniería Civil. Director: Oscar Alberto Díaz Másmela, Ingeniero Civil.

Introducción

Según la real academia de la lengua española, la palabra patología de define como "Conjunto de síntomas de una enfermedad" (REAL ACADEMIA DE LA LENGUA ESPAÑOLA, 2017), ahora bien, la patología estructural se utiliza para designar a la ciencia que se dedica a estudiar los problema o enfermedades que surgen en las estructuras después de construidas (ZANNI, 2008, pág. 25).

Los daños que se producen en una estructura pueden ser ocasionados por: Cargas accidentales superiores a las cargas de diseño o también porque su vida útil ha sido excedida, cambiando sus propiedades físicas o mecánicas, de ahí, que los ingenieros e investigadores hayan visto la necesidad de monitorear la salud estructural y hacer las rehabilitaciones pertinentes en caso de ser necesario (CUARTAS OSPINA & RIVEROS JEREZ, EBSCOhost, 2017).

La Calera, es un municipio ubicado en el departamento de Cundinamarca al Noreste de Bogotá en las coordenadas 4° 43' 17" de latitud norte y 73° 58' de longitud oeste de Greenwich (ALCALDÍA DE LA CALERA, 2017) a través del cual pasa el río Teusacá, con lo cual fueron construidos diversos puentes requeridos para el paso río a lo largo del municipio (GOOGLE MAPS, 2017) (INVIAS, Instituto Nacional de Vias, 2017).

Los puentes son obras esenciales de infraestructura vial, destinadas a salvar obstáculos ya sean naturales o artificiales (Ríos, lagos, vías férreas, carretas entre otros) algunas de estas estructuras

son antiguas, por tanto vulnerables a presentar condiciones de deterioro que afectan su operación haciendo importante profundizar sobre su estado y comportamiento estructural (MUÑOZ DÍAZ, Reseña Histórica, tipología, diagnóstico y recuperación, 2012, pág. 15).

Con el fin de estudiar y verificar la integridad de la estructura de estudio, se emplean ensayos no destructivos (END), los cuales proporcionan información significativa evitando que se presente algún tipo deterioro y al mismo tiempo garantizando su calidad. (CAÑADA SORIANO & ROYO PASTOR, 2010, págs. 11-12).

Es importante aclarar que la presente investigación corresponde a un documento académico de la Universidad Industrial de Santander que contó con el apoyo de la Alcaldía Municipal de la calera.

1. Definición del problema

El INVIAS, por medio de su dirección técnica realizó la actualización del Código Colombiano de Diseño Sísmico de Puentes (CCP-95), luego de 18 años de su implementación desarrolló la nueva norma colombiana de diseño de puentes CCP-14 (INVÍAS, Instituto Nacional de Vías, 2018). Esta norma se basa en las especificaciones americanas AASHTO LRFD, 6ª edición e incluye aspectos novedosos en los mapas de amenaza sísmica y carga viva vehicular de diseño que mejoran los criterios de confiabilidad estructural (INVÍAS, Instituto Nacional de Vías, 2018).

Después de esto, queda preguntarse si las estructuras existentes que fueron diseñadas con el CCP-95 son estructuralmente confiables. Teniendo en cuenta que existen estructuras antiguas vulnerables a condiciones de deterioro que puede afectar su operación, se hace necesario profundizar sobre su estado y comportamiento estructural (MUÑOZ DÍAZ, Ingeniería de Puentes, 2012). De ahí, se origina la razón del presente estudio queriendo analizar si un puente construido hace más de 60 años presenta falencias críticas con respecto a la norma vigente, el CCP-14.

Con base en lo anterior y con la responsabilidad de garantizar el bienestar social (MUÑOZ DÍAZ, Ingeniería de Puentes, 2012), se hace necesario tener conocimiento sobre: historia del puente, daños en la estructura por cargas accidentales superiores a las de diseño, mantenimientos, rehabilitaciones, proceso constructivo, entre otras (CUARTAS OSPINA & RIVEROS JEREZ, EBSCOhost, 2017).

2. Justificación

Los puentes representan estructuras que juegan un papel importante en el desarrollo de un país y su economía, trayendo consigo grandes beneficios siempre y cuando se encuentren en buen estado. Cuando un puente tiene un mal funcionamiento, se crea un peligro potencial para la comunidad que debería ser mitigado. (CUARTAS OSPINA & RIVEROS JEREZ, EBSCOhost, 2017).

Actualmente, el diseño de los puentes en Colombia se encuentra regulado por la norma colombiana de diseño de puentes CCP 14, la cual se encuentra basada en la AASHTO LRFD bridge design specifications 2012 - 2014 (ASOCIACIÓN COLOMBIANA DE INGENIERÍA SÍSMICA - AIS, 2014).

Teniendo en cuenta que el CCP-14 constituye una norma muy reciente, que sufrió una actualización relevante en la calibración de la carga vehicular de diseño (ASOCIACIÓN COLOMBIANA DE INGENIERÍA SÍSMICA - AIS, 2014, pág. 2), se hace importante verificar la falencias que puede presentar un puente en funcionamiento que fue construido con una norma antigua para el cumplimiento de los nuevos lineamientos del CCP-14.

Tan importante como la identificación de las patologías de una estructura, es la intervención para la rehabilitación, por lo que se requiere identificar la solución más adecuada que mitigue el riesgo potencial de una estructura con un comportamiento estructural inadecuado (OLVAN, 2014).

3. Objetivos

3.1 Objetivo General

Determinar el estado estructural de un puente vehicular de concreto reforzado, con respecto al CCP-14, ubicado en el municipio La Calera a través del método INVIAS y método DIRECTO (INSTITUTO NACIONAL DE VÍAS, 2006) (DÍAZ MASMELA, 2017), proponiendo una alternativa adecuada de rehabilitación en caso de ser requerido.

3.2 Objetivos Específicos

Identificar las posibles lesiones estructurales que puede presentar un puente en concreto reforzado, a través de la aplicación de ensayos no destructivos como: Inspección visual, escáner, esclerometría, frente de carbonatación y núcleos de concreto.

Implementar un modelo matemático que permita verificar la capacidad de carga existente de la estructura de estudio.

Proponer una alternativa de rehabilitación adecuada, al puente de estudio, para la solución de las patologías encontradas.

4. Marco Teórico

Con el fin de poder comprender a cabalidad a lo que se refiere este trabajo se definen los términos más representativos:

4.1 Patología Estructural

Patología es la ciencia encargada de estudiar las lesiones que se producen en una estructura las cuales pueden o no manifestarse a través de algún síntoma externo visual, sonoro, olores, entre otros, (ZANNI, 2008, pág. 25).

Para un proceso de investigación de una estructura, se realiza (OLVAN, 2014, pág. 14):

- 1. Análisis constructivo y estructural
- 2. Análisis Patológico
- 3. Intervención de seguridad
- 4. Reparación, restauración, rehabilitación

El análisis patológico tiene en cuenta factores como: procesos degenerativos de los materiales, vicios durante la fase de diseño, alteraciones constructivas, cambios en las condiciones de servicio y degradación natural por envejecimiento (OLVAN, 2014, pág. 15).

Es importante anotar que la calidad y seguridad en el servicio de una estructura no recae en su totalidad en la resistencia a compresión del concreto por lo se requiere la evaluación de los diferentes elementos estructurales a través de metodologías de inspección visuales y de elaboración de pruebas no destructivas. (DÍAZ MÁSMELA, 2017, pág. 7)

A continuación, se presentan algunas definiciones significativas, para el entendimiento del desarrollo del proyecto:

- <u>Patología estructural</u>: Especialidad que estudia las alteraciones del equilibrio de una estructura afectando su funcionamiento y su servicio (ZANNI, 2008, pág. 25).
- <u>Lesiones:</u> daños externos o internos que sufre una estructura generalmente por exposición a solicitaciones mecánicas o situaciones como: acciones sísmicas, explosiones, incendios y sobrecargas o por abuso, entre otras (TREVIÑO TREVIÑO, 1998, pág. 54).
- <u>Síntoma:</u> Anomalías que manifiesta una estructura que pueden ser indicadores futuros de fallo, afectando su seguridad y su durabilidad (PEÑUELA BEJARANO & SOSSA ESPITIA, 2015, pág. 17).

4.2 Metodologías para estudio de patología estructural

4.2.1 Metodología INVÍAS: inspección visual puentes y pontones. Metodología descrita en el "manual para la inspección visual de puentes y pontones", en el cual se presentan algunas recomendaciones para que un ingeniero civil calificado pueda llevar a cabo la inspección visual y

detección daños de un puente o pontón para la ejecución de la patología (INSTITUTO NACIONAL DE VÍAS, 2006)

4.2.1.1 Procedimiento general de la inspección. A continuación se presenta Figura 1 que describe en forma general el procedimiento de inspección de la metodología INVÍAS (INSTITUTO NACIONAL DE VÍAS, 2006, pág. 1):



Figura 1. Descripción general del procedimiento de inspección – Metodología INVÍAS.

4.2.2 Método directo de patología estructural. Método que abarca la inspección visual y una serie de ensayos no destructivos y semi-destructivos que contribuyen al diagnóstico de una estructura; a continuación se mencionan en *Figura 2* los ensayos más utilizados (DÍAZ MASMELA, 2017, pág. 6):

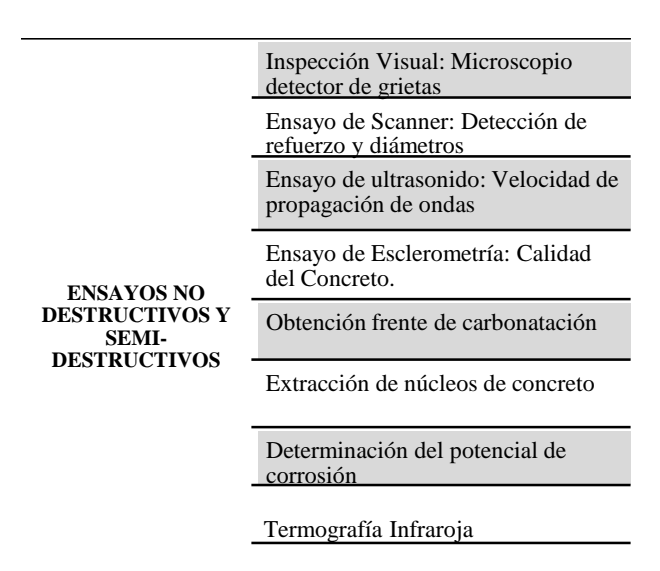


Figura 2. Ensayos no destructivos y semi-destructivos más comunes para patología estructural (*DÍAZ MÁSMELA*, 2017).

4.3 Ensayos no destructivos y semidestructivos para el diagnóstico estructural

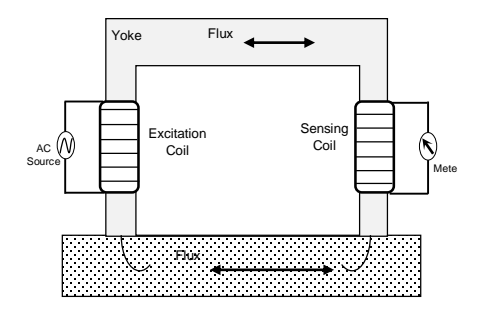
- 4.3.1 Inspección visual: microscopio detector de grietas. Método de inspección Visual, normalmente corresponde a uno de los primeros pasos para la evaluación, es este caso, de una estructura de concreto. Con el fin de realizar una identificación adecuada de las patologías existentes se deberá crear un plan de trabajo como el presentado en *Figura 3* (ACI COMMITTEE 228, 2013, pág. 4):
- Recorrido para familiarizarse con la estructura
- Reunir documentos de antecedentes, diseños, construcción y funcionamiento de la estructura.
- Planificación completa de la investigación.
- Establecer registro de control de las observaciones.
- Realizar Inspección visual.
- Uso de equipos complementarios.



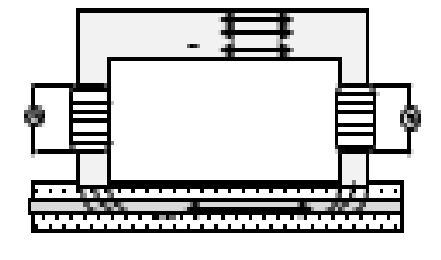
Figura 3. Fotografía END: Microscopio detector de Grietas Adaptada de: (DÍAZ MASMELA, 2017)

4.3.2 Ensayo de Escáner. Tecnología de escaneo con radar utilizado en estructuras de concreto o de suelo (*Ver*

Figura **4**). El dispositivo se pasa sobre la superficie de análisis emitiendo ondas que rebotan de manera diferente en cada material (*Ver Figura* **5**) permitiendo localizar la profundidad, distancia y ubicación del elemento estructural (CONSTRUDATA, 2017).



a) Small current induced in sensing coilwhen no bar in present



b) Presence of bar increase flux and increase current un sensing coil

Figura 4. Basado en el principio de reluctancia magnética (Adaptada de ACI 228-2R Fig. 2.5.1)

Estructuras de Estructuras de Concreto Suelo •Espesor del •Capas y espesores elemento •Tuberías de •Presencia de acero Servicio o vacíos o refuerzo de grandes estribos. •Filtraciones de • Tuberías y vacíos agua •Cambio abrupto de consistencia de materiales

Figura 5. Posibilidades de detección con el uso de escáner. (CONSTRUDATA, 2017)

4.3.3 Ensayo de ultrasonido. Ensayo basado en que la velocidad de trasmisión del sonido en la masa de un material, se encuentra relacionada con su densidad y resistencia a la compresión. Este estudio consiste en colocar en el lado de un elemento una fuente emisora de alta frecuencia y en el extremo opuesto un receptor, midiendo el tiempo que tarda el sonido en atravesarlo teniendo a la distancia que separa ambos puntos (*Ver Figura 6*); en el caso del concreto reforzado se realizan mediciones en puntos libres de acero de refuerzo (ZANNI, 2008, pág. 44).

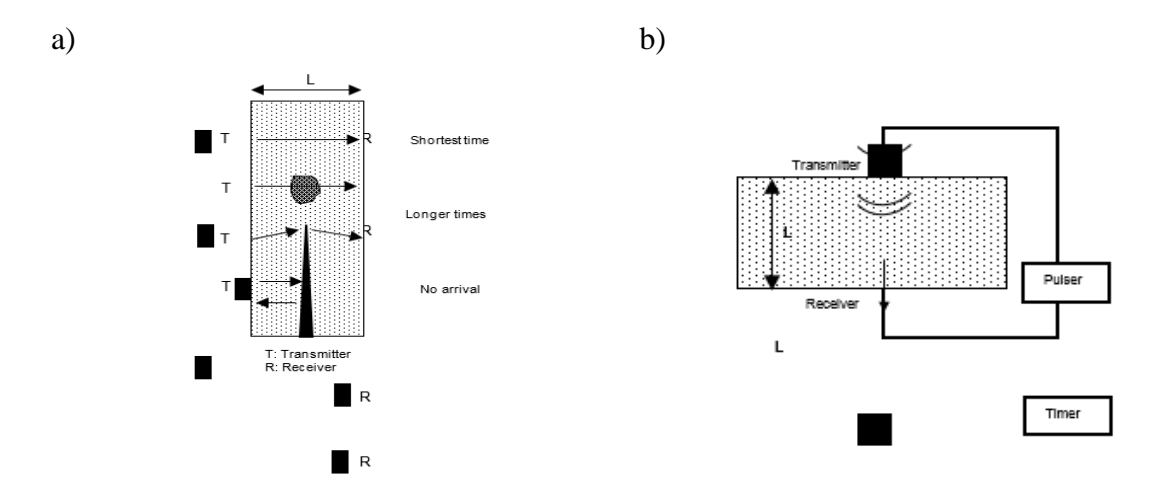


Figura 6. a) Efectos y defectos del pulso ultrasónico b) Sistema de trasmisión a través de pruebas.Adaptada de ACI 228-2R Fig. 2.2.1 (ACI COMMITTEE 228, 2013)

4.3.4 Ensayo de esclerometría. Este ensayo se encuentra enfocado a determinar el número de rebote del concreto a través de un martillo de acero (*Ver Figura 7*) impulsado por émbolo que entra en contacto con una superficie por medio de un golpe con determinada cantidad de energía. El número de rebote es usado para determinar la uniformidad de concreto delineando áreas pobres de calidad, correlacionando esta información con el ensayo de núcleos para la determinación de la resistencia del concreto (ICONTEC, 1995).



Figura 7. Esclerómetro digital. Adaptada de (DÍAZ MASMELA, 2017)

4.3.5 Frente de carbonatación. La carbonatación, es un proceso químico durante el cual el CO₂ de la atmósfera penetra los poros capilares del concreto, que en presencia de agua reacciona formando carbonatos. La principal consecuencia de la carbonatación es la caída del potencial de hidrógeno (pH) alcalino del concreto, de un valor promedio cercano a 12.5 hasta valores de 8.3, lo cual produce la despasivación del acero causando la corrosión. La determinación del frente de carbonatación se realiza a través de la fenolftaleína, químico que cambia de color en función del pH (*Ver Figura 8*). (CHÁVEZ ULLOA, PÉREZ LÓPEZ, & Et. All, 2017, pág. 4).

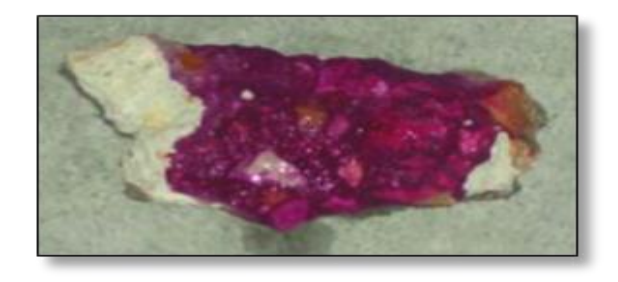


Figura 8. Trozo de concreto extraído y rociado con fenolftaleína. Adaptada de (DÍAZ MASMELA, 2017)

4.3.6 Extracción de núcleos. Ensayo semi-destructivo, consiste en la toma de muestras de cilindro de concreto endurecido de la estructura de análisis a través de un taladro. Los especímenes obtenidos se usarán para la determinación de la resistencia a la compresión del concreto, motivo por el cual estas muestras no pueden contener acero reforzado. Un núcleo extraído deberá tener un diámetro mínimo de 100mm y su longitud será determinada de acuerdo a las disposiciones dadas en la norma ASTM C174 (*Ver Figura 9*) (ICONTEC, 1994).

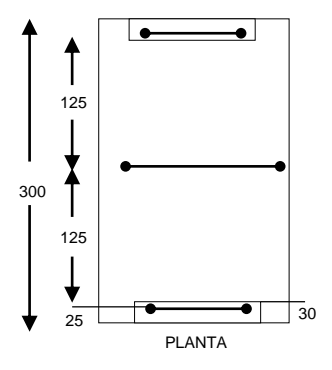


Figura 9. Equipo para refrentar especímenes de ensayo Adaptada de la NTC 3658 (ICONTEC, 1994)

4.3.7 Determinación de potencial de corrosión. Método de ensayo que estima el potencial eléctrico de media celda del acero de refuerzo dentro del concreto, con el propósito de determinar la actividad corrosiva en el acero de refuerzo (*Ver Figura 10*) (ASTM INTERNATIONAL, 2013).

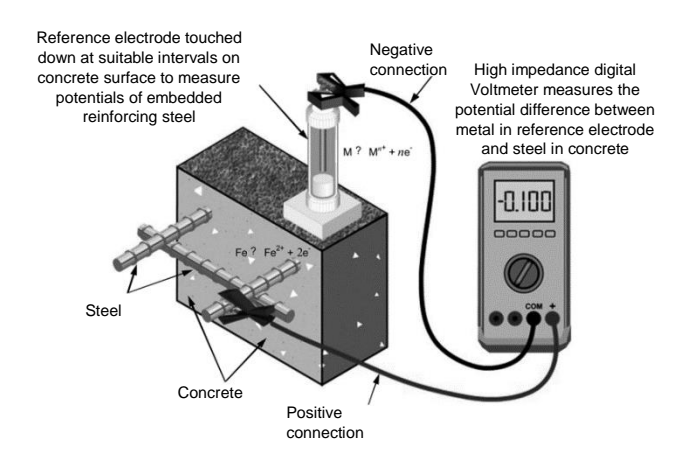


Figura 10. Electrodo de referencia de circuitos. Adaptada de ASTM C876 (ASTM INTERNATIONAL, 2013)

4.3.8 Termografía infraroja ACI 228-2R. La termografía infrarroja detecta la emisión de radiación térmica produciendo una imagen visual de esta señal térmica (*Ver Figura 11*). Esta metodología es utilizada para la detección de anomalías en superficies de concreto y pavimentos, detectando grietas y vacíos dentro del mismo (ACI COMMITTEE 228, 2013).

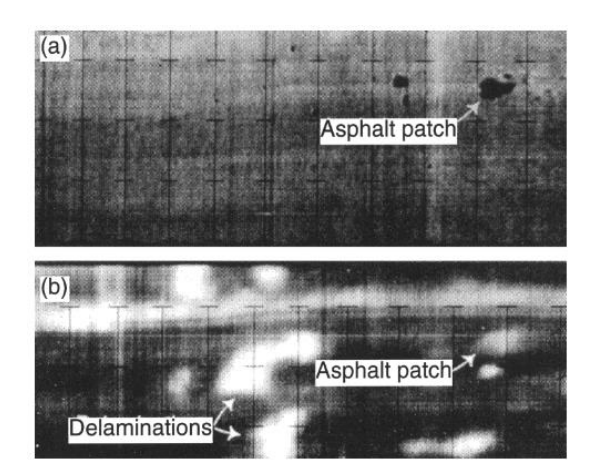


Figura 11. Ejemplo de Termografía infrarroja. Adaptada de ACI 228-2R Fig. 2.7.3 (ACI COMMITTEE 228, 2013)

4.4 Rehabilitación Estructural

La rehabilitación estructural de un puente tiene como finalidad incrementar el tiempo de vida útil de la estructura para un nivel de daños admisibles con respecto a unas cargas definidas (CANDEBAT SÁNCHEZ, 2017, pág. 38). La adopción de una estrategia de rehabilitación obedece a varios aspectos como sociales, políticos, históricos, medio ambientales, pero se hace especial énfasis en el costo – beneficio de dicha intervención. (CANDEBAT SÁNCHEZ, 2017, pág. 39)

4.4.1 Técnicas de intervención de una estructura

4.4.1.1 Reparación. Recuperación de la capacidad resistente y rigidez originales del elemento o estructura sin necesidad de demolición o reposición de sectores (OLVAN, 2014). Normalmente, las lesiones que aconsejan la reparación son (LÓPEZ RODRÍGUEZ, RODRÍGUEZ RODRÍGUEZ, & Et all., 2004, pág. 87):

- 1. Oxidación de armaduras.
- 2. Degradación del concreto (Carbonatación).
- 3. Fisuración superficial.

4.4.1.2 Reconstrucción Parcial. Recuperación de la capacidad resistente y rigidez originales del elemento o estructura mediante la remoción de sectores severamente dañados. Normalmente se realiza a través de apuntalamientos temporales garantizando las condiciones mínimas de funcionamiento. (OLVAN, 2014, pág. 87)

4.4.1.3 Refuerzo. Incremento de la capacidad resistente de un elemento mediante procedimientos como encamisados de concreto o acero o reforzamiento con fibras de carbono (*Ver Figura 12*). (DÍAZ MASMELA, 2017)



Figura 12. Reforzamiento a través de encamisados. (DÍAZ MASMELA, 2017)

4.4.1.4 Reestructuración. Modificación de la configuración estructural original con el fin de corregir un defecto congénito, normalmente su ejecución implica obras de extensión de una complejidad tal que la estructura saldría deservicio. (OLVAN, 2014)

4.4.1.5 Rehabilitación. Conjunto de acciones o intervenciones necesarias para recuperar de manera parcial o total una estructura, también puede incrementar su capacidad original. A través de ella se deben obtener comportamientos satisfactorios frente a la normativa vigente (TREVIÑO TREVIÑO, 1998). Algunas acciones a llevar a cabo son (OLVAN, 2014, pág. 88):

- 1. Reparaciones o reconstrucciones en elementos de la súper-estructura.
- 2. Reforzamiento de los elementos de la estructura.
- 3. Cambio de uso de la estructura disminuyendo las cargas a las que es sometida

4.5 Documentación de profundización

En caso de querer profundizar en los temas mencionados brevemente en este marco teórico a continuación se recomienda bibliografía tanto nacional como internacional para este fin.

Tabla 1.

Bibliografía de profundización recomendada

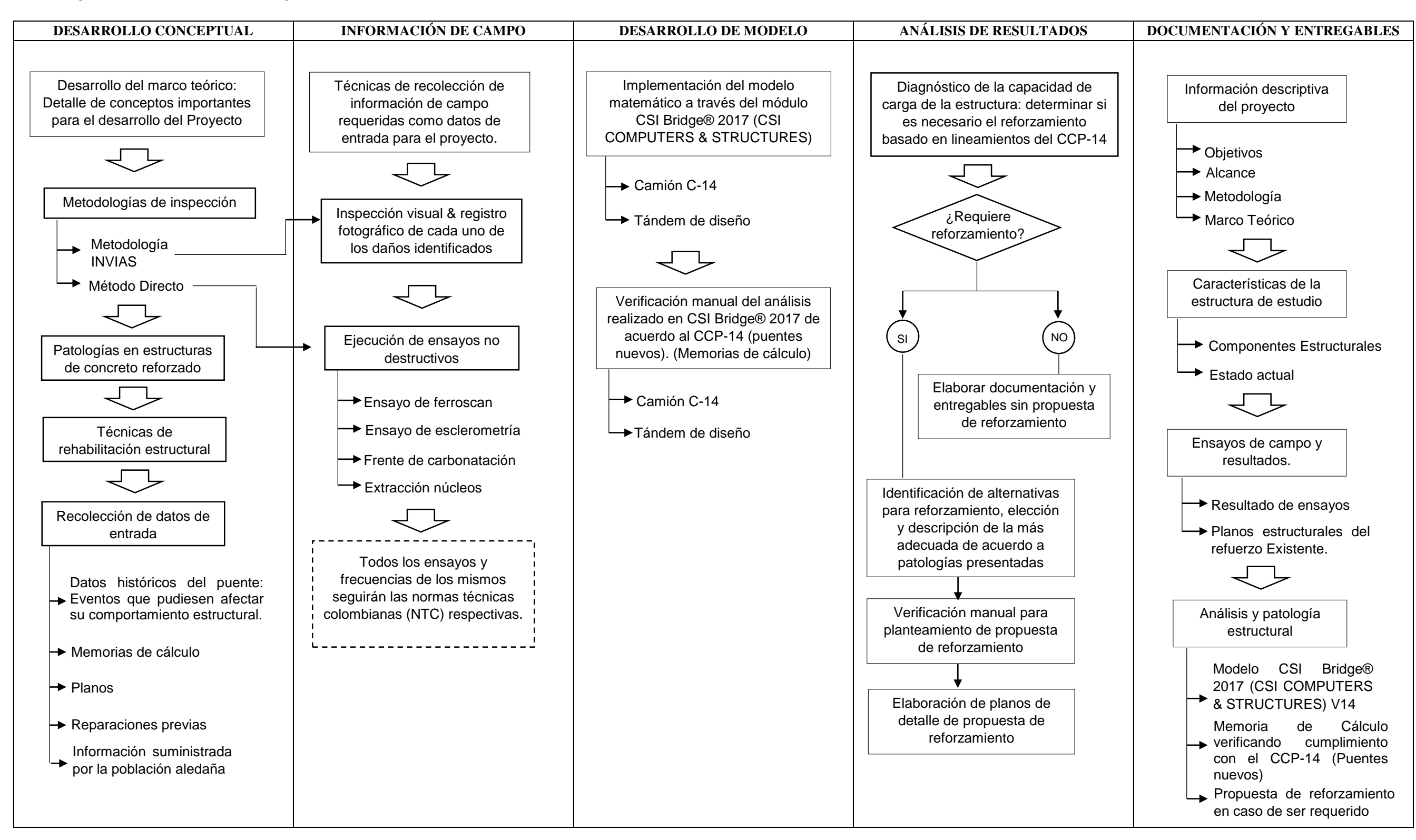
TEMA	TÍTULO	AUTOR
Patología estructural	Patología de la construcción y restauro de obras de arquitectura.	Enrique Zanni
Patología estructural	Manual de Patología y Rehabilitación de Edificios.	Francisco Fiol Olivan
Patología estructural	Patología de las estructuras de Concreto Reforzado	Ernesto Treviño Treviño
Norma nacional	Manual para la inspección visual de puentes y pontones	INVIAS
Norma nacional	Norma colombiana de diseño de puentes CCP14	INVIAS
Norma internacional	The manual for bridge evaluation	AASHTO
Norma internacional	Manual for Bridge Element Inspection.	AASHTO
Ensayos END	NTC 3658: Ingeniería Civil y Arquitectura, método para la obtención y ensayo de núcleos extraídos y vigas de concreto aserradas	ICONTEC
Ensayos END	NTC 3692: Ingeniería civil y arquitectura, Método de ensayo para medir el número de rebote del concreto endurecido	ICONTEC

5. Metodología

A continuación se presenta *Tabla 2*, en la cual se describe la metodología de desarrollo del presente estudio:

Tabla 2.

Metodología de desarrollo de la investigación.



6. Descripción de la estructura de estudio

6.1 Antecedentes Técnicos

De acuerdo con la investigación realizada en la oficina de planeación y luego de verificar los archivos municipales no se pudo encontrar evidencia alguna sobre el diseño y cálculos iniciales del puente. No se conoce la fecha o época de construcción del mismo, por lo que se acudió a la consulta por vía oral con los residentes de la zona quienes concuerdan que el puente fue construido hace aproximadamente 70 años.

Para el presente estudio se logró ubicar un proyecto realizado en el 2008 relacionado con la presente estructura: "Estudio de ampliación y mantenimiento del puente ubicado en la calle 9 entre las carreras 2A y 2B" (SECRETARIA DE OBRAS PÚBLICAS, 2008) en el cual se encontró la ingeniería existente, estudio de factibilidad de ampliación de la estructura y la emisión del concepto. (Ver Apéndice y Apéndice).

6.2 Localización de la estructura de estudio

El puente en concreto reforzado se encuentra situado en departamento de Cundinamarca en el municipio La Calera en la calle 9 entre las carreras 2A y 2B sobre el río Teusacá, por el cual transitan peatones y vehículos particulares y de servicio público, sin ninguna restricción de tonelaje. (*Ver Figura 13*)

Coordenadas: 4.721091, -73.966854. (GOOGLE MAPS, 2018)

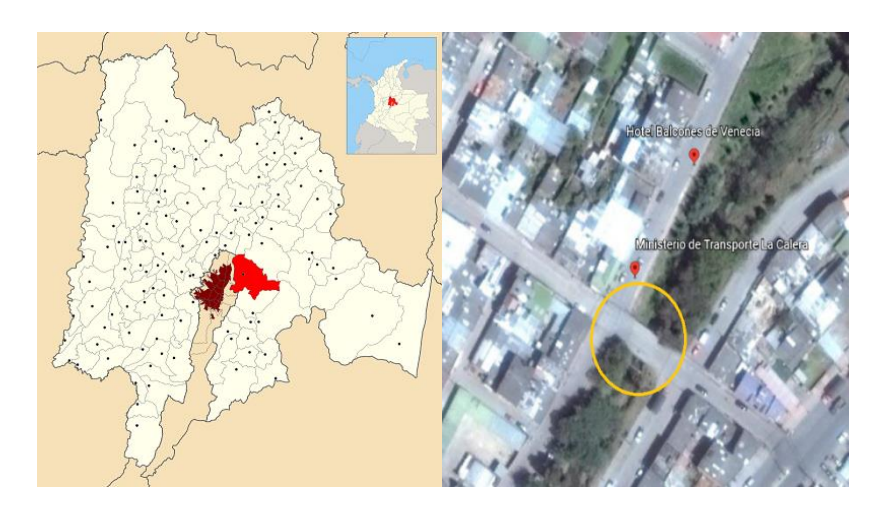


Figura 13. Localización de la estructura de estudio. (ALCALDÍA DE LA CALERA, 2017) (GOOGLE EARTH, 2018)

6.3 Información del tránsito

En la actualidad, el puente soporta vehículos de carga en su mayoría de dos ejes (Volquetas) por ser la calle 9 una de las cuatro entradas a la zona central del perímetro urbano, aspecto que genera el aumento de tráfico vehicular día a día. De acuerdo al estudio realizado en el 2008 (SECRETARIA DE OBRAS PÚBLICAS, 2008) el tráfico existente era de 120 vehículos por día, para efectos del presente estudio, se toma un promedio de crecimiento anual del 9% (BBVA, 2018) teniendo entonces un tráfico de 284 vehículos por día.

6.4 Descripción estructural y tipología del puente

Puente en concreto reforzado de losa sobre vigas con las siguientes características:

• Longitud del Tablero: **10.5** m

• Ancho del tablero: 10 m

• Espesor de la Losa: **0.20 m**

• Alto de la Viga: **0.5** m

• Ancho de la viga: **0.4 m**

• No presenta riostras

• Ancho de andén: 1.35 m

• Alto del andén: **0.3 m**

A continuación, se presenta esquemas de la sección transversal (*Ver Figura 14*) y longitudinal (*Ver Figura 15*) existente del puente. La ingeniería existente del puente se presenta en el **Apéndice**

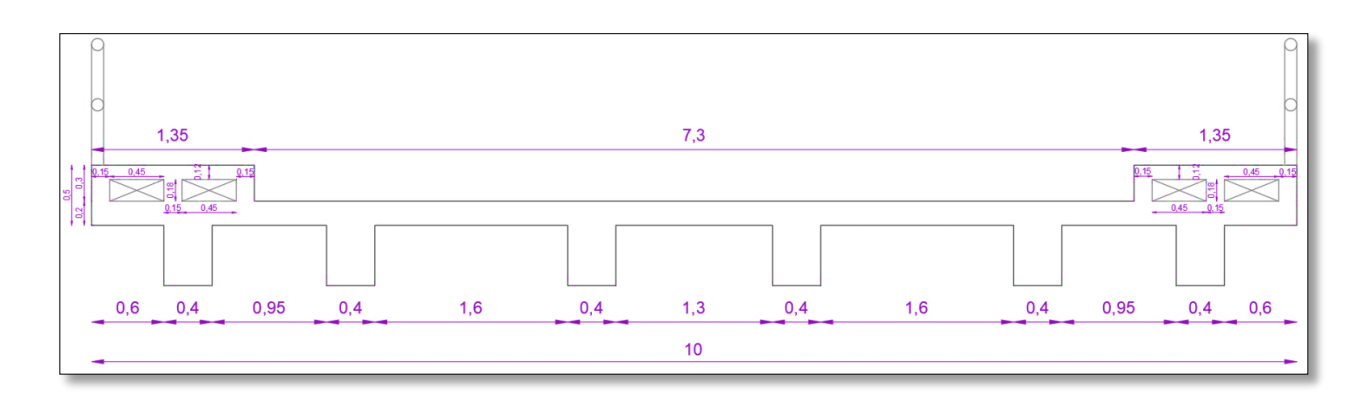


Figura 14. Sección transversal del puente.

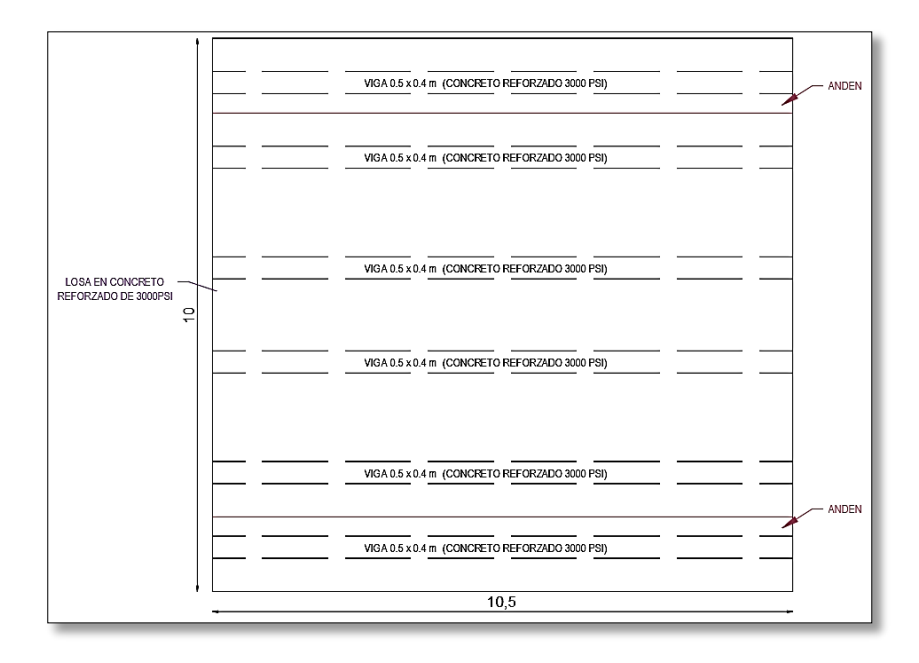


Figura 15. Sección longitudinal del puente

7. Aplicación de la metodología de inspección de INVIAS

A continuación, se realiza la implementación del *Manual para la inspección de puentes y pontones* del INVIAS.

7.1 Procedimiento de la inspección

De acuerdo a la metodología planteada por el INVIAS, se siguieron los siguientes pasos para la inspección:

- 1. Elaborar esquema en planta de localización de la estructura teniendo en cuenta:
 - Sentido del abscisado.
 - Nombre del río u obstáculo.
 - Sentido de la corriente
 - Tipo de puente
 - Características generales (Ver *Apéndice D*).
- 2. Toma de mínimo dos (2) fotografías con fecha y hora de la superficie y perfil de la estructura.
- 3. Inspección de cada elemento registrando las patologías encontradas en el formato de inspección presentado en el *Apéndice B*.
- 4. Esquema de los elementos inspeccionados, ubicando los daños, a través del formato presentado en el *Apéndice C*
- 5. Levantamiento y cuantificación de los daños encontrados. (Las convenciones de daños son las que se especifican en el ¡Error! No se encuentra el origen de la referencia.)
- 6. Registro fotográfico con fecha y hora de los daños detectados, referenciando el tamaño.
- 7. Registro de observaciones relevantes para el reporte.

7.2 Elementos y equipos

Cámara fotográfica
 Formatos
 Esclerómetro (Figura 16)

Lupa
 Crayolas
 Fenolftaleína

• Flexómetro • Martillo • Ferroscan (Figura 16)

Fisurómetro de Bolsillo
 Cincel
 Sacanúcleos (Figura 16)

Linterna
 Andamios
 Llana

Grabadora notas de voz
 EPP's
 Cemento y arena



Figura 16. Fotografía de equipos utilizados para la inspección

7.3 Esquema en planta del puente

Punto de referencia del puente (PR): Calle 9 entre carreras 2A y 2B.

Tipo de puente según estructuración transversal: 01 Losa sobre vigas. (INSTITUTO NACIONAL DE VÍAS, 2006)

Tipo de puente según estructuración longitudinal: 01 Vigas simplemente apoyadas. (INSTITUTO NACIONAL DE VÍAS , 2006)

Superficie del puente: 01 Asfalto

Obstáculo que Salva: Río Teusacá (Ver Figura 17Figura 17).

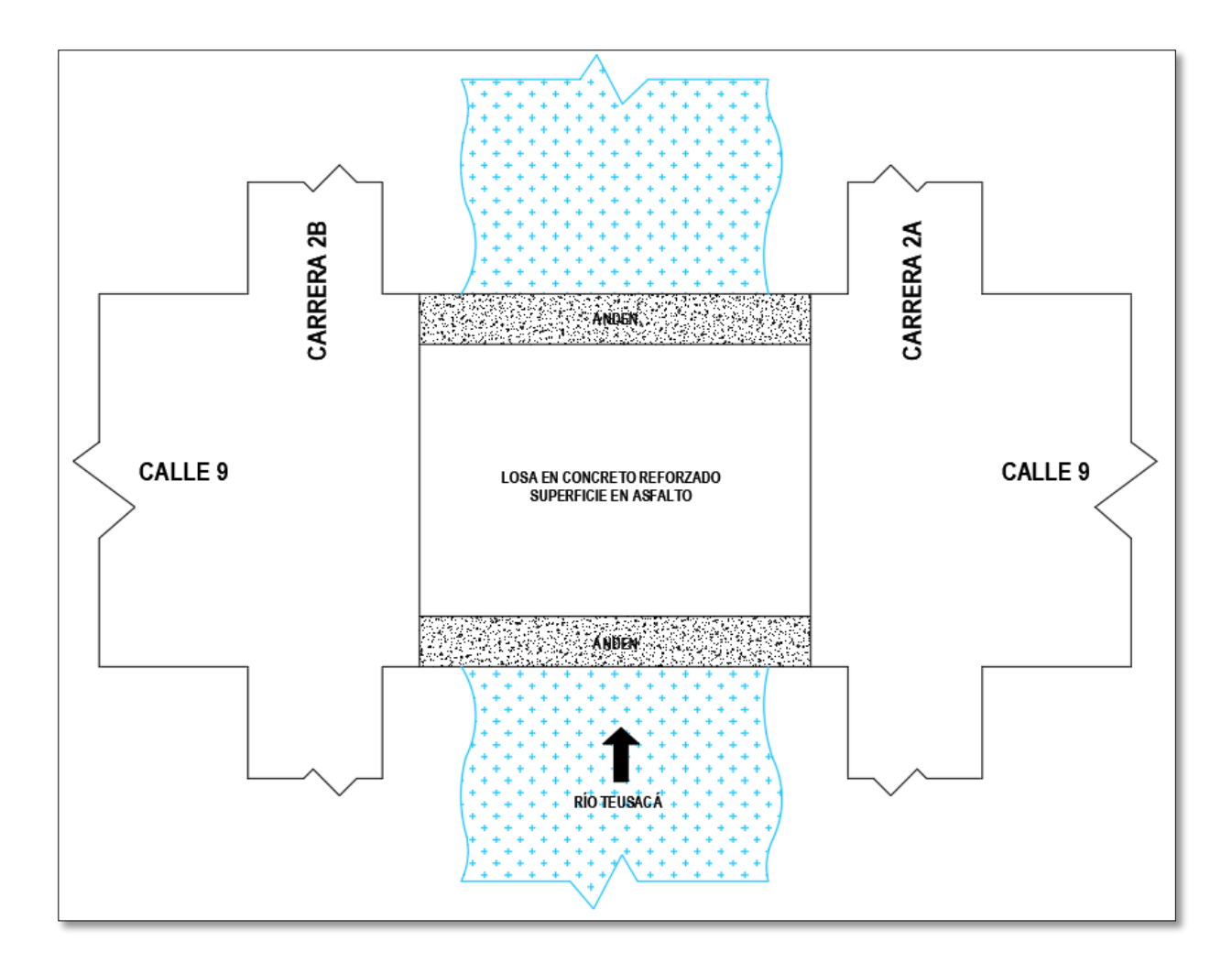


Figura 17. Esquema general del puente

7.4 Fotografías de la estructura de estudio

En las Figura 18 y Figura 19 se presentan las fotografías de planta y perfil de la estructura de estudio.



Figura 18. Panorámica general del puente – superficie del puente

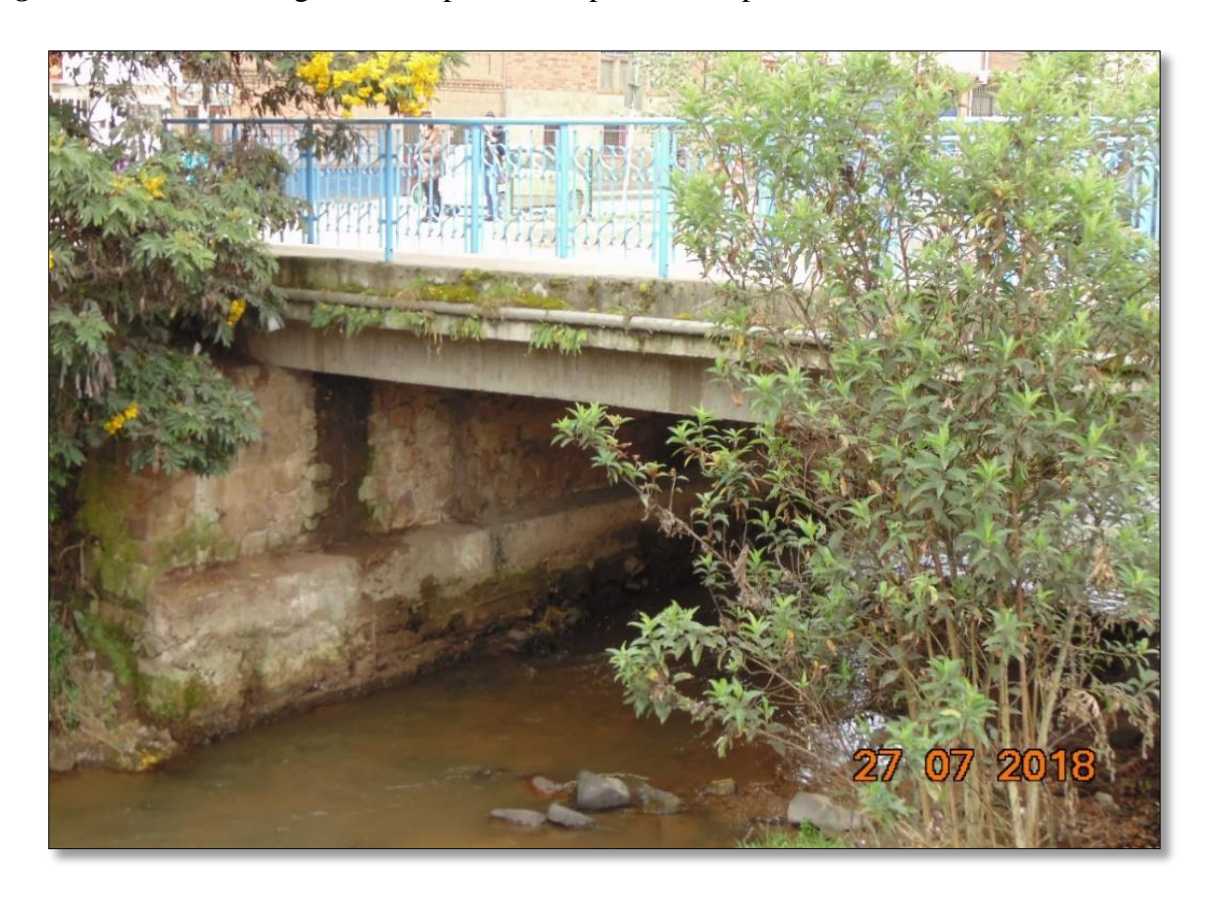
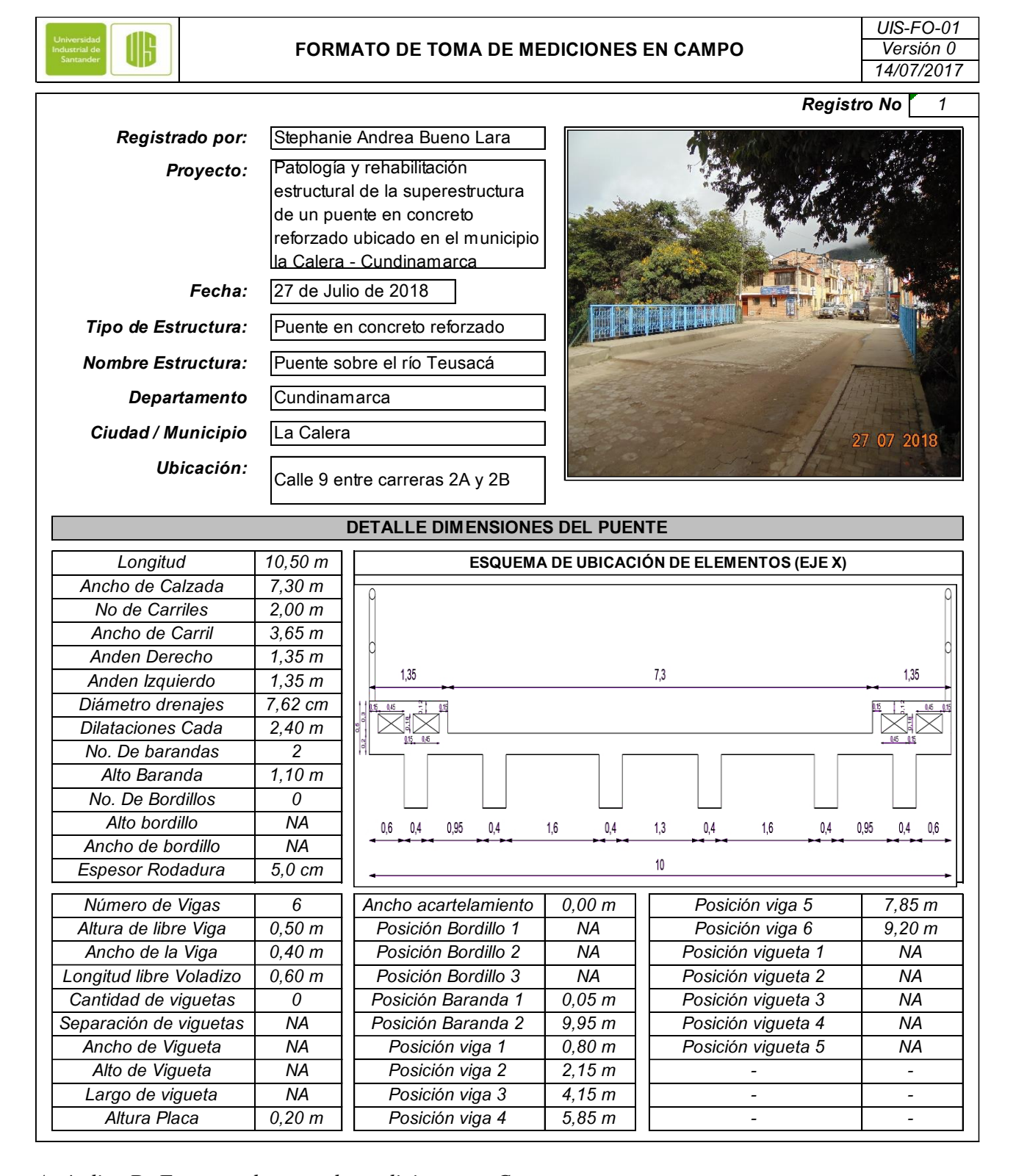


Figura 19. Fotografía del perfil del puente

7.5 Registro de toma de medidas de los elementos del puente (Apéndice D)



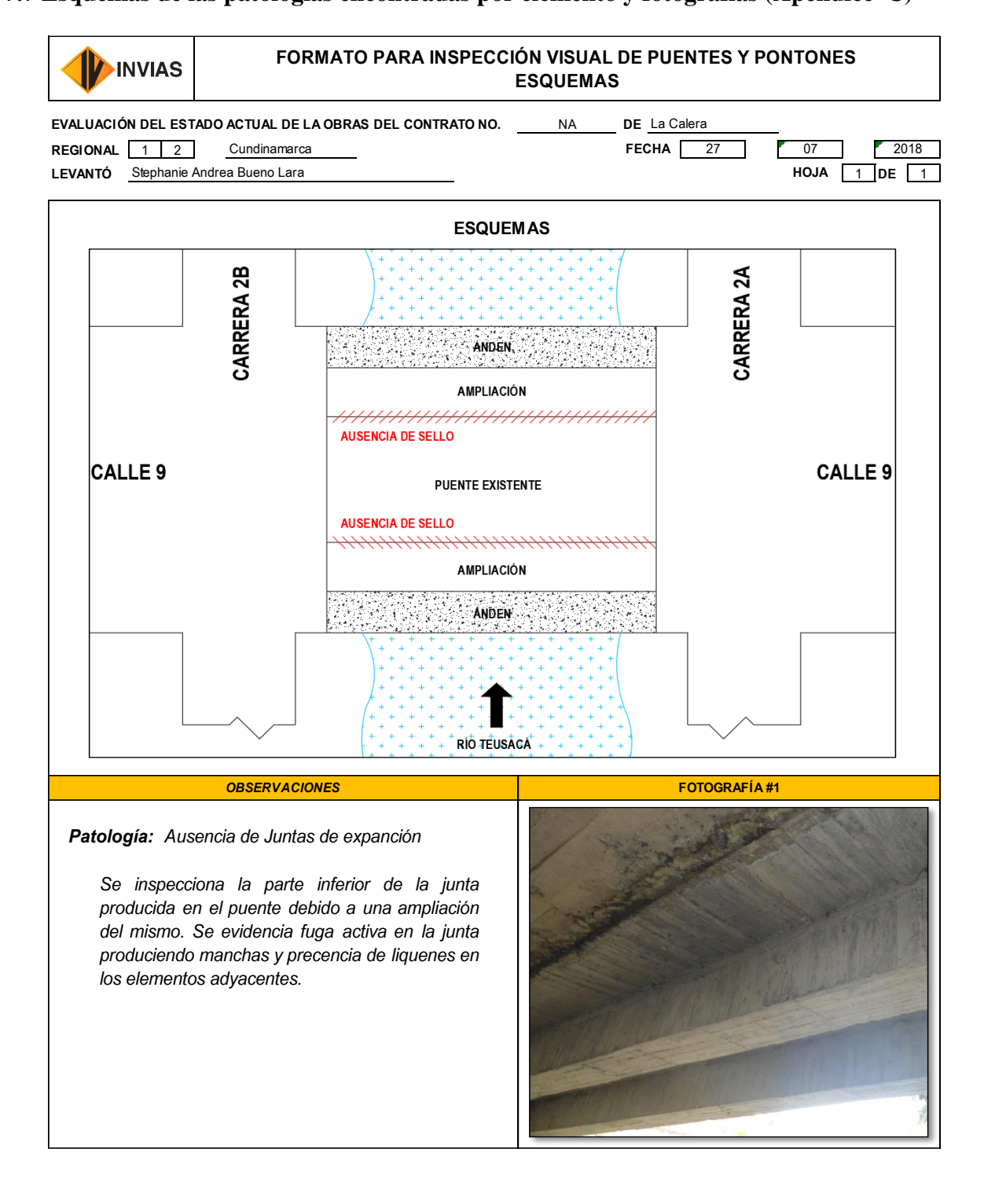
Apéndice D. Formato de toma de mediciones en Campo

7.6 Registro de patologías encontradas (Apéndice B)

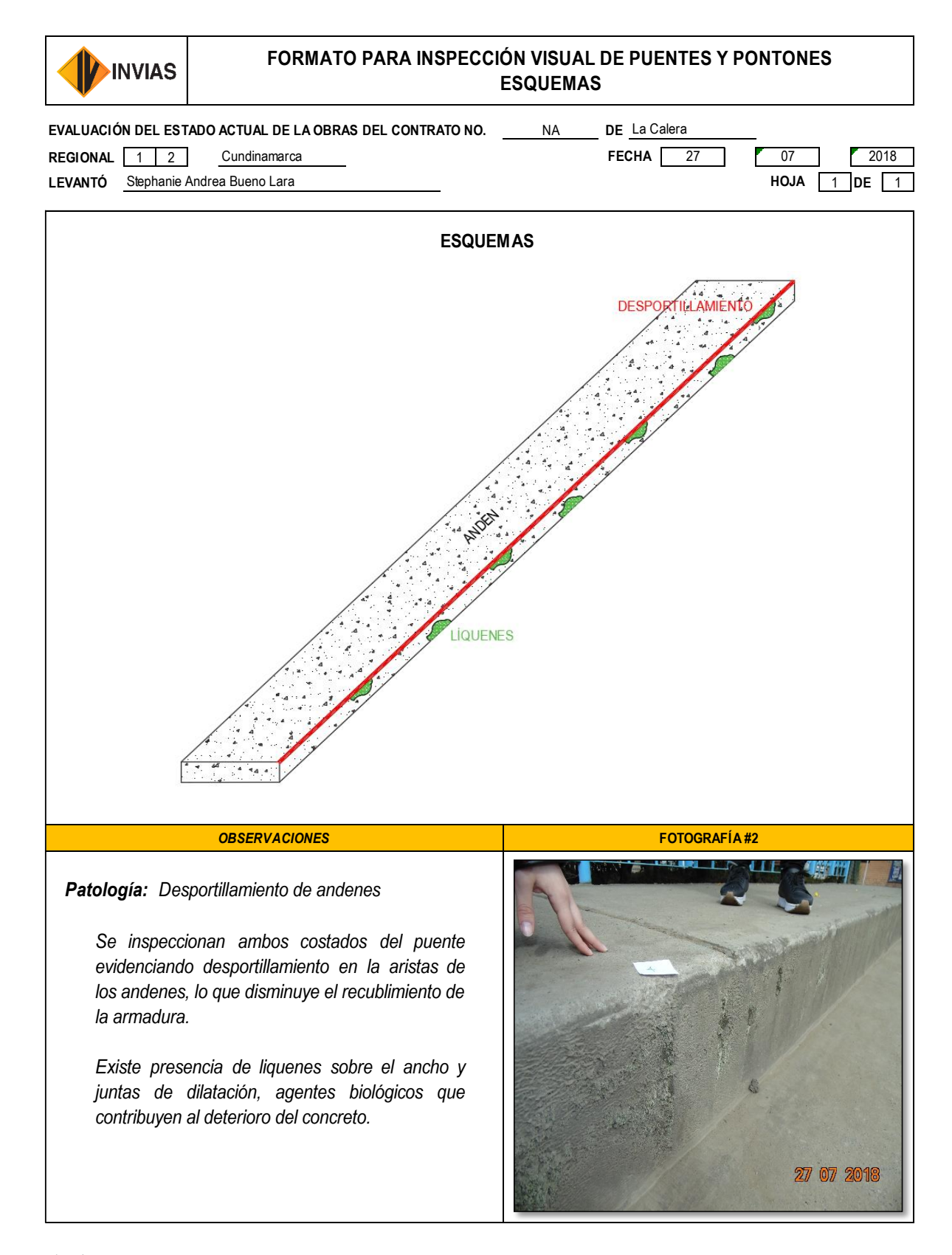
L	INVIAS		F	ORN	/IAT	0 P	ARA	INSF	PECC	ΙÓ	N V	/ISL	JAL	DE	PUE	ENT	ES Y	PONTONES	
E	EVALUACIÓN DEL ESTADO ACTUAL DE LA OBRAS DEL CONTRATO NO. NA DE La Calera																		
R	REGIONAL 1 2 Cundinamarca FECHA 27 07 2018						8												
LI	EVANTÓ Stephanie Andre					-												HOJA 1 DE	1
	OMBRE DE LA VÍA Puen	ite call	le 9 er	ntre ca	arrera	2A v	2B			c	CÓDI	GO F)FIA	νĺΑ	NA			VÍA EN CONCESIÓN	_
	OMBREDE EA VIA		.0 0 0.	10 00		_,,,								TO IN) A I	_	GRUPO ADM VIAL	
Г	PR. DEL PUENTE	Callo	9 ent	ro car	rora '	24 1/ 2	R			⊣"	VIAIN I	IENII	IVII EIN	IOIN	IEGN	\AL		OKOFO ADMI VIAL	
	NOMBRE DEL PUENTE	NA	e e e e e	ie cai	i Cia 2	-A y 2	D								[DIME	NSION	NES GENERALES	
۲			Teusa					IENTO					LON	GITUE	TOT	ΓAL		5 m No. DE LUCES 1	
L	TIPO DE PUENTE (1)	LON	GITUI	DINAL	01	TRA	NSVE	RSAL	01				ANC	НО			10) m GALIBO 3,5 r	m
_	ELEMENTO						F	REGIST	RO DE	DA	ÑOS	1						OBSERVACIONES	
	SUPERFICIE DEL				02, c	liligen	ciar lo	s formato	s estat	oleci	idos p	oara I	levant	amien	tos de	:		-	
S	PUENTE Y ACCESOS. JUNTAS DE EXPANSIÓN	pavır	nentos	ello		1	Por	files	<u> </u>	Gu	ıarda	canto	ne .		Oth	ros			
<u>N</u>	Tipo (3)	1	AUS	_	01	-	-	-	. .		-	-	-	-	-	-	-	-	
AME	ANDENES / BORDILLOS		esporti			A	cero e	xpuesto	Dir	nen	sión i	insufic	ciente		Ot	ros		_	
	Dimensiones	AC		5 m	02	-		-	- -		-	-	-	-	-	-	-	-	
ΥE	BARANDAS Material (4)		Pin	tura -	1		Pos -	stes	-	P	asan	nanos	<u> </u>		Ot	ros	1	Las barandas recibieron	
CIE	Material (4) ILUMINACIÓN	- Verifi			ncia d	le elei		s de ilun	- - inación	ı v e	- el fiund	ciona	- mient	de lo		mos		mantenimiento reciente Se evidencian dos postes antes d	lel
ERF	_	V 01111	Horiz		niola (10 0101		tical		_		ctores		1		ros		No se evidencia señalización	0.
SUP	SEÑALIZACIÓN	-	-	-	-	-	-	-	- -		-	-	-	-	-	-	-	horizontal, ni reductores	
	DRENAJES		apona				Ause	encia	_	Log	. Insi	uficier	nte		Ot	ros		_	
	ALETAS	AC	Dis	4 eño	03	- (- Conetr	ucción	+-	Fur	- ncion	- amier	- to	- 1	- Ot	ros	-	Para este proyecto se analiza solo	o la
UR/	Material (5)	-	-	-	-	-	-	-	- -	Tui	-	-	-	- 1	-	-	-	super estructura	Jia
	ESTRIBOS		Dis	eño		(Constr	ucción		Fur	ncion	amier	nto		Ot	ros		Para este proyecto se analiza solo	o la
ST	Material (5)	-	-	-	-	-	-	-	- -		-	-	-	-	-	-	-	super estructura	
SUBE	PILAS		Dis	eño -	Γ.	(Constr I	ucción	-	Fur	ncion	amier	nto		Ot	ros		Para este proyecto se analiza solo	ວ la
-	Tipo (6) Sección (7)	-	Dis			- (Constr	ucción	╁	Fur	- ncion:	- amier	nto	- 1	- Oti	ros		super estructura	
		ı	FIF	0,3	04	1	НО)5 I	_	EF	0,1	07	-	-	-	-		
0	LOSA Tipo (8)	-	-	-	-	- 1	JF	10,5)6 I		IN	0,42	08	-	-	-	-	Tener en cuenta las unidades de medición del anexo 1	
NCRE	1100 (0)	-	-	-	-	-	-		- 1	_		28,7	09	-	-	-	-		
SON	VIGAS	-	- Die	- eño	-	- /	- Constr		- '	_		28,7 amier	09	-	- Ot	ros	-		_
RA.	Tipo (9) Sección (10)		DIS	eno		,	HO	ucción 0,1	10 -	rui	-	arriier	-	-	-	-	-	_	
JCT						1	EXA		11 -		-	-	-	-	-	-	-		
STR	RIOSTRAS		Dis	eño		(Constr	ucción		Fur	ncion	amier	nto			ros		No se evidencia presencia de	
ERE	APOYOS	- D	- esplaz	- -		- D	-	-	- -	D	- oform	- naciór	-	-	-	ros	-	riostras	\dashv
SUP	Tipo (11)		espiaz -	Zamiei	-	D.	-	posiciór -	-	-	elorri	lacioi	-	Αl		_	2,4	-	
	ARCOS (CONCRETO /		Dis	eño		(Constr	ucción		Fur	ncion	amier	nto	7.0		ros		No online	
	MAMPOSTERIA) Material	-	-	-	-	-	-	-	- -		-	-	-	-	-	-	-	No aplica	
CA	ARCOS METÁLICOS	A	rco iz	quiero	do	F	Arco d	erecho	Arı	iost	ramie	ento la	ateral		Ot	ros	1	No aplica	
IAL	PERFILES METÁLICOS	-	- Vic	as	-	-	L argi	- ueros	+-	D	iafra	- gmas		- 1	- Of	ros	-		\dashv
A ME	Tipo (12)	-	-	-	-	-	-	-	- -	Ť	-	-	-	- 1	-	-	-	No aplica	
IR.	ARMADURAS		Cord	lones			Mont	antes		D	iago	nales			Ot	ros		No aplica	
88	Tipo (13)	-	-	-		-	<u> </u>	-	- -	0	-	-	<u> </u>	-	-	<u> </u>	-		\dashv
SUPERESTRUCTUR	CONEXIONES	-	on so	idadu -	га -	-	on cor	nectores	. .	Cor	n pas	ador	es -	- 1	- 01	ros -	١.	No aplica	
E	CABLE / PENDOLONES /		Cal	bles			Pendo	olones	1		Tor	res			Ot	ros		No aplica	\neg
S	TORRES	-	-	-	-	-	-	-	- -		-	-	-	-	-	-	-	No aplica	
	ACCESO PEATONAL (ESCALERA/RAMPA) Tipo	Pe	eldaño T	s / Lo	sa	\	∕iga gı	ualdera	. .	T	Baraı	ndas -	Ι-	ļ ,	Ot	ros	1	Puente a nivel	
ROS	OTROS ELEMENTOS	-	Roda	- adura		Ė		 -	+		-			╌					\dashv
OTR	Tipo	-					-	-	- -		-	-			-	-		-	
	CAUCE										•		-						
1	PUENTE EN GENERAL	Se e	vidend	cia pe	rdida	de la d	carpet	a de rod	adura										

Apéndice B. Formato para inspección visual de puentes y pontones

7.7 Esquemas de las patologías encontradas por elemento y fotografías (Apéndice C)



Apéndice A. Esquema 1. Ausencia de juntas de expansión (AASHTO, 2011, págs. 4-35)



Apéndice 1. Esquema 2. Desportillamiento de andenes (AASHTO, 2011, págs. 4-36)

INVIAS	FORMATO PARA INSPEC	CIÓN VISUAL ESQUEMAS		PONTONES				
EVALUACIÓN DEL EST REGIONAL 1 2 LEVANTÓ Stephanie	TADO ACTUAL DE LA OBRAS DEL CONTRATO NO. Cundinamarca Andrea Bueno Lara	NA	DE La Calera FECHA 27	07 2018 HOJA 1 DE 1				
ESQUEMAS								
# # * * *	ANI	DEN.						
	AMPLI	ACIÓN		0				
	⊗ DRENAJES TAPADOS ⊗			\otimes				
	PUENTE EX	XISTENTE						
	0 0)		\otimes				
	AMPLIACIÓN O ÁNDEN							
	OBSERVACIONES		FOTOGRAFÍA	#3				
Se observar	n cuatro (4) de los diez (10) drenajes lo que favorece inundaciones en la nñas que contribuyen al deterioro de n.		6	27 07 2018				

Apéndice C. Esquema 3. Taponamiento de drenajes (AASHTO, 2011, págs. 4-36)

INVIAS		FORMATO PARA INSPECCIÓN VISUAL DE PUENTES Y PONTONES ESQUEMAS				
REGIONAL 1 2	TADO ACTUAL DE LA OBRAS DEL CONTRATO NO. Cundinamarca Andrea Bueno Lara	NA	DE La Calera FECHA 27 07 HOJA 1	2018 DE 1		
	ESQUE	MAS				
	AND	≣N.				
	AMPLIA	CIÓN				
	{	FISURA POR FLEXIÓN 0.3 m				
	PUENTE EXISTENTE					
	AMPLIA					
	OBSERVACIONES		FOTOGRAFÍA 4			
losa. Esta s voladizo ant	a fisura de longitud 30 cm sobre la ce encuentra ubicada en lo que era el tes de la ampliación. Alrededor de la aprecia presencia de oxido y					

FORMATO PARA INSPECCIÓN VISUAL DE PUENTES Y PONTONES ESQUEMAS									
REGIONAL 1 2	TADO ACTUAL DE LA OBRAS DEL CONTRATO NO. Cundinamarca Andrea Bueno Lara	NA	DE La Calera FECHA 27	07 2018 HOJA 1 DE 1					
	ESQUEMAS								
	AND			0					
	HORMIGUEROS)							
	PUENTE EXI	STENTE							
			hit hit hit hit hit hit hit hit hit hit						
	AMPLIA Andi			0					
	OBSERVACIONES		FOTOGRAFÍA	A 5					
Existe preso con preser drenajes y ju Se evidenci en los drei	encia de Hormigueros en las zonas nicia de humedad constante como unta fria por ampliación. da que los hormiqueros se encuentran niajes antiguos debido a que estos el, los drenajes nuevos bajan un poco el de la losa.								

Apéndice C.. Esquema 5. Hormigueros en la losa (AASHTO, 2011, págs. 4-32)

INVIAS	FORMATO PARA INSPECCI	ÓN VISUA ESQUEM <i>I</i>		PONTONES					
REGIONAL 1 2	TADO ACTUAL DE LA OBRAS DEL CONTRATO NO. Cundinamarca Andrea Bueno Lara	NA	DE La Calera FECHA 27	07 2018 HOJA 1 DE 1					
	ESQUEMAS								
ANDEN.									
AMPLIACIÓN									
Jl	JUNTA FRIA								
	PUENTE EXISTENTE								
	AMPLIACIÓN								
	ÅNDE	N							
	OBSERVACIONES		FOTOGRAFÍ	A 6					
La continuio ampliación junta que	nta fría inadecuada dad entre el concreto antiguo y el de la presenta un diseño inadecuado de permite el ingreso de agentes como: Sulfatos, cloruros, carbonato,	The state of the s							

Apéndice C. Esquema 6. Junta fría inadecuada en la losa (AASHTO, 2011, págs. 4-35)

INVIAS	FORMATO PARA INSPECCIÓN VISUAL DE PUENTES Y PONTONES ESQUEMAS							
REGIONAL 1 2	TADO ACTUAL DE LA OBRAS DEL CONTRATO NO. Cundinamarca Andrea Bueno Lara	NA DE La Calera FECHA 27 07 2018 HOJA 1 DE 1						
ESQUEMAS								
•	AND AMPLIA							
	EFLORESCENCIAS							
	PUENTE EXISTENTE							
6								
	AMPLIACIÓN							
	OBSERVACIONES	FOTOGRAFÍA 7						
Se identifica sitios con lugares se porosidad a	orescencias en la losa a la existencia de eflorecencias en los presencia de humedad. En varios logra observar el aumento de a causa de las eflorescencias que otras patologías como hormigueros.							

Apéndice C. Esquema 7. Eflorescencias en la losa (AASHTO, 2011, págs. 4-35)

INVIAS	FORMATO PARA INSPECC	CIÓN VISUAL DE PUENTES Y PONTONES ESQUEMAS							
REGIONAL 1 2	TADO ACTUAL DE LA OBRAS DEL CONTRATO NO. Cundinamarca Andrea Bueno Lara	. NA DE La Calera FECHA 27 07 2018 HOJA 1 DE 1							
	ESQUEMAS								
# 10 mm	ANDEN.								
	AMPLIACIÓN								
	INFILTRACIONES								
	PUENTE EXISTENTE								
		<i>/////////////////////////////////////</i>							
	AMPLIA ÁND	ACIÓN DEN							
	OBSERVACIONES	FOTOGRAFÍA 8							
Se observa entre el pue	infiltración constante en la junta fría infiltración constante en la junta fría nte antiguo y la ampliación. Evidencia rior es la proliferación de líquenes rma.								

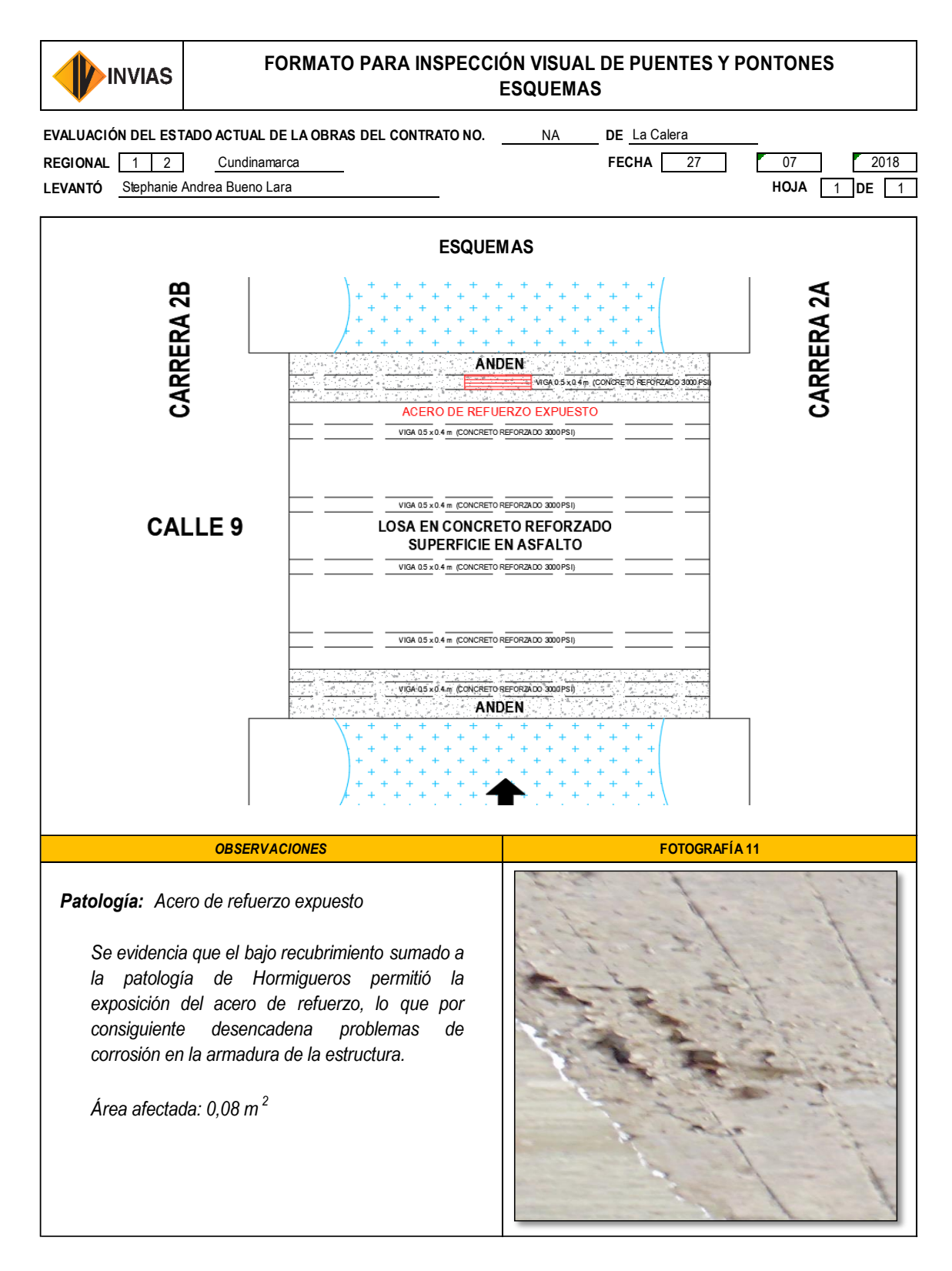
Apéndice C. Esquema 8. Infiltraciones en la losa (AASHTO, 2011, págs. 4-35)

INVIAS		ÓN VISUAL DE PUENTES Y PONTONES ESQUEMAS							
REGIONAL 1 2	TADO ACTUAL DE LA OBRAS DEL CONTRATO NO. Cundinamarca Andrea Bueno Lara	NA DE La Calera FECHA 27 07 2018 HOJA 1 DE 1							
	ESQUEMAS								
	ANDEN								
	AMPLIACIÓN CORROSIÓN DE LA ARMADURA								
	PUENTE EXISTENTE								
	AMPLIA	CIÓN							
	ÁND	EN							
	OBSERVACIONES	FOTOGRAFÍA 9							
La diferend antigua y l	rrosión de la armadura cia entre la coloración de la losa la ampliación permite evidenciar un corrosión de la armadura.								

Apéndice C. Esquema 9. Corrosión de la armadura en la losa (AASHTO, 2011, págs. 4-35)

INVIAS	FORMATO PARA INSPECCIÓ	ÓN VISUAL DE PUENTES Y P ESQUEMAS	ONTONES
REGIONAL 1 2	Andrea Bueno Lara	NA DE La Calera FECHA 27	07 2018 HOJA 1 DE 1
	ESQUEN	MAS	
	HORMIGLEROS WOAD 5 t 0.4 m (CONCRETO REFORADO		
CALLE 9	LOSA EN CONCRETO REPORZUO LOSA EN CONCRETO RE SUPERFICIE EN ASF VIGAD. 5. D.A. P. (CONCRETO REFORZUO)	FORZADO FALTO	CALLE 9
	VIGAD_S_2 A M (CONCRETO REFOR DOC VIGAD_S_2 A M (CONCRETO REFOR DOC ANDEN		
	OBSERVACIONES	FOTOGRAFÍA	10
Se observa expuesto. I recubrimient oxidación o	rmigueros en viga a hormigoneo en viga con acero Lo anterior se debe a un bajo to que sumado al proceso de del acero desencadenó en otras omo hormigueros. da: 0,1 m ²		

Apéndice C. Esquema 10. Hormigueros en viga (AASHTO, 2011, págs. 4-21)



Apéndice C.. Esquema 11. Exposición del acero de refuerzo en viga (INSTITUTO NACIONAL DE VÍAS, 2006, pág. 36)

INVIAS	FORMATO PARA INSPECCIÓN VISUAL DE PUENTES Y PONTONES ESQUEMAS								
REGIONAL 1 2	TADO ACTUAL DE LA OBRAS DEL CONTRATO NO. Cundinamarca Andrea Bueno Lara	NA DE La Calera FECHA 27	07 2018 HOJA 1 DE 1						
ESQUEMAS									
	ANDE	:N							
DÉ	AMPLIACIÓN DE DODADURA								
- 000000000000000000000000000000000000	PÉRDIDA DE RODADURA								
	PUENTE EXI	STENTE	000000000000000000000000000000000000000						
	AMPLIA	CIÓN	30000						
	ÁNDE	:N							
	OBSERVACIONES	FOTOGRAFÍA	12						
Se identifica sobre la s superficie o	rdida de carpeta de rodadura a perdida de carpeta de rodadura superficie antigua. Abrasión de la bservándose agregados sueltos. Las afectadas son alrededor de las juntas.		27 07 2018						

Apéndice C. Esquema 12. Pérdida de carpeta de rodadura (INSTITUTO NACIONAL DE VÍAS, 2006, pág. 7)

8. Ensayos no destructivos (END)

Los ensayos no destructivos se llevaron a cabo con el laboratorio CONCRELAB, las pruebas realizadas fueron:

- a) Ensayo de carbonatación (Ver Apéndice I)
- b) Ensayo de esclerometría (Ver Apéndice J)
- c) Prueba a compresión de núcleos de concreto (Ver Apéndice I)
- d) Ensayo de Ferroscan (Ver Apéndice K)

Para poder llevar a cabo los ensayos anteriores fue necesario realizar una solicitud de permiso ante la Secretaría de Planeación de la Calera, conjunto con un plan de manejo de tráfico (PMT) teniendo en cuenta las actividades a ejecutar, en el **Apéndice** se presenta la carta de solicitud radicada ante la alcaldía de la Calera con su respectivo PMT.

8.1 Resultados del ensayo de carbonatación

El ensayo de carbonatación fue hecho en el laboratorio sobre los núcleos de concreto extraídos (Ver Figura 20 y Tabla 3) a continuación, se presenta el avance de carbonatación para cada una de las muestras, datos registrados en las observaciones de los informes del ensayo a compresión de núcleos (Ver Apéndice I):

Tabla 3.

Resultados del ensayo de carbonatación.

Núcleo 1	8 mm	Núcleo 3	0 mm	Núcleo 5	0 mm
Núcleo 2	14 mm	Núcleo 4	0 mm	Núcleo 6	0 mm

El ensayo de carbonatación se realizó sobre los seis (6) núcleos de concreto extraídos, para los cuales los núcleos 1, 2 y 3 corresponden a la losa y los 4,5 y 6 a las vigas. El ensayo dio como resultado un avance de carbonatación en la losa hasta de 14 mm, este avance sobrepasa el recubrimiento induciendo la corrosión de la armadura. Para los núcleos ensayados no fue detectado progreso alguno de carbonatación en la viga.



Figura 20. Ensayo de carbonatación sobre los núcleos de Concreto

8.2 Resultados de la esclerometría

El ensayo de esclerometría se realizó el día 27 de Julio de 2018 en el sitio del proyecto (Calle 9 entre carrera 2A y 2B) con el fin de determinar la resistencia del concreto a través del número de rebote del concreto endurecido. Se registraron tres (3) puntos cada uno de quince (15) rebotes para

su promedio. Dos de los tres puntos se tomaron en vigas y el otro punto se tomó en la losa (*Ver Figura 21*). Para el ensayo de esclerometría se siguió el procedimiento de la Norma Técnica Colombiana NTC3692:1995.



Figura 21. Ensayo de esclerometría

A continuación, en la Tabla D. se presentan los resultados obtenidos con el ensayo de esclerometría para cada uno de los puntos de estudio, estos datos se tomaron del informe presentado por CONCRELAB (Ver Apéndice J):

Tabla 4.

Resultados de ensayo de esclerometría.

ENSAYO DE ESCLEROMETRÍA NTC3691						
ENSAYO No.	ESTRUCTURA	# REBOTE	RESISTENCIA			
1	Vigas	59.90	3295.5 PSI			
2	Vigas	58.40	3212 PSI			
3	Losa	64.04	3522.2 PSI			

La ingeniería existente del puente indica una resistencia a la compresión del concreto (*F'c*) de la losa y de las vigas de 3000 PSI, de acuerdo al ensayo de esclerometría el puente estaría constructivamente de acuerdo a lo planteado en la ingeniería.

8.3 Resultados de los núcleos de concreto

La extracción de núcleos se realizó el día 27 de Julio de 2018 en el sitio del proyecto (Calle 9 entre carrera 2A y 2B) con el fin de determinar la resistencia del concreto a través del ensayo a compresión. Se tomaron dos grupos de muestras cada uno con tres núcleos (ICONTEC, 1994), el primer grupo corresponde a la losa y el segundo a las vigas (*Ver Figura 22 y Figura 23*). Para el ensayo de compresión de los núcleos de concreto se siguió el procedimiento de la Norma Técnica Colombiana NTC3658:1994, en lo que se refiere al curado, refrentado y ensayo a compresión, en el *Apéndice I* se presenta el informe completo del ensayo de resistencia a la compresión presentado por CONCRELAB.



Figura 22. Grupo de núcleos de concreto: Losa



Figura 23. Grupo de núcleos de concreto: Vigas

Se presenta en la Tabla 5 de los resultados del ensayo a compresión de los núcleos de concreto extraídos, de acuerdo al informe entregado por CONCRELAB (*Ver Apéndice I*):

Tabla 5.

Resultados del ensayo de resistencia a la compresión

	LOSA		VIGAS		
Núcleo 1	Núcleo 2	Núcleo 3	Núcleo 4	Núcleo 5	Núcleo 6
21.4 Mpa	17.1 Mpa	16.8 Mpa	29.2 Mpa	27.6 Mpa	26.0 Mpa
3057 PSI	2443 PSI	2400 PSI	4171 PSI	3942 PSI	3714 PSI

Resistencia promedio	2633 PSI	Resistencia promedio	3942 PSI

De acuerdo a los resultados obtenidos con el ensayo de resistencia a la compresión de los núcleos de concreto de concreto se tiene que:

- La losa presenta una resistencia inferior a la especificada en la ingeniería.
- Las vigas presentan una resistencia superior a la especificada en la ingeniería.
- La baja resistencia de la losa es acorde con los resultados del ensayo de carbonatación.
- Se nota imprecisión en los resultados obtenidos con el ensayo de esclerometría, pero esto puede deberse a las causas anteriormente descritas.

8.4 Resultados del Ferroscan

El uso del sistema ferroscan PS200 se realizó el día 27 de Julio de 2018, con el fin de verificar la posición, profundidad y estimar el diámetro de hierros de la armadura, aunque se realizó verificación en el sitio en los puntos con acero expuesto, se aclara que solamente se realizó este

ensayo no destructivo para la verificación del refuerzo. Se tomaron 3 puntos el primero en el centro de la viga, el segundo en los apoyos y el tercero en la losa. A continuación, en Tabla 6 se presenta cuadro con resultados obtenidos para el diámetro y recubrimiento de la armadura, a través del ensayo de ferroscan, información obtenida a través del informe entregado por CONCRELAB (*Ver* **Apéndice** *Apéndice K*):

Tabla 6.Resultados del ensayo de ferroscan

VIGA: Centro			VIGA: Apoyo			LOSA					
No	⊳barra	Rec	Dir	No	∞ _{barra}	Rec	Dir	No	∞ _{barra}	Rec	Dir
1	16mm	60mm	Н	1	10mm	48mm	V	1	14mm	32mm	Н
2	16mm	44mm	Н	2	10mm	46mm	V	2	16mm	34mm	Н
3	16mm	43mm	Н	3	16mm	47mm	Н	3	16mm	49mm	Н
4	10mm	43mm	V	4	16mm	34mm	Н	4	10mm	44mm	V
5	10mm	44mm	V	5	16mm	31mm	Н	5	10mm	45mm	V
-		•	,	,				6	8mm	27mm	V

Según los resultados obtenidos se realiza cuadro comparativo (*Ver Tabla 7*) de lo establecido en la ingeniería y lo encontrado con el ensayo de ferroscan y sus respectivas observaciones:

Tabla 7.

Comparativo entre la ingeniería y ensayo de ferroscan en campo.

DESCRIPCIÓN	INGENIERÍA	FERROSCAN	OBSERVACIÓN
Acero Longitudinal de	#8 (25.4 mm)	#5 (15.9 mm)	El ensayo no detectó varillas #8, todo el acero
la viga.	#4 (12.7 mm)	#3 (13.9 IIIII)	longitudinal detectado fue #5.
Acero transversal de la	#3 (9.5 mm)	#3 (9.5 mm)	El ensayo y la ingeniería están acordes.
viga.	#3 (9.3 11111)	#3 (9.3 11111)	El elisayo y la lligemena estan acordes.
Acero transversal de la	#2 (0.5 mm)	#2 (0.5 mm)	El ensayo y la ingeniería están acordes.
losa.	#3 (9.5 mm)	#3 (9.5 mm)	El elisayo y la lligemena estan acordes.
Acero longitudinal de la	#4 (12.7 mm)	#5 (15.9 mm)	El diámetro identificado a través del ensayo es
losa.	#4 (12.7 111111)	#3 (13.9 IIIII)	mayor al sugerido en la ingeniería.

Se debe tener en cuenta que la diferencia en el diámetro indicado en la ingeniería y el detectado a través del ensayo puede ser por:

- Debido al efecto de corrosión en la armadura esta tiende a presentar zonas de aumento o reducción de sección, según sea el caso.
- Cambios en la ingeniería durante la construcción sin la actualización de la misma, entrega de planos As Built.

En términos generales, el acero de refuerzo se encuentra acorde a la ingeniería existente o presenta un diámetro mayor, exceptuando las 7 varillas #8 (*Ver Apéndice E*) que no fueron identificadas, todas las varillas del acero longitudinal encontradas en la viga fueron #5.

En cuanto al espaciamiento entre barras (*Ver Tabla 8*) se observa que varía del indicado en la ingeniería, especialmente en las vigas, esto podría ser debido a procesos constructivos errados sumado al peso del concreto durante el vaciado que modifica las distancias.

 Tabla 8.

 Cuadro comparativo espaciamiento entre barras

DESCRIPCIÓN	INGENIERÍA	FERROSCAN
Acero Longitudinal de la viga centro - Puntos 1 y 2	20 cm	14.8 cm
Acero Longitudinal de la viga centro - Puntos 2 y 3	25 cm	9.6 cm
Acero transversal de la viga centro - puntos 4 y 5	30 cm	29 cm
Acero Longitudinal de la viga apoyo - Puntos 3 y 4	20 cm	8.2 cm
Acero Longitudinal de la viga apoyo - Puntos 4 y 5	25 cm	9.4 cm
Acero transversal de la viga apoyo - puntos 1 y 2	25 cm	27.5 cm
Acero transversal de la losa - Punto 1 y 2	18 cm	18.9 cm
Acero transversal de la losa - Punto 2 y 3	18 cm	18.4 cm
Acero longitudinal de la losa - punto 4 y 5	26 cm	25.5 cm
Acero longitudinal de la losa - punto 5 y 6	26 cm	25.1 cm

9. Análisis estructural de la estructura existente

A continuación, se realiza el análisis de la capacidad de carga actual de la estructura a través del programa CSI Bridge® 2017 (CSI COMPUTERS & STRUCTURES) contemplando un análisis con factores de carga. La geometría del tablero, calidad de los materiales y condiciones de carga corresponden a los resultados de las mediciones de campo y la elaboración de ensayos no destructivos sobre el mismo (*Ver Figura 24*). La modelación tuvo en cuenta el manual del uso del CSI Bridge® (CSI BRIDGE, 2016) para cada una de las etapas del análisis.

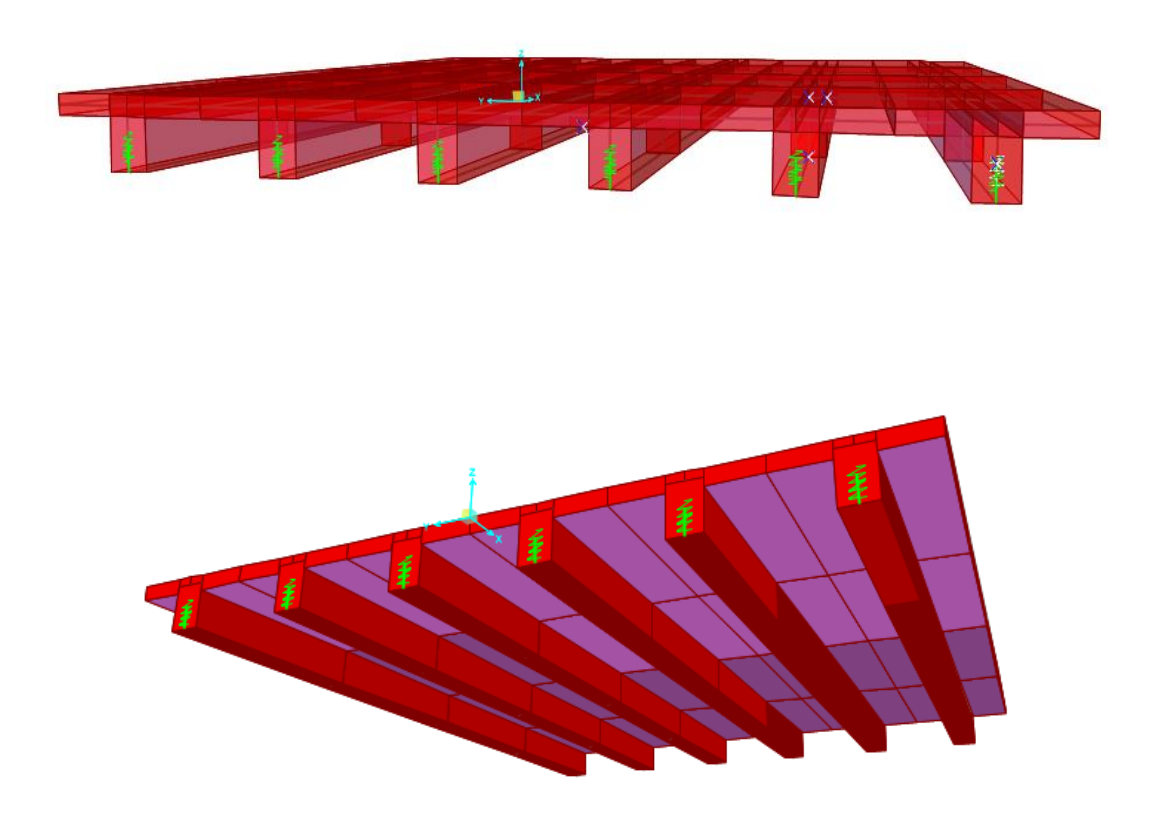


Figura 24. Modelo de Geometría del Puente

9.1 Consideraciones del análisis

Método: Factores de carga

Resistencia a la

compresión del Vigas y losa de 21 Mpa

concreto:

Acero de refuerzo: A706 Gr 60, FY = 420 Mpa

Tipo de Luz: Simplemente apoyada

Vigas: Son analizadas como viga T

Construcción: Construcción monolítica, in situ

No se incluye caso de sismo debido a que el análisis corresponde

Casos de Carga:

a solo a la súper – estructura (Caso académico).

Carga de barandas: 1 kN/m

Carga de Andén: 3.5 kN/m

Carga de

1.1 kN/m

Pavimento:

9.2 Patrones y casos de carga (CSI BRIDGE, 2016)

Los patrones de carga utilizados (Ver Figura 25) con sus respectivos casos (Ver Figura 26) son los siguientes:

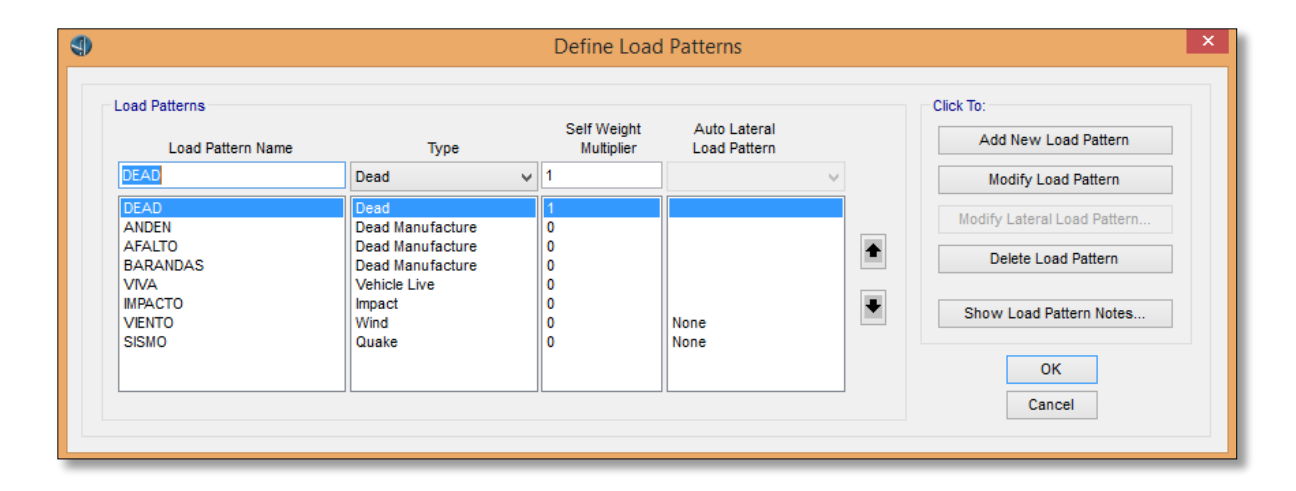


Figura 25. Patrones de carga definidos en CSI Bridge

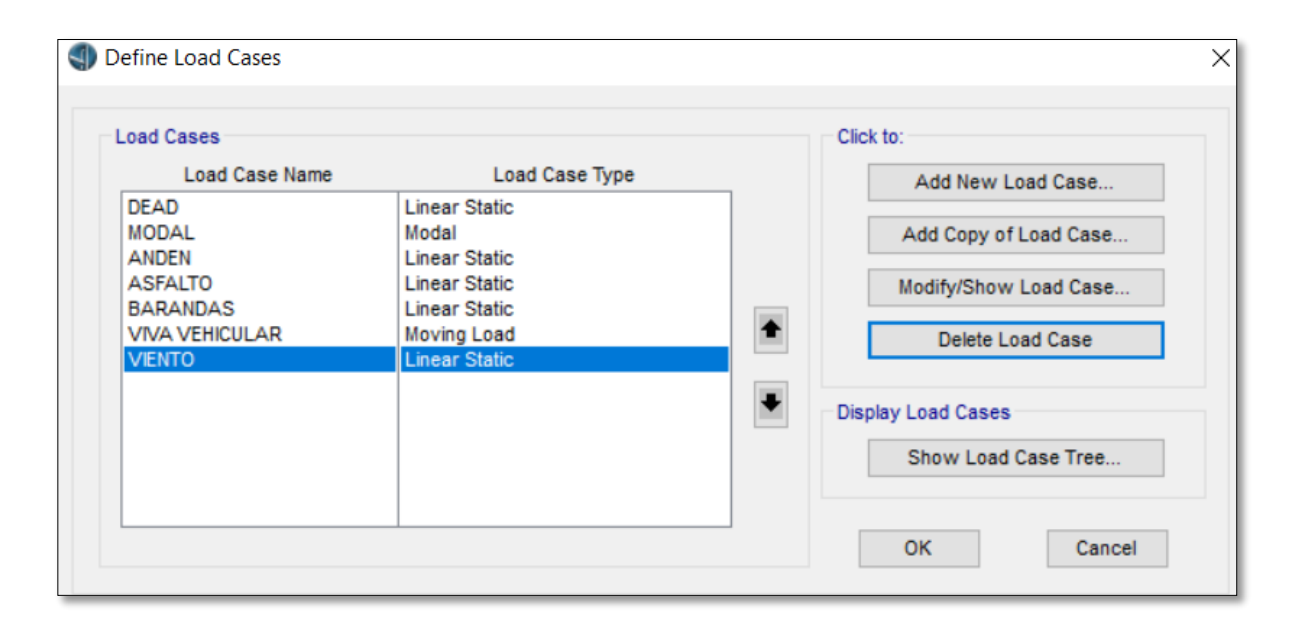


Figura 26. Casos de carga definidos en CSI Bridge

9.3 Definición de los vehículos de carga (CSI BRIDGE, 2016)

Para la definición de los camiones de carga se tuvo en cuenta los datos del tráfico presentes en la zona y lo descrito en el Código Colombiano de puentes (CCP-14), considerando entonces los vehículos señalados a continuación:

CCP-14 (Ver Figura 27 y Figura 28)

CARGAS			
Cabezote (P1)	4 Ton		
Eje 2 (P2)	16 Ton		
Eje 3 (P3)	16 Ton		

SEPARACIONES						
Distancia entre ejes (1) 4.3 m						
Distancia entre ejes (2) 4.3 m 9.0 m						
	4.3 m					

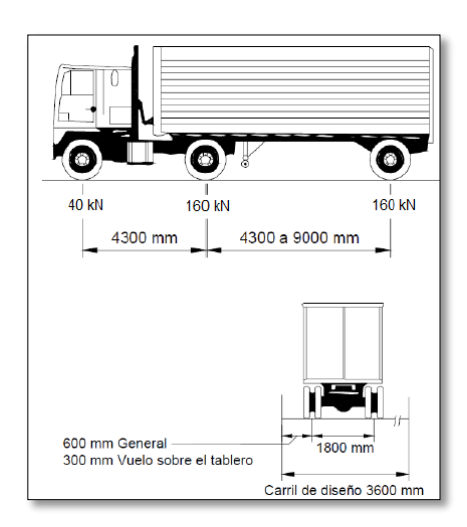


Figura 27. Camión de diseño CCP-14 (INVIAS, 2014)

<u>TANDEM</u> (Ver Figura 29)

CARGA	AS	SEPARACIONES		
Cabezote (P1)	12.5 Ton	Distancia entre ejes (1)	1.2 m	
Eje 2 (P2)	12.5 Ton			

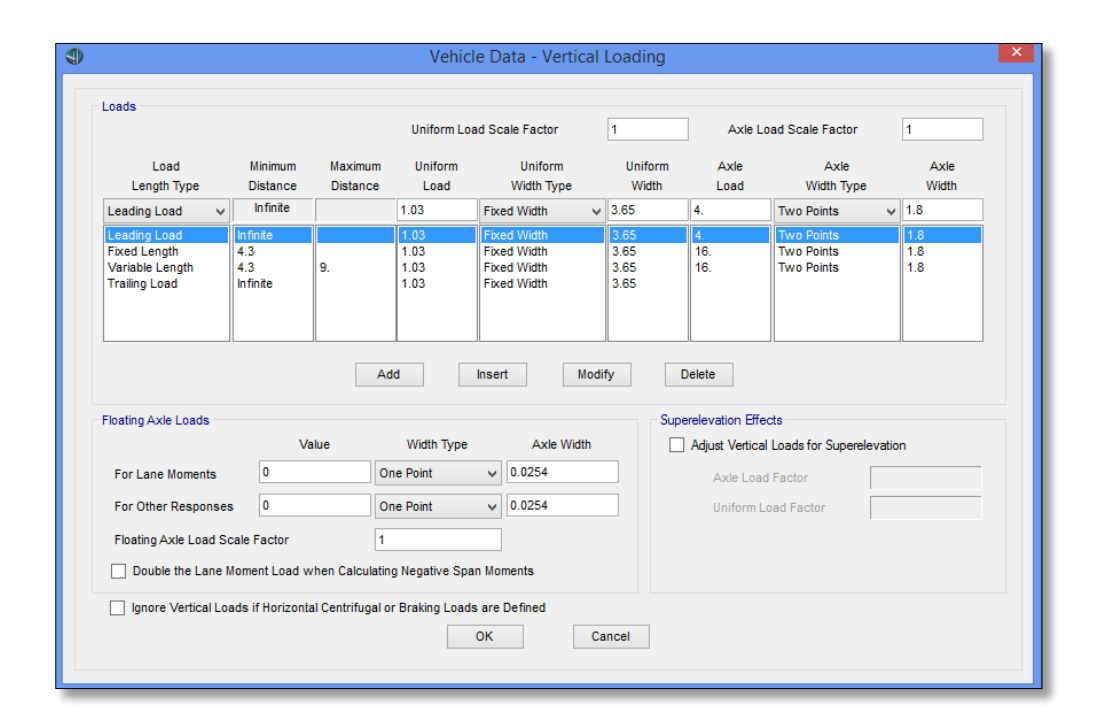


Figura 28. Definición del camión CCP-14

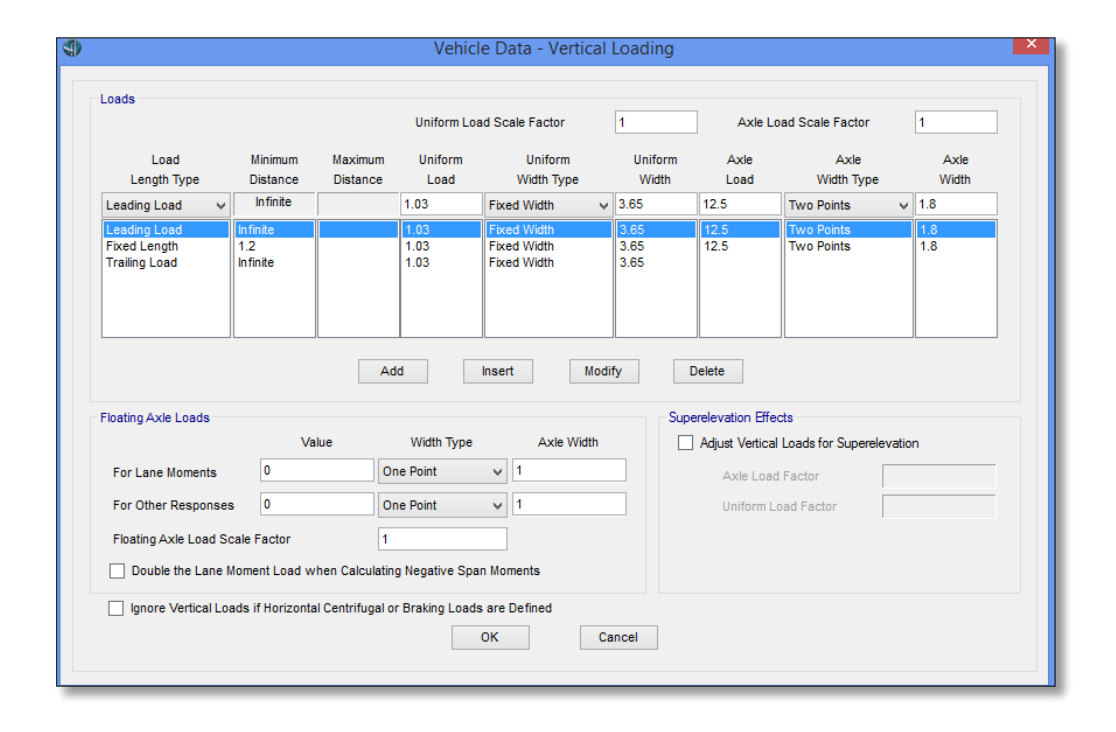


Figura 29. Definición del camión Tándem

9.4 Asignación de cargas sobreimpuestas (CSI BRIDGE, 2016)

En la siguiente imagen (Ver *Figura 30, Figura 31, Figura 32*) se observa la asignación de cargas sobreimpuestas: Las Barandas, los andenes y el pavimento.

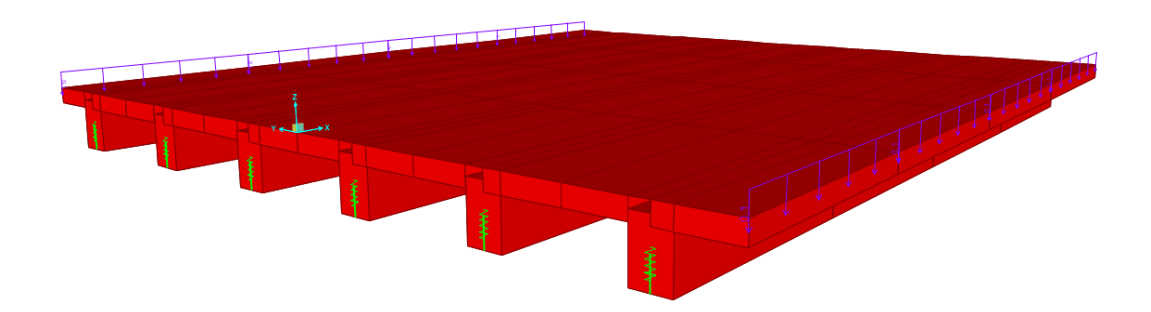


Figura 30. Asignación de cargas: barandas

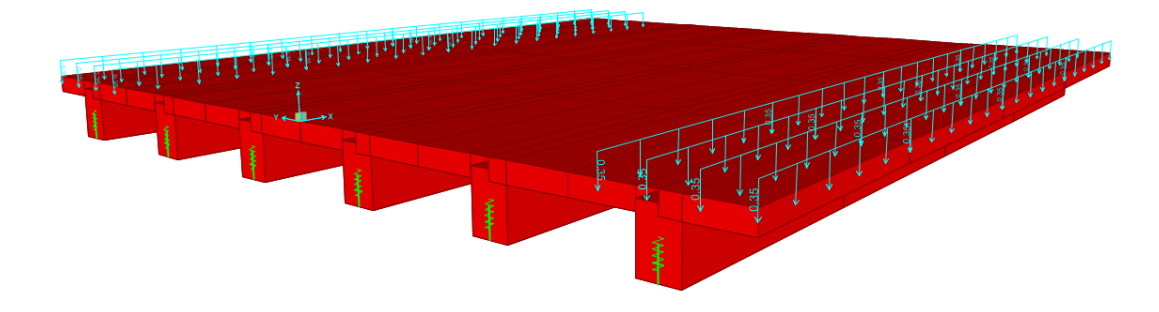


Figura 31. Asignación de cargas: Andenes

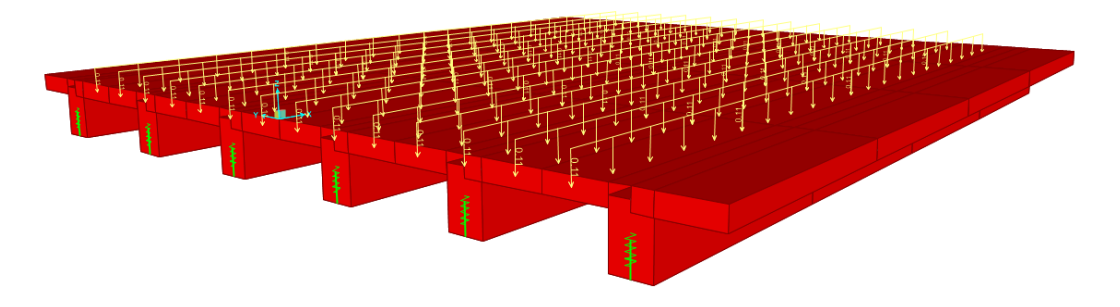


Figura 32. Asignación de cargas: Pavimento

9.5 Combinaciones de carga para el análisis (CSI BRIDGE, 2016)

Las combinaciones de carga utilizadas para el análisis se presentan a continuación (INVIAS, 2014, págs. 3-14). En la Figura 34 se presenta el modelo corrido para las combinaciones indicadas.

	DC									U:	se uno	de esto	s a la ve	eΖ
	DD													
	EH													
Estado Límite de la Combinación	EV	LL												
de la Combinación de carga	ES	IM CF												
	EL PS	CE BR												
	CR	PL												
	SH	LS	WA	WS	WL	FR	TU	TG	SE	EQ	BL	IC	CT	CV
Resistencia I (a menos que se indique)	γ_p	1.75	1.00	-	-	1.00	0.50/1.20	γ_{TG}	γ_{SE}	-	-	-	-	-
Resistencia II	γ_p	1.35	1.00	-	-	1.00	0.50/1.20	γ_{TG}	γ _{SE}	-	-	-	-	-
Resistencia III	γ_p	-	1.00	1.40 0	-	1.00	0.50/1.20	γ_{TG}	γ_{SE}	-	-	-	-	-
Resistencia IV	γ_p	-	1.00	-	-	1.00	0.50/1.20	-	-	-	-	-	-	-
Resistencia V	γ_p	1.35	1.00	0.40	1.0	1.00	0.50/1.20	γ_{TG}	γ_{SE}	-	-	-	-	-
Evento Extremo I	γ_p	Υ <i>Ε</i> Ω	1.00	-	-	1.00	-	-	-	1.00	-	-	-	-
Evento Extremo II	γ_p	0.50	1.00	-	-	1.00	-	-	-	-	1.00	1.00	1.00	1.00
Servicio I	1.00	1.00	1.00	0.30	1.0	1.00	1.00/1.20	γ_{TG}	γ_{SE}	1	-	-	-	-
Servicio II	1.00	1.30	1.00	-	-	1.00	1.00/1.20	-	-	-	-	-	-	-
Servicio III	1.00	0.80	1.00	-	-	1.00	1.00/1.20	γ_{TG}	γ_{SE}	-	-	-	-	-
Servicio IV	1.00	-	1.00	0.70 0	-	1.00	1.00/1.20	-	1.0	-	-	-	-	-
Fatiga I- Sólo <i>LL</i> , <i>IM</i> & <i>CE</i>	-	1.50	-	-	-	-	-	-	ı	-	-	-	-	-
Fatiga I II- Sólo <i>LL</i> , <i>IM</i> & <i>CE</i>	-	0.75	-	-	-	-	-	-	1	-	-	-	-	-

Figura 33. Combinaciones de carga implementadas en el modelos

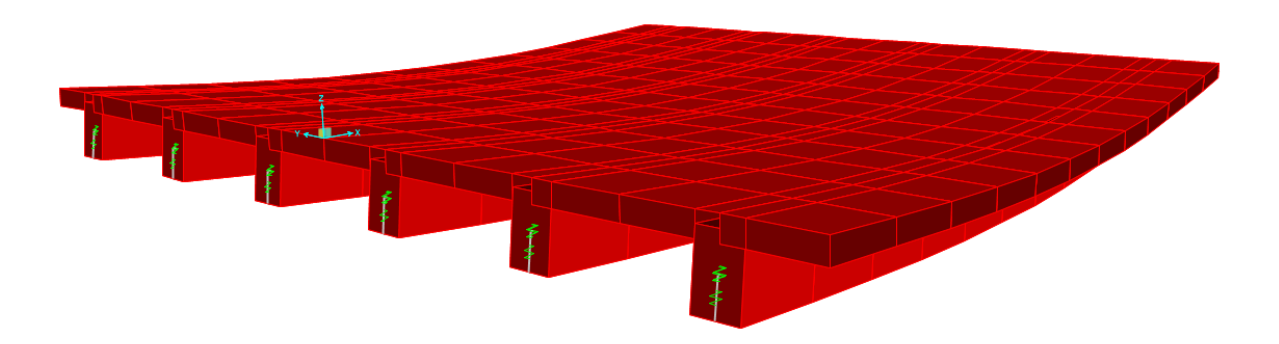


Figura 34. Modelo analizado para las combinaciones de carga

9.6 Resultados De Momentos (M3) y cortantes (V2) En El Modelo (CSI BRIDGE, 2016)

Luego del análisis para las combinaciones de carga anteriores se presentan los resultados de momentos M3 y cortante V2 del modelo para la combinación crítica (*Ver Figura 35, Figura 36, Figura 37, Figura 38, Figura 39, Figura 40, Figura 41, Figura 42, Figura 43, Figura 44, Figura 45 y Figura 46*):

9.6.1 Momentos m3 y cortantes v2: viga exterior izquierda

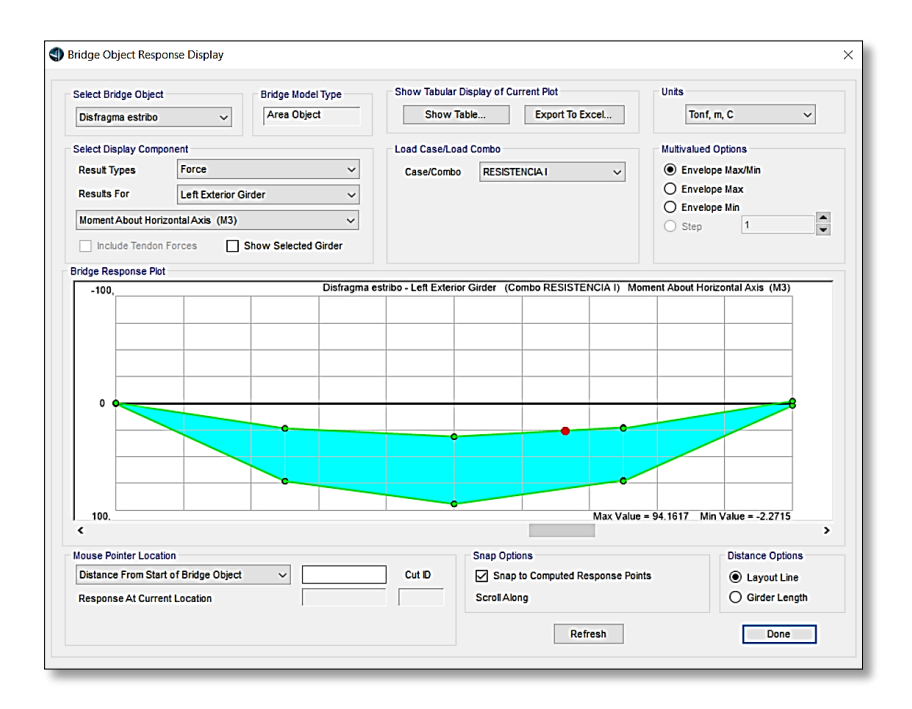


Figura 35. Momento M3 viga exterior izquierda - Combo resistencia I

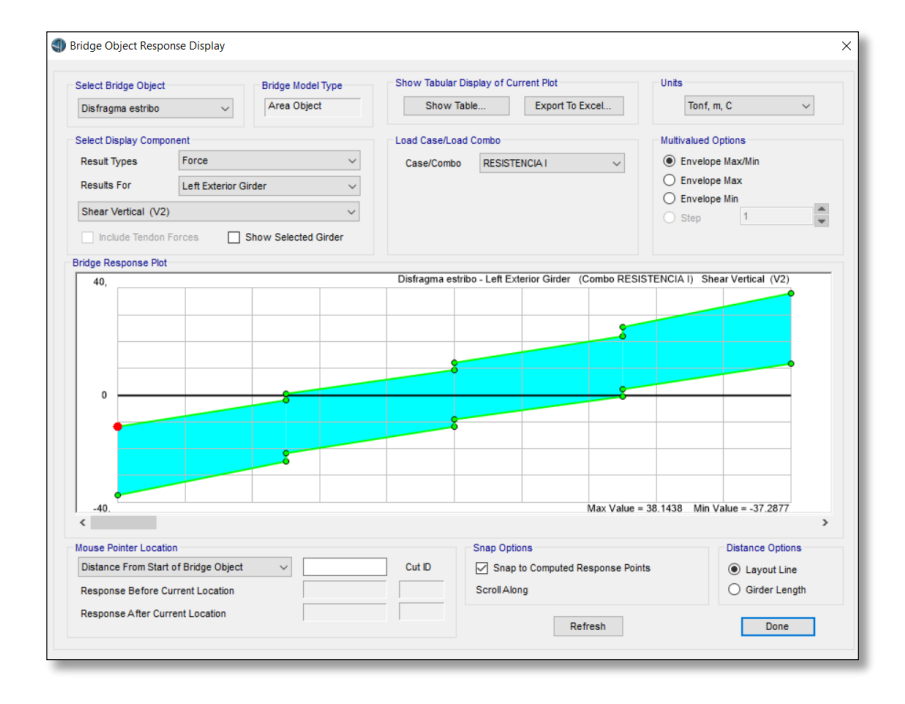


Figura 36. Cortante V2 viga exterior izquierda - Combo resistencia I

9.6.2 Momentos M3 y cortantes V2: viga interior 1

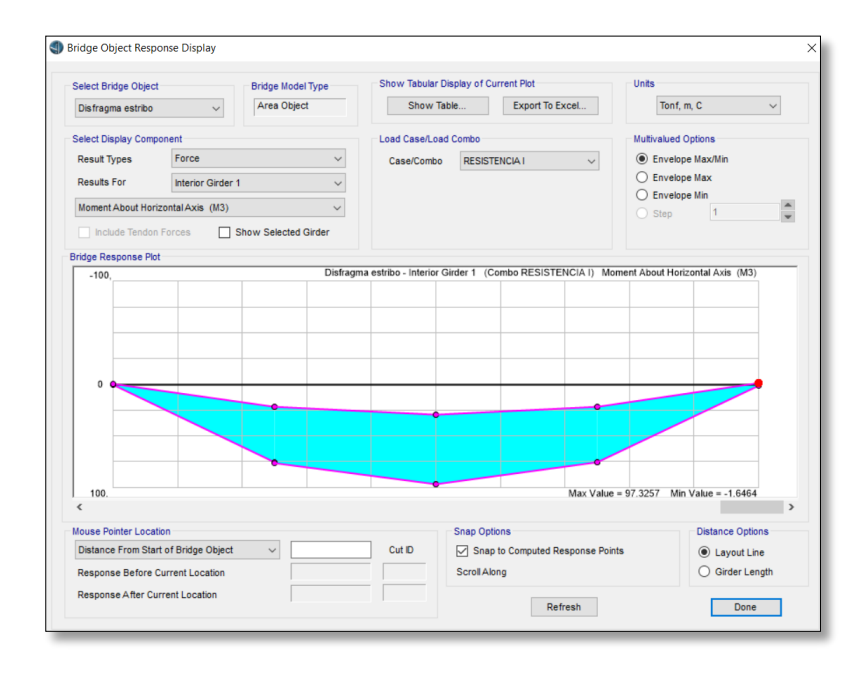


Figura 37. Momento M3 viga interior 1 - Combo resistencia I

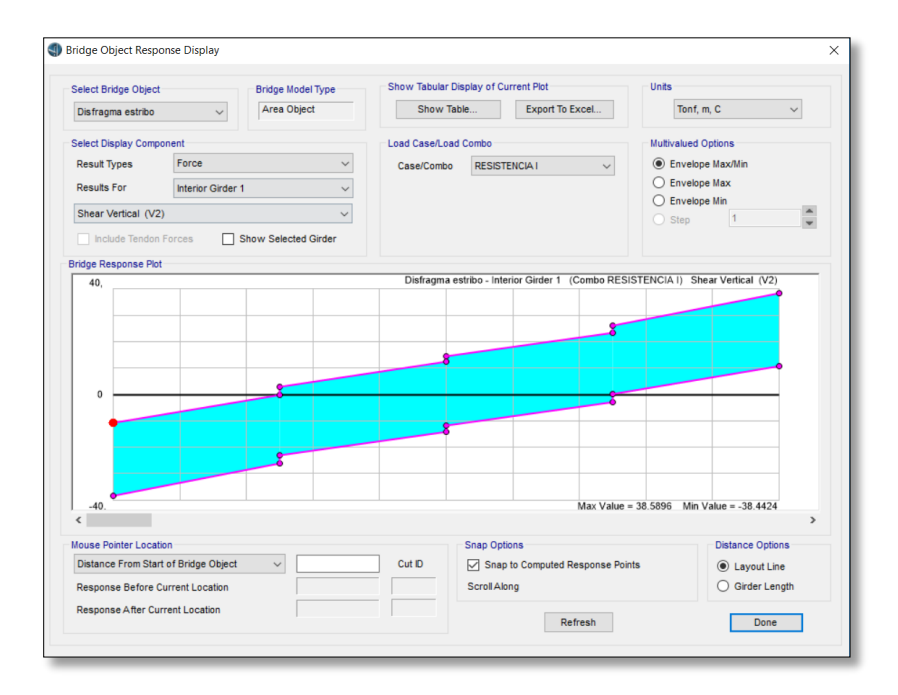


Figura 38. Cortante V2 viga interior 1 - Combo resistencia I

9.6.3 Momentos M3 y cortantes V2: viga interior 2

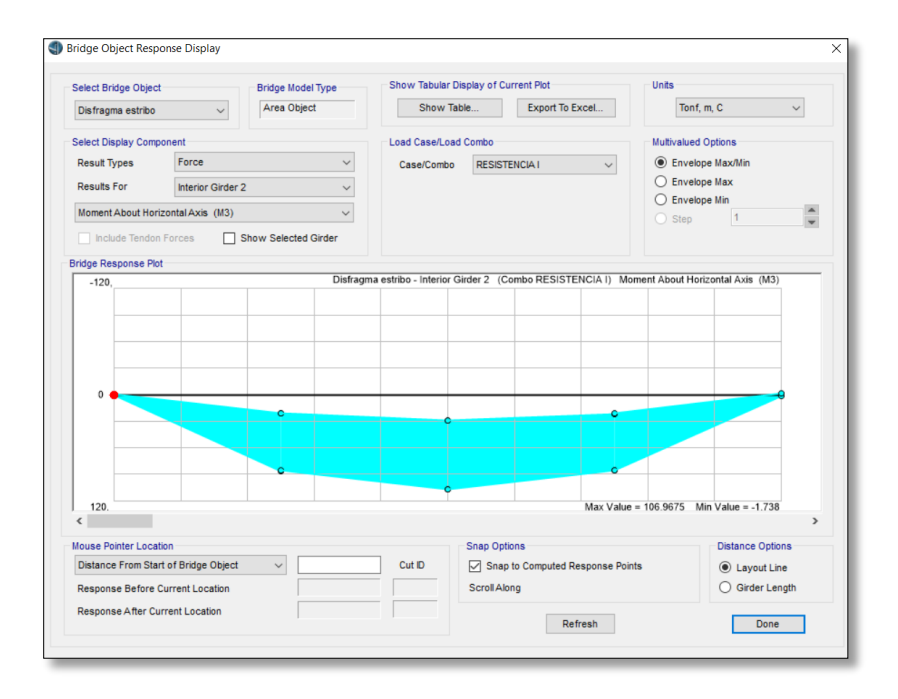


Figura 39. Momento M3 viga interior 2 - Combo resistencia I

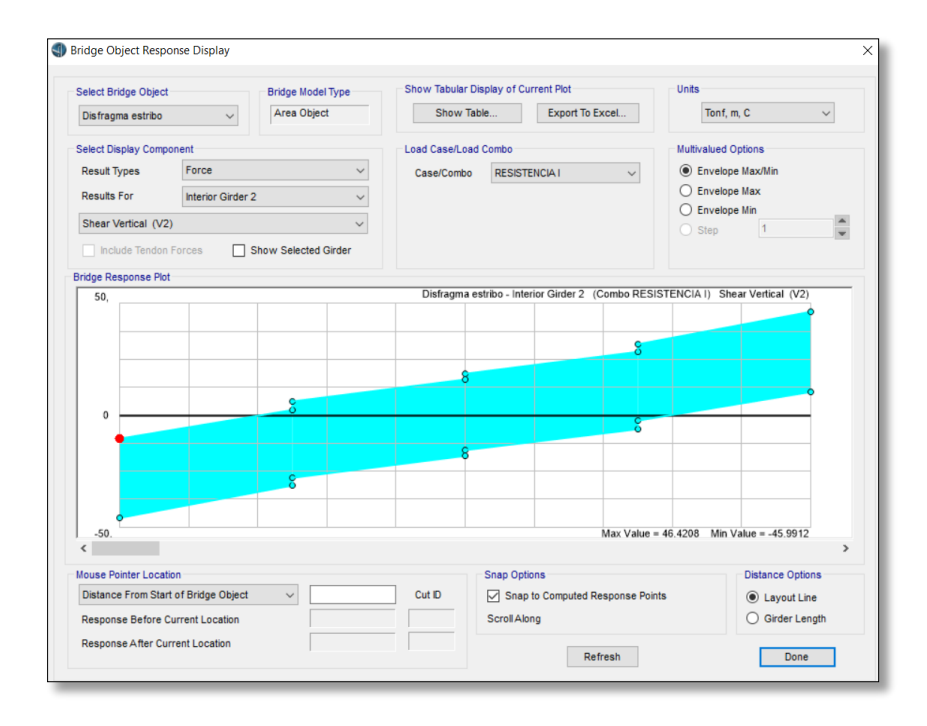


Figura 40. Cortante V2 viga interior 2 - Combo resistencia I

9.6.4 Momentos M3 y cortantes V2: viga interior 3

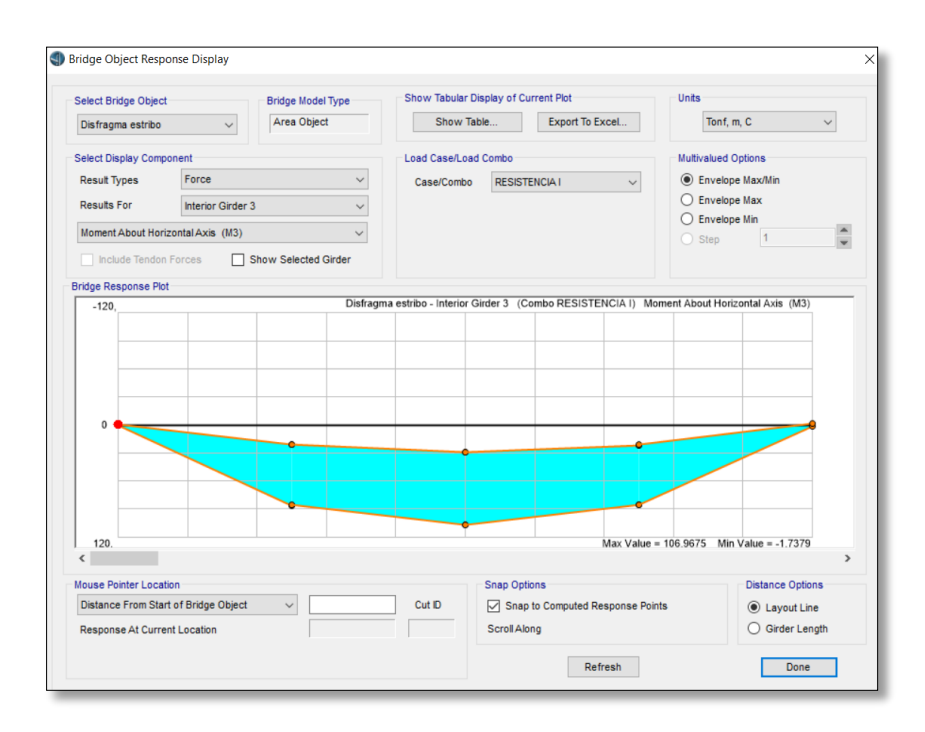


Figura 41. Momento M3 viga interior 3 - Combo resistencia I

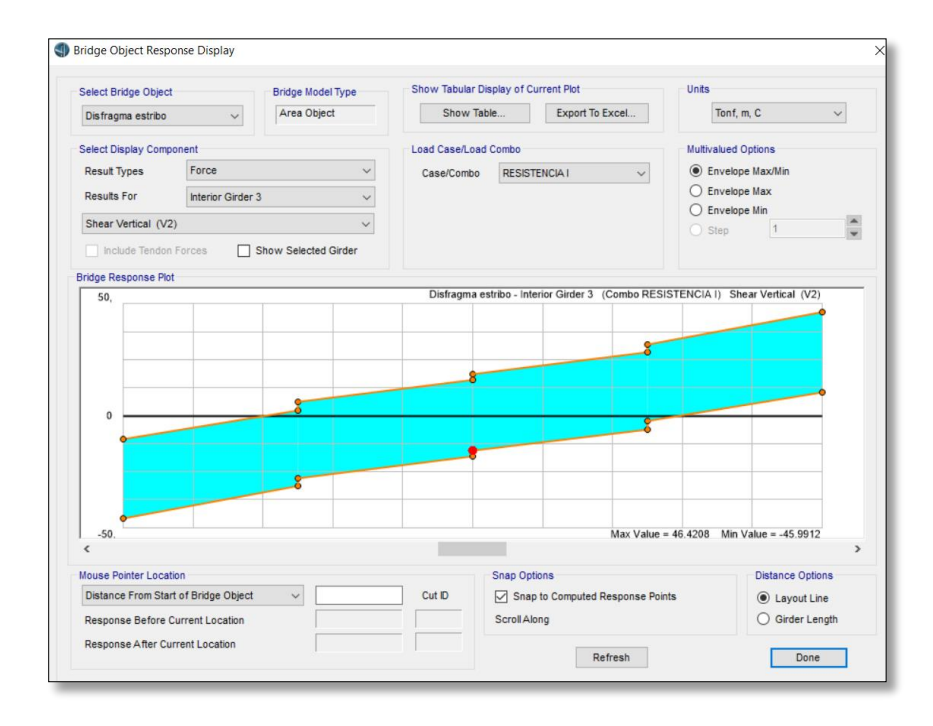


Figura 42. Cortante V2 viga interior 3 - Combo resistencia I

9.6.5 Momentos M3 y cortantes V2: viga interior 4

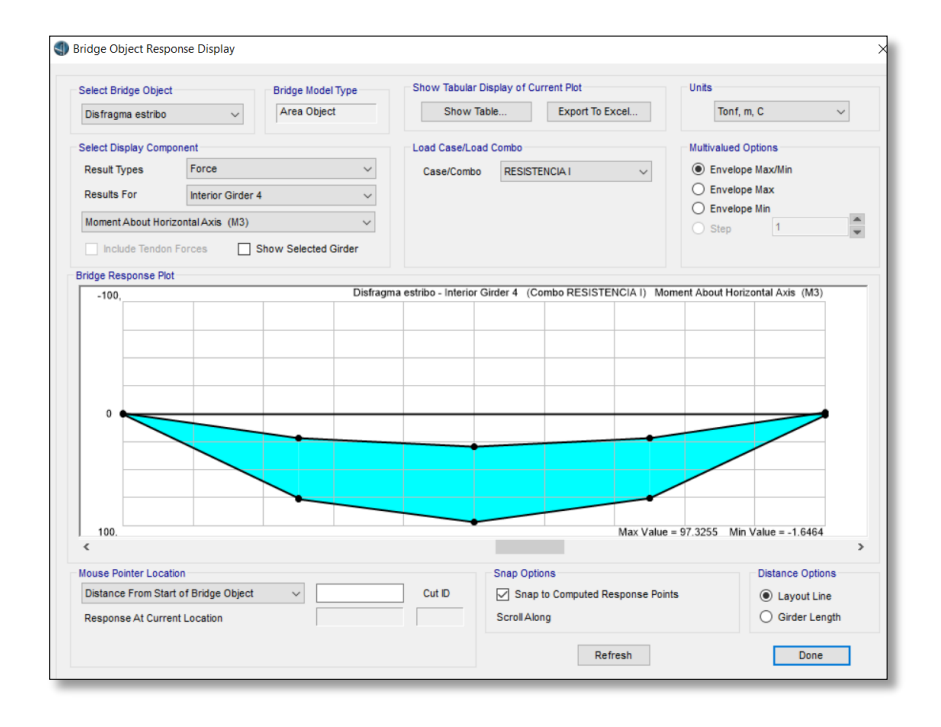


Figura 43. Momento M3 viga interior 4 - Combo resistencia I

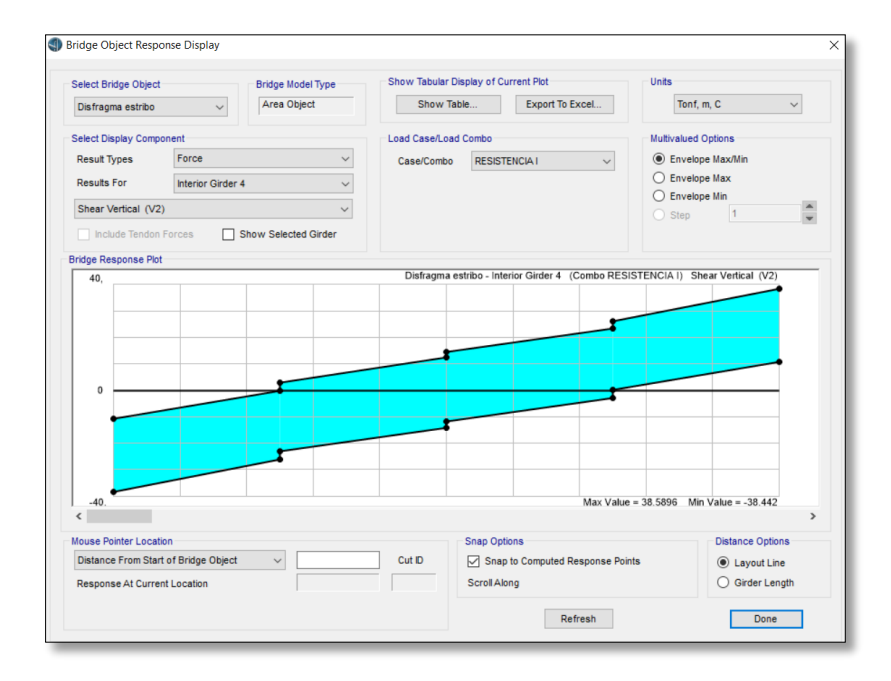


Figura 44. Cortante V2 viga interior 4 - Combo resistencia I

9.6.6 Momentos M3 y cortantes V2: viga exterior derecha

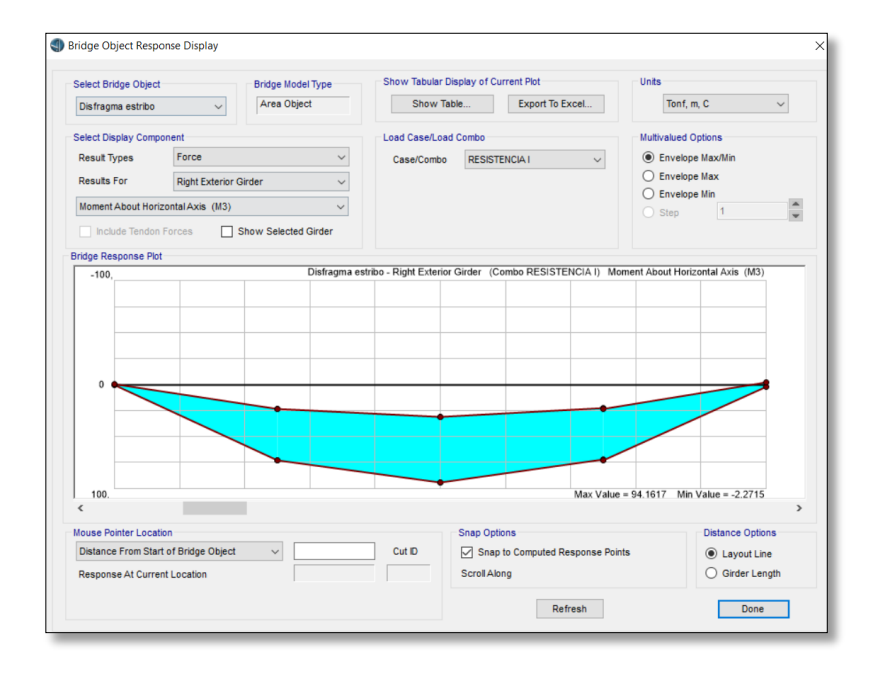


Figura 45. Momento M3 viga exterior derecha - Combo resistencia I

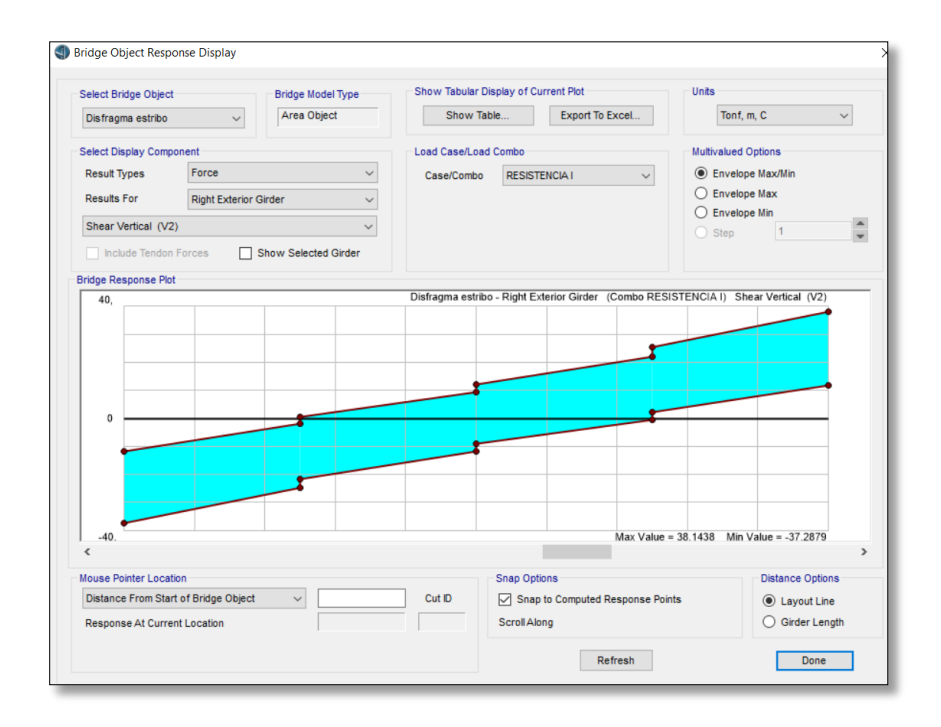


Figura 46. Cortante V2 viga exterior derecha- Combo resistencia I

10. Memoria de cálculo Análisis Estructural CCP-14 Estructura Existente

Luego del análisis de capacidad de carga a través del programa CSI Bridge® 2017 (CSI COMPUTERS & STRUCTURES) se presenta memorias de cálculo del análisis estructural del puente para las dimensiones y acero existente en el Apéndice M con el fin de verificar si la cuantía existente es suficiente, esto fue realizado bajo un análisis con factores de carga. Del análisis descrito se encontró lo siguiente:

- La altura de la viga requerida es de mínimo 74 cm, la viga existente es de 70 cm, lo que quiere decir que se encuentra 4 cm por debajo de lo establecido en la tabla 2.5.2.6.3-1 del CCP-14 (ASOCIACIÓN COLOMBIANA DE INGENIERÍA SÍSMICA AIS, 2014).
- Al revisar el esfuerzo cortante en el voladizo, se sugiere un ancho de losa con acartelamiento de 0.24 m; durante la inspección de campo no se evidencia acartelamiento alguno, se mantiene el ancho de la losa de 0.20 m lo que es 4 cm por debajo de lo calculado. Lo anterior favorece a la presencia de fisuras por cortante.
- El análisis estructural se realizó teniendo en cuenta lo encontrado a través de los ensayos de campo, es decir, las condiciones de ingeniería existente de acuerdo a lo encontrado. (Ver Apéndice F).

- El acero de refuerzo requerido para la armadura superior de la losa es de 12.66 cm²/m, de acuerdo a la ingeniería existente (*Ver* **Apéndice** *E*) se disponen varillas #5 cada 18 cm, sin embargo, el análisis se hace basado en lo encontrado con para esa disposición de acero se requeriría varillas #5 cada 15 cm, según esto, el acero existente es inferior al requerido.
- El acero de refuerzo requerido para la armadura inferior de la losa es de 9.44 cm²/m, de acuerdo a la ingeniería existente (*Ver Apéndice E*) se disponen varillas #5 cada 18 cm, sin embargo, para esa disposición de acero se requeriría varillas #5 cada 15 cm, de acuerdo a esto, el acero existente es inferior al requerido.
- La armadura de distribución, es decir, la armadura en la dirección secundaria (Transversal) de acuerdo a la ingeniería existente (*Ver Apéndice E*) corresponde a varillas #3 cada 26 cm, sin embargo, para esa disposición en la franja media de acuerdo al análisis, serían varillas #3 cada 11 cm, según esto, el acero existente es menor al requerido.
- Durante la inspección de campo no hay evidencia de la existencia del acero de refuerzo por retracción y fraguado.
- Se determina que el estado estructural del puente evaluado con el CCP-14 es deficiente, esto debido a que es un puente antiguo que no fue diseñado con esta norma, en el *Apéndice G* se presenta plano de reforzamiento del puente de acuerdo al acero faltante.

11. Descripción propuesta de reforzamiento

11.1 Tratamiento a las patologías encontradas

Tabla 9.Tratamiento a las patologías encontradas.

No	ESTRUCTURA	PATOLOGÍA	TRATAMIENTO
1	Losa	Ausencia de juntas de expansión	 Se deberá intervenir la estructura creando las juntas a cada extremo del puente, como se indica (ASTM, 2013): Realizar el corte de la estructura sobre el área a intervenir y limpiar. Reparar el área afectada por la ausencia de la junta, escarificación, limpieza y reconstrucción. Como es una estructura existente se recomienda utilizar una junta abierta con ángulo metálico que contribuya al acabado de la junta.
2	Andén	Desportillamiento de andenes	 Aunque no representa una patología de gran impacto, deberá intervenirse para evitar que contribuya al fenómeno de carbonatación: 1. Escarificación, limpieza, epóxico (SIKA, 2017) y reconstrucción. 2. Si se considera necesario, se puede hacer uso de un ángulo para evitar el desportillamiento continúo.
3	Drenajes	Taponamiento de drenajes	 Limpieza y des-taponamiento de drenajes. Alargue de los drenajes, con el fin de evitar afectación del área aledaña. Se recomienda un mantenimiento periódico para evitar el taponamiento.
4	Losa	Fisura por flexión	Necesario su reparación pues es un factor que contribuye a la corrosión del acero, para ello (ACI Committe 224, 1993): 1. Escarificación del área afectada. 2. Limpieza 3. Epóxico 4. Sellante
5	Losa	Hormigueros	Necesario su reparación pues es un factor que contribuye a la corrosión del acero, para ello (ACI Committe 224, 1993): 1. Escarificación del área afectada. 2. Limpieza 3. Epóxico 4. Mortero de reparación
6	Losa	Junta fría inadecuada	Se deberá intervenir la estructura arreglando las juntas como se indica (ASTM, 2013):

7	Losa	Eflorescencias	 Realizar el corte de la estructura sobre el área a intervenir y limpiar. Reparar el área afectada: escarificación, limpieza y reconstrucción. No olvidar el uso de epóxico (SIKA, 2017) para evitar su deterioro. Las superficies que no presentan una patología activa pueden limpiarse (SIKA, 2014), de lo contrario, deberá intervenirse el área reemplazando el concreto afectado.
8	Losa	Infiltraciones	Al repararse las juntas, las infiltraciones se verán corregidas.
9	Losa	Corrosión de la armadura	Remueva todo el concreto contaminado con cloruro, o carbonatado del concreto y reemplácelo. (ACI Comitte 222, 2001)
10	Viga	Hormigueros	Necesario su reparación pues es un factor que contribuye a la corrosión del acero, para ello (ACI Committe 224, 1993): 5. Escarificación del área afectada. 6. Limpieza 7. Epóxico 8. Mortero de reparación
11	Viga	Acero expuesto	Se recomienda la siguiente metodología (ACI Comitte 222, 2001): 1. Remueva todo el concreto contaminado con cloruro, o carbonatado del concreto 2. Retire el refuerzo afectado. 3. Limpieza de la zona 4. Reemplace el refuerzo que fue retirado a través de anclajes o traslapo de ser posible. 5. Reemplace el concreto.
12	Rodadura	Perdida de carpeta de rodadura.	Será necesario realizar un mantenimiento a la carpeta de rodadura: 1. Retiro de la capa de rodadura 2. Limpieza del área 3. Preparación de la mezcla y repavimentar.

11.2 Alternativas de reforzamiento

A continuación, se presentan algunas de las diferentes alternativas de reforzamiento que pueden ser utilizadas para el mejoramiento estructural del puente de estudio, sin embargo, para el presente estudio los planos y detalles del reforzamiento se realizan para el método de recrecimiento de secciones (HAMEED, KHAN, TURATSINZE, & SIDDIQI, 2018).

11.3 Enchaquetado con láminas de acero

El objetivo de esta técnica es incrementar la capacidad de deformación o ductilidad del elemento y el propósito es mejorar su capacidad a cortante confinando el concreto. La técnica consiste en colocar una chaqueta o camisa con láminas de acero envolviendo al elemento. El enchaquetado se puede colocar dejando una holgura o espacio (SIKA, 2017) (Ver Figura 47)



Figura 47. Alternativa de reforzamiento: Enchaquetado con láminas de acero (SIKA, 2017)

11.3.1 Envoltura con ángulos y platinas. El objetivo de esta técnica es el mismo del enchaquetado con láminas de acero, mejorar la capacidad a cortante. La técnica consiste en colocar una chaqueta conformada por ángulos y platinas de acero. (Ver Figura 48)



Figura 48. Alternativa de reforzamiento: Envoltura con ángulos y platinas de acero (SIKA, 2017)

11.3.2 Reforzamiento con materiales de fibras poliméricas (FRP). La finalidad de esta técnica es incrementar la capacidad de deformación o ductilidad del elemento y el propósito es mejorar su capacidad a cortante confinando el concreto. Los elementos estructurales FRP son platinas o láminas de carbono, vidrio o aramida con mecanismos de transmisión de carga y proceso constructivo similar al de los elementos metálicos, sin embargo, existen particularidades de diseño propias de este material, por ejemplo, su característica a la alta resistencia de impacto (LU, HU, LI, & TANG, 2018). (Ver Figura 49)



Figura 49. Alternativa de reforzamiento: Reforzamiento con fibras poliméricas (SIKA, 2017)

11.3.3 colocación de cables tensados de acero o FRP. La resistencia de un elemento se puede aumentar con la adición de cables de acero o de materiales compuestos FRP pre-esforzados y anclados externamente a la estructura y que ejercen una acción activa. Se puede aumentar la resistencia del elemento a flexión, cortante, torsión, carga axial con esta técnica. (SEOK, GWON, & HYUN, 2018) (Ver Figura 50)

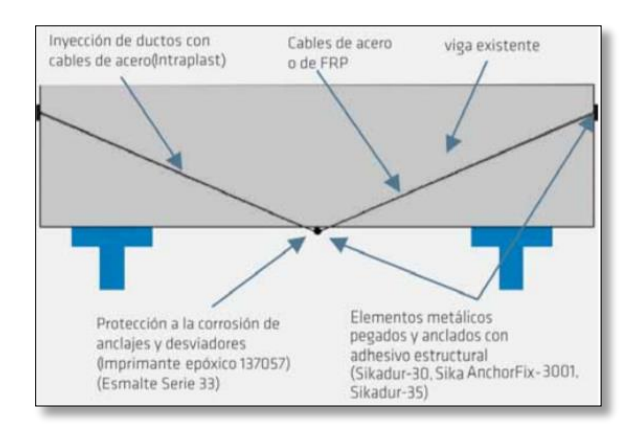


Figura 50. Alternativa de reforzamiento: Colocación de cables tensados de acero (SIKA, 2017)

11.4 Propuesta de reforzamiento detallada: recrecimiento de secciones

De acuerdo al análisis realizado en Apéndice M, donde se verificó las dimensiones y acero de refuerzo existente en el puente para las solicitaciones expuestas, se requiere un reforzamiento como se muestra a continuación:

Losa del puente

Tabla 10.Reforzamiento de la losa del puente

TIPO DE REFUERZO	REFUERZO EXISTENTE	REFUERZO REQUERIDO	DIFERENCIA	REFORZAMIENTO
Armadura superior (Principal)	$7.16 \text{ cm}^2/\text{ m}$	$12.66 \text{ cm}^2/\text{ m}$	$5.5 \text{ cm}^2/\text{ m}$	8.94 cm ² / m
Armadura inferior (Principal)	$7.16 \text{ cm}^2/\text{ m}$	$10.6 \text{ cm}^2/\text{ m}$	$3.44 \text{ cm}^2/\text{ m}$	#5 cada 22 cm
Armadura de distribución	$2.73 \text{ cm}^2/\text{ m}$	$6.4 \text{ cm}^2/\text{ m}$	$3.67 \text{ cm}^2/\text{ m}$	6 cm ² / m
Refuerzo por retracción y fraguado	$0 \text{ cm}^2/\text{ m}$	$2.33 \text{ cm}^2/\text{ m}$	$2.33 \text{ cm}^2/\text{ m}$	#4 cada 22 cm

Viga Exterior del puente

Tabla 11.Reforzamiento longitudinal de la viga exterior del puente

Refuerzo en bar	ra No.	No. 7	Área	3.87	cm^2	Ф (cm)	2.22					
Cant Bar Requerido	2	4	7	9	12	14	15	17	17	18	18	
AS _{Existente}	17.91	17.91	17.91	17.91	17.91	17.91	17.91	17.91	17.91	17.91	17.91	cm ²
AS _{Adicional}	NR	NR	6.537	16.74	25.59	33.09	39.25	44.05	47.51	49.62	50.37	cm ²
Cant Bar Adicional	NR	NR	2	5	7	9	11	12	13	13	14	

Tabla 12.Reforzamiento transversal de la viga exterior del puente

Estribos en barr	a No.	No. 3	Área	0.71	cm^2	Φ (cm)	0.95					
S _{MAX necesaria}	7	8	9	10	12	15	19	24	33	52	130	ст
S _{estribos adoptado}	7	8	9	10	12	15	19	20	20	20	20	cm
% Reducción	80%											
S _{EXISTENTE}	20	20	20	25	25	30	30	30	30	30	30	ст
VS-VC	133.6	133.6	133.6	106.9	106.9	89.06	89.06	89.06	89.06	89.06	89.06	kN
VS; VC+ (VS-VC)	305.6	305.6	305.6	278.9	278.9	261.1	261.1	261.1	261.1	261.1	261.1	kN
S _{MAX necesaria}	25	25	25	31	31	37	37	37	37	37	37	ст
$S_{estribos \ adopt \ ado}$	20	20	20	20	20	20	20	20	20	20	20	cm

Vigas Interiores del puente

Tabla 13.Reforzamiento longitudinal de la viga interior del puente

Refuerzo en bar	ra No.	No. 7	Área	3.87	cm ²	Ф (cm)	2.22					
Cant Bar Requerido	2	3	5	7	8	10	11	12	12	13	13	
AS _{Existente}	17.91	17.91	17.91	17.91	17.91	17.91	17.91	17.91	17.91	17.91	17.91	cm ²
AS _{Adicional}	NR	NR	NR	6.778	12.64	17.33	21.61	24.95	27.38	28.87	29.44	cm ²
Cant Bar Adicional	NR	NR	NR	2	4	5	6	7	8	8	8	

Tabla 14.Reforzamiento transversal de la viga interior del puente

Estribos en barr	a No.	No. 3	Área	0.71	cm^2	Ф (cm)	0.95					
S _{MAX necesaria}	6	7	8	9	10	12	15	18	24	35	61	cm
S _{estribos adoptado}	6	7	8	9	10	12	15	18	20	20	20	cm
% Reducción	80%											
S _{EXISTENTE}	20	20	20	25	25	30	30	30	30	30	30	ст
VS-VC	133.6	133.6	133.6	106.9	106.9	89.06	89.06	89.06	89.06	89.06	89.06	kN
VS; VC+ (VS-VC)	305.6	305.6	305.6	278.9	278.9	261.1	261.1	261.1	261.1	261.1	261.1	kN
S _{MAX necesaria}	25	25	25	31	31	37	37	37	37	37	37	cm
S _{estribos adoptado}	20	20	20	20	20	20	20	20	20	20	20	cm

En el *Apéndice G* se presenta plano de reforzamiento que incluye el acero adicional que deberá colocarse. Es importante anotar, que el periodo útil de la estructura está sujeto a los materiales (INVIAS, 2014) lo cuales tienen un periodo de retorno de 50 años, sin embargo, a pesar de esto y del reforzamiento se debe recordar que se están aprovechando materiales existentes por lo que podríamos prolongar la vida útil del puente a aproximadamente 25 años, recordando que se deberá continuar realizando los mantenimientos necesarios e inspecciones periódicas al mismo.

11.5 Recrecimiento de la losa

Se describe a continuación el procedimiento constructivo que se debe seguir para la propuesta de reforzamiento estructural mediante el recrecimiento de secciones, de las vigas y la losa que conforman el puente:

- A) Demolición de andenes existentes y retiro y almacenamiento de barandas para su uso posterior.
- B) Retiro de la carpeta de rodadura existente para reemplazo de la misma como mantenimiento.
- C) Se procede a el armado del refuerzo como se indica en los planos estructurales
- D) En el sentido longitudinal del puente en la losa se dispondrán #5 cada 22 cm, se usarán las dimensiones y armaduras de acuerdo a los planos estructurales.
- E) En el sentido transversal del puente en la losa se dispondrán #4 cada 22 cm, se usarán las dimensiones y armaduras de acuerdo a los planos estructurales.
- F) Para el recrecimiento de la losa de la superestructura se debe realizar previamente la preparación de la superficie del concreto con el objetivo de darle rugosidad al concreto existente, este procedimiento se debe realizar siguiendo las guías del ICRI "International Concrete Repair Institute" (INTERNATIONAL CONCRETE REPAIR INSTITUTE (ICRI), 2008) donde el perfil de rugosidad debe ser como mínimo CSP6 (Escarificación Media).
- G) Además de conformar el armado de refuerzo de la losa se debe realizar el armado de los andenes del puente existente como se indica en los planos estructurales; conservando las dimensiones, recubrimientos y especificaciones.
- H) Se debe colocar un conector entre la losa existente y el recrecimiento planteado como se indica en los planos estructurales para garantizar la homogeneidad de trabajo estructural del concreto colocado con el concreto existente.

- I) Antes de fundir la losa se debe proceder a generar un puente de adherencia para lo cual se procederá a colocar adhesivo tipo Látex (SIKA, 2017) usado para mejorar la adherencia de los concretos estructurales, su manejabilidad, permeabilidad y retracción, teniendo en cuenta que se colocara un concreto nuevo sobre uno endurecido. Para esto se debe mantener la superficie totalmente libre de impurezas que afecten las propiedades del producto y la superficie del concreto a utilizar, debe estar húmeda sin saturar la superficie.
- J) Se debe garantizar un tiempo de curado mínimo de 28 días teniendo en cuenta que será para cargas vehiculares, por lo que se debe alternar el paso de vehículos para las fundidas.

11.5 Recrecimiento de las vigas

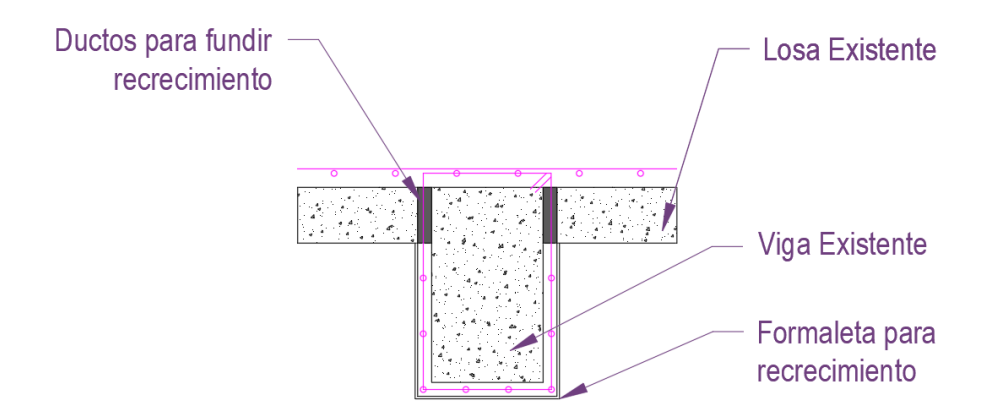


Figura 51. Detalle para bombeo del concreto

- A) Como primera medida se deben localizar los puntos a intervenir, por los cuales pasaran las ramas de los estribos a cruzar por la placa maciza del puente.
- B) Ubicados lo más preciso posible los puntos a intervenir se procede a realizar las perforaciones mediante las cuales se cruzarán las ramas de los estribos (Ver Figura 51).

- C) Realizadas las perforaciones en la losa se procede a cruzar el estribo dejando sobresalientes de abajo hacia arriba de la barra que conforma el estribo, después de cruzar la losa y se procederá a doblar los extremos sobresalientes del estribo hacia el centro del mismo.
- D) Ubicados los dobleces del estribo se procederá a realizar una soldadura del traslapo superior (ICONTEC, 1997), como se indica en los planos estructurales.
- E) Además de cuidar la ubicación del estribo, se debe tener en cuenta que el refuerzo longitudinal que hace parte del reforzamiento se debe ubicar antes de fijar todos los estribos, esto con el fin de facilitar el proceso constructivo del armado final del refuerzo.
- F) Para el recrecimiento de las vigas de la superestructura se debe realizar previamente la preparación de la superficie del concreto con el objetivo de darle rugosidad al concreto existente, este procedimiento se debe realizar siguiendo las guías del ICRI "International Concrete Repair Institute" (INTERNATIONAL CONCRETE REPAIR INSTITUTE (ICRI), 2008) donde el perfil de rugosidad debe ser como mínimo CSP6 (Escarificación Media).
- G) Luego se armará el encofrado para la fundida del aumento de sección de las vigas que conforman el puente con un concreto de 3000 PSI de grano fino máximo de 12 mm, respetando las dimensiones y recubrimientos mínimos estipulados en el plano estructural. Se procederá a colocar el concreto desde la parte superior de la losa como se muestra en Figura 52.

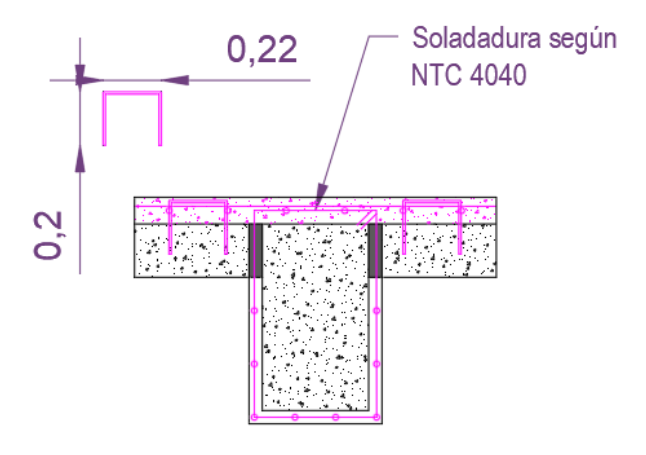


Figura 52. Detalle corte de tablero

H) Se debe garantizar un tiempo de curado mínimo de 28 días teniendo en cuenta que será para cargas vehiculares, por lo que se debe alternar el paso de vehículos para las fundidas.

12. Conclusiones y observaciones

- El presente estudio solamente realizó la patología estructural de la superestructura del puente,
 debido a que es un documento académico y subestructura no hizo parte del alcance del mismo.
- Este proyecto presenta planos del reforzamiento, pero no incluye cantidades ni costos del mismo, esto no hace parte del alcance del proyecto académico.

12.1 Inspección visual del puente – INVIAS

- Las dimensiones que se encuentran en la ingeniería existente, fueron verificadas en campo encontrando consistencia sobre las mismas.
- Se evidencian mayores patologías sobre el puente antiguo, esto debido a la construcción inadecuada de drenajes y en especial, a la junta que se generó por la ampliación con un proceso constructivo errado. Lo anterior, permite la presencia de humedad constante que desencadena en eflorescencias, porosidad y hormigueros para posteriormente dar paso a procesos de corrosión, fisuras y acero expuesto.
- Aunque se identifican diversas patologías, ninguna representa una falla estructuralmente grave.
 La ampliación, se encuentra en buenas condiciones salvo la viga que presenta acero expuesto.

PATOLOGÍA Y REHABILITACIÓN ESTRUCTURAL DE LA...

97

La corrosión presente en el puente antiguo sumado a los hormigueros requiere de un

mantenimiento, lo cual es algo normal para un puente de tal antigüedad.

12.2 Ensayo End: Carbonatación

El ensayo de carbonatación no fue realizado en campo, se realizó sobre los núcleos de

concreto, esto se debe a que se quería reducir la intervención sobre la estructura teniendo

en cuenta que es por fines académicos y es válido realizar el ensayo sobre los núcleos.

El ensayo de carbonatación se realizó sobre los seis (6) núcleos de concreto extraídos, para

los cuales los núcleos 1, 2 y 3 corresponden a la losa y los 4,5 y 6 a las vigas. El ensayo

dio como resultado un avance de carbonatación en la losa hasta de 14 mm, este avance

sobrepasa el recubrimiento induciendo la corrosión de la armadura. Los núcleos ensayados

en la viga no presentaron progreso alguno de carbonatación.

12.3 Ensayo End: Esclerometría

Los resultados obtenidos a través del ensayo de esclerometría puede verse afectado por

diversos factores como: Textura de la superficie del concreto, humedad relativa del

concreto, el espesor de los elementos ensayados, la calidad de los agregados empleados en

la elaboración del concreto, la relación agua-cemento empleada en la elaboración del

concreto, la edad del concreto. (CONCRELAB, 2018)

PATOLOGÍA Y REHABILITACIÓN ESTRUCTURAL DE LA...

98

• La ingeniería existente del puente indica una resistencia a la compresión del concreto (F'c)

de la losa y de las vigas de 3000 PSI, de acuerdo al ensayo de esclerometría el puente

estaría constructivamente de acuerdo a lo planteado en la ingeniería.

12.4 Ensayo End: núcleos de concreto

De acuerdo a los resultados obtenidos con el ensayo de resistencia a la compresión de los

núcleos de concreto de concreto se concluye que:

La losa presenta una resistencia inferior a la especificada en la ingeniería.

Las vigas presentan una resistencia superior a la especificada en la ingeniería.

La baja resistencia de la losa es acorde con los resultados del ensayo de

carbonatación.

Se nota imprecisión en los resultados obtenidos con el ensayo de esclerometría,

pero esto puede deberse a las causas descritas relacionadas a las condiciones a

garantizar con el ensayo.

12.5 Ensayo End: Ferroscan

• El acero de refuerzo se encuentra acorde a la ingeniería existente, exceptuando las 7 varillas

#8 (Ver Apéndice E) que debía tener la viga, pero que a diferencia fueron #5.

• Para obtener valores de medición fiables con el ensayo de ferroscan se deben cumplir las siguientes condiciones (CONCRELAB, 2018): Superficie de hormigón lisa y plana, hierros de armadura no corridos, armadura paralela a la superficie, hierros de la armadura más o menos perpendicular al sitio de inspección, no interferencias magnéticas ni elementos soldados y las ruedas del escáner limpias. Teniendo en cuenta lo anterior, es importante anotar que dichos factores afectan los resultados.

12.6 Inspección de Elementos Basado en La Aashto (AASHTO, 2015)

Losa en concreto reforzado

El estado de la losa es pobre teniendo en cuenta las patologías encontradas (*Ver Figura 53*), antes de intervenir la estructura se debe realizar tratamiento a los sitios con presencia de eflorescencias y corrosión, escarificando el área afectada.

		Condition	States			
	1	2	3	4		
Defects	GOOD	FAIR	POOR	SEVERE		
Delamination/Spall/ Patched Area (1080)	None.	Delaminated. Spall 1 in. or less deep or 6 in. or less in diameter. Patched area that is sound.	Spall greater than 1 in. deep or greater than 6 in. diameter. Patched area that is unsound or showing distress. Does not warrant structural review.	The condition warrants a structural review to determine the		
Exposed Rebar (1090)	None.	Present without measurable section loss.	measurable section loss but does not warrant structural			
Efflorescence/Rust Staining (1120)	None.	Surface white without build-up or leaching without rust staining.	Heavy build-up with rust staining.	bridge; OR a structural review has been completed and		
Cracking (RC and Other) (1130)	Width less than 0.012 in. or spacing greater than 3.0 ft.	Width 0.012–0.05 in. or spacing of 1.0– 3.0 ft.	Width greater than 0.05 in. or spacing of less than 1 ft.	the defects impact strength or serviceability of the element		
Abrasion/Wear (PSC/RC) (1190)	No abrasion or wearing.	Abrasion or wearing has exposed coarse aggregate but the aggregate remains secure in the concrete.	Coarse aggregate is loose or has popped out of the concrete matrix due to abrasion or wear.	or bridge.		
Damage (7000)	Not applicable.	The element has impact damage. The specific damage caused by the impact has been captured in Condition State 2 under the appropriate material defect entry.	The element has impact damage. The specific damage caused by the impact has been captured in Condition State 3 under the appropriate material defect entry.	The element has impact damage. The specific damage caused by the impact has been captured in Condition State 4 under the appropriate material defect entry.		

Figura 53. Definiciones y condiciones de estado – Losa en concreto reforzado (AASHTO, 2015, págs. 3-6)

Barandas

Las barandas del puente de encuentran en perfecto estado, se evidencia mantenimiento reciente sobre las mismas (*Ver Figura 54*).

		Condition	States		
	1	2	3	4	
Defects	GOOD	FAIR	POOR	SEVERE	
Corrosion (1000)	None.	Freckled rust. Corrosion of the steel has initiated.	Section loss is evident or pack rust is present but does not warrant structural review.	The condition	
Cracking (1010)	None.	Crack that has self- arrested or has been arrested with effective arrest holes, doubling plates, or similar.	Identified crack that is not arrested but does not warrant structural review.	structural review to determine the effect on strength or	
Connection (1020)	Connection is in place and functioning as intended.	Loose fasteners or pack rust without distortion is present but the connection is in place and functioning as intended.	Missing bolts, rivets, or fasteners; broken welds; or pack rust with distortion but does not warrant a structural review.	serviceability of the element or bridge; OR a structural review has been completed and the defects	
Distortion (1900)	None.	Distortion not requiring mitigation or mitigated distortion.	Distortion that requires mitigation that has not been addressed but does not warrant structural review.	impact strength or serviceability of the element or bridge.	
Damage (7000)	Not applicable.	The element has impact damage. The specific damage caused by the impact has been captured in Condition State 2 under the appropriate material defect entry.	The element has impact damage. The specific damage caused by the impact has been captured in Condition State 3 under the appropriate material defect entry.	The element has impact damage. The specific damage caused by the impact has been captured in Condition State 4 under the appropriate material defect entry.	

Figura 54. Definiciones y condiciones de estado – Barandas (AASHTO, 2015, págs. 3-24)

VIGAS

Aunque las patologías encontradas en las vigas no son severas deberán der tratadas antes de intervenir la estructura (Figura 55).

		Condition	States	
	1	2	3	4
Defects	GOOD	FAIR	POOR	SEVERE
Delamination/Spall/ Patched Area (1080)	None.	Delaminated. Spall 1 in. or less deep or 6 in. or less in diameter. Patched area that is sound.	Spall greater than 1 in. deep or greater than 6 in. diameter. Patched area that is unsound or showing distress. Does not warrant structural review.	The condition warrants a structural review to determine the effect on strength or
Exposed Rebar (1090)	None.	Present without measurable section loss.	Present with measurable section loss but does not warrant structural review.	serviceability of the element or bridge; OR a structural review has been
Efflorescence/Rust Staining (1120)	None.	Surface white without build-up or leaching without rust staining.	Heavy build-up with rust staining.	the defects impact strength or serviceability
Cracking (RC and Other) (1130)	Width less than 0.012 in. or spacing greater than 3.0 ft.	Width 0.012-0.05 in. or spacing of 1.0- 3.0 ft.	Width greater than 0.05 in. or spacing of less than 1 ft.	of the element or bridge.
Damage (7000)	Not applicable.	The element has impact damage. The specific damage caused by the impact has been captured in Condition State 2 under the appropriate material defect entry.	The element has impact damage. The specific damage caused by the impact has been captured in Condition State 3 under the appropriate material defect entry.	The element has impact damage. The specific damage caused by the impact has been captured in Condition State 4 under the appropriate material defect entry.

Figura 55. Definiciones y condiciones de estado – Vigas

12.7 Análisis Estructural

- La losa no presenta acartelamiento favoreciendo a la presencia de fisuras por cortante. Al
 calcular el acartelamiento este debe ser de 0.24 m, al no presentar acartelamiento la losa
 debiera ser de este espesor, sin embargo, es de 0.2 m.
- La altura de la viga existente es inferior a lo establecido en la tabla 2.5.2.6.3-1 del CCP-14
 (ASOCIACIÓN COLOMBIANA DE INGENIERÍA SÍSMICA AIS, 2014).
- El análisis estructural se realizó teniendo en cuenta lo encontrado a través de los ensayos de campo, es decir, las condiciones de ingeniería existente luego de realizar los ensayos.
 (Ver Apéndice F).
- El acero existente es inferior al requerido de acuerdo al análisis, motivo por el cual es necesario realizar un reforzamiento del puente. En el Apéndice G, se presenta la ingeniería para llevar a cabo el reforzamiento del mismo.
- De acuerdo al análisis, las vigas exteriores son las vigas más cargadas las cuales requieren un mayor reforzamiento que las vigas interiores, como se observa en el Apéndice G.
- Una vez realizado el reforzamiento estructural se deberá garantizar el curado del concreto hasta alcanzar su resistencia máxima (28 Días), antes de poner en servicio, teniendo en cuenta que estará sometido a cargas vehiculares.

• El uso de conectores de cortante entre la losa existente y el recrecimiento planteado como se indica en los planos estructurales (Ver Apéndice G) es fundamental para garantizar la homogeneidad de trabajo estructural del concreto colocado con el concreto existente, al igual que el uso de los epóxicos correspondientes.

Referencias bibliográficas

- AASHTO. (2011). The manual for bridge evaluation. Washington, DC: AASHTO.
- AASHTO. (2015). Manual for Bridge Element Inspection. Washington DC: AASHTO.
- ACI Comitte 222. (2001). ACI 222 Protection of Metals in Concrete Against Corrosion. Washington: ACI.
- ACI Committe 224. (1993). ACI 224.1R-93 Causes, evaluation and repair of cracks in concrete structures. Washington: ACI.
- ACI COMMITTEE 228. (2013). Nondestructive Test Methods for evaluation of concrete in Structures. EE.UU: American Concrete Institute.
- ALCALDÍA DE LA CALERA. (16 de Julio de 2017). *Información de Municipio*. Obtenido de http://www.lacalera-cundinamarca.gov.co/MiMunicipio/Paginas/Informacion-del-Municipio.aspx
- ASOCIACIÓN COLOMBIANA DE INGENIERÍA SÍSMICA AIS. (2014). Norma colombiana de diseño de puentes CCP-14. Bogotá D.C: AIS.
- ASTM. (2013). The manual for bridge evaluation. En A. a. officials. Washington: ASTM.
- ASTM INTERNATIONAL. (2013). ASTM C876: Standar Test Method for crrosión Potentials of Uncoated reinforcing Steel in Concrete. EE.UU: ASTM.
- BBVA. (23 de Septiembre de 2018). *Situación automotriz 2018 Colombia*. Obtenido de https://www.bbvaresearch.com/wp-content/uploads/2018/03/SituacionAutomotriz2018.pdf

- CAÑADA SORIANO, M., & ROYO PASTOR, R. (2010). Termografía Infraroja Nivel II.

 Madrid: FC Editorial.
- CANDEBAT SÁNCHEZ, D. (28 de 11 de 2017). *EBSCOhost*. Obtenido de Algunas reflexiones acerca de la rehabilitación estructural sismoresistente de puentes: http://web.b.ebscohost.com/ehost/detail/detail?vid=6&sid=f2ef0052-24b1-44ac-a848-b6c9c44a760e%40sessionmgr104&bdata=Jmxhbmc9ZXMmc2l0ZT1laG9zdC1saXZl#A N=122000580&db=fua
- CHÁVEZ ULLOA, E., PÉREZ LÓPEZ, T., & Et. All. (08 de 02 de 2017). *EBSCO HOST*.

 Obtenido de Carbonatación de Concreto en atmósfera natural y cámara de carbonatación acelerada: http://web.a.ebscohost.com/ehost/pdfviewer/pdfviewer?vid=4&sid=f8c60d8d-0b77-4766-9842-ff1ba71bbc06%40sessionmgr4008
- CONCRELAB. (2018). Informe ensayo de esclerometría. Bogotá: CONCRELAB.
- CONCRELAB. (2018). Informe de ensayo de Ferroscan. Bogotá DC: Concrelab.
- CONSTRUDATA. (01 de 08 de 2017). Intervenga las estructuras con ensayos no destructivos.

 Obtenido de http://www.construdata.com/BancoConocimiento/I/intervenga_las_estructuras_con_ensa yos_no_destructivos_-
- _julio_2011/intervenga_las_estructuras_con_ensayos_no_destructivos_-_julio_2011.asp CSI BRIDGE. (2016). MANUAL DE USO DE CSI BRIDGE. España: CSI BRIDGE.
- CSI COMPUTERS & STRUCTURES. (s.f.). CSI Bridge. {Software}, (Versión 14). Obtenido de https://www.csiamerica.com/products/csibridge
- CUARTAS OSPINA, J. L., & RIVEROS JEREZ, C. A. (06 de Julio de 2017). *EBSCOhost*.

 Obtenido de http://web.a.ebscohost.com/ehost/detail/detail?vid=2&sid=1f9117a8-3c83-

4848-9275-

ea193ef342ee%40sessionmgr4008&bdata=Jmxhbmc9ZXMmc2l0ZT1laG9zdC1saXZl#A N=96305882&db=fua

- CUARTAS OSPINA, J. L., & RIVEROS JEREZ, C. A. (27 de 11 de 2017). *EBSCOhost*. Obtenido de Detección de daños en puentes de concreto reforzado utilizando algoritmos de reconocimiento de patrones estadísticos autoregresivos: http://web.b.ebscohost.com/ehost/detail/detail?vid=2&sid=ac518c84-0246-4911-b1f3-5cb8479c3a0a%40sessionmgr102&bdata=Jmxhbmc9ZXMmc2l0ZT1laG9zdC1saXZl#A N=96305882&db=fua
- DELGADO ESTRADA, F., & GUERRERO BENAVIDES, J. (2015). Correlación entre el número de rebote (NTC 3692) y la resistencia a la compresión (NTC 673) en cilindros de concreto. San Juan de Pasto: Tesis Universidad de Nariño.
- DÍAZ MÁSMELA, O. A. (2017). *Guía de normas y ensayos patología de estructuras*. Bucaramanga: Curso de patología estructural Universidad Industrial de Santander.
- DÍAZ MASMELA, O. A. (2017). Guía para la realización de patología de puentes en concreto reforzado. Bucaramanga: Curso Patología estructural Universidad Industrial de Santander.
- GOOGLE EARTH. (18 de 07 de 2018). *Ubicación del puente en la calera*. Obtenido de Google Earth:

https://earth.google.com/web/search/Carrera+9+%232b,+La+Calera,+Cundinamarca/@4.72139581,-

73.96683582,2683.18315617a,319.29159569d,35.0000015y,360h,0t,0r/data=CigiJgokCb FMY7rr7xJAEfLmDlkD1RJAGYv-zjS9fFLAIUneEpgEf1LA

- GOOGLE MAPS. (16 de Julio de 2017). *Ubicación la Calera, Cundinamarca*. Obtenido de https://www.google.com.co/maps/place/La+Calera,+Cundinamarca/@4.7232307,-73.9588894,16z/data=!4m5!3m4!1s0x8e3f8e39a6d5be41:0xe1bec6f8812cb910!8m2!3d4.720521!4d-73.968631
- GOOGLE MAPS. (18 de 07 de 2018). *Mapa de Ubicación del Puente*. Obtenido de Google Maps: https://www.google.com/maps/@4.722171,-73.9678298,17z
- HAMEED, R., KHAN, Q., TURATSINZE, A., & SIDDIQI, Z. (05 de 11 de 2018). EBSCOHOST.

 Obtenido de COMPARISON OF METALLIC FIBERS AND STEEL BARS AS REINFORCEMENT IN IMPROVING ENERGY DISSIPATION CAPACITY OF CONCRETE.: http://web.a.ebscohost.com/ehost/detail/detail?vid=22&sid=30073549-6eac-4adc-ab5f-0227eee9cb79%40sdc-v-sessmgr05&bdata=Jmxhbmc9ZXMmc2l0ZT1laG9zdC1saXZl#AN=90356371&db=a9h
- ICONTEC. (1994). NTC 3658: Ingeniería Civil y Arquitectura, método para la obtención y ensayo de núcleos extraídos y vigas de concreto aserradas. Bogotá D.C.: Instituto Colombiano de

Normas Técnicas y Certificación (ICONTEC).

- ICONTEC. (1995). NTC 3692: Ingeniería civil y arquitectura, Método de ensayo para medir el número de rebote del concreto endurecido. Bogotá D.C.: Instituto Colombiano de Normas Técnicas y Certificación (ICONTEC).
- ICONTEC. (1997). NTC 4040 procedimiento de soldadura para el acero de refuerzo. En *Norma técnica colombiana*. Bogotá: ICONTEC.
- INSTITUTO NACIONAL DE VÍAS . (2006). Manual para la inspección visual de puentes y pontones. Bogota D.C.: Grupo Técnico Convenio 0587-03.

- INSTITUTO NACIONAL DE VÍAS. (2006). Manual para la inspección visual de puentes y pontones. Bogotá D.C.: Grupo Técnico Convenio 0587-03.
- INTERNATIONAL CONCRETE REPAIR INSTITUTE (ICRI). (2008). 310.1R-2008 Guía para la preparación de la superficie para la reparación de concreto deteriorado que resulta por la corrosión del acero de refuerzo. ICRI.
- INVIAS. (2014). Norma colombiana de diseño de puentes CCP14. Bogota DC: INVIAS.
- INVIAS, Instituto Nacional de Vias. (16 de Julio de 2017). *Mapa de Carreteras*. Obtenido de Puentes y Pontones: http://hermes.invias.gov.co/carreteras/
- INVÍAS, Instituto Nacional de Vías. (25 de Enero de 2018). *INVÍAS actualiza la norma colombiana de diseño de puentes*. Obtenido de https://www.invias.gov.co/index.php/sala/noticias/2068-invias-actualiza-la-norma-colombiana-de-diseno-de-puentes
- LÓPEZ RODRÍGUEZ, F., RODRÍGUEZ RODRÍGUEZ, V., & Et all. (2004). *Manual de patología de la edificación* (Vol. Tomo II). Madrid: Universidad Politécnica de Madrid.
- LU, Y.-Y., HU, J.-Y., LI, S., & TANG, W.-s. (11 de 06 de 2018). *EBSCOhost*. Obtenido de Active and passive protection of steel reinforcement in concrete column using carbon fibre reinforced polymer against corrosion: http://web.a.ebscohost.com/ehost/detail/detail?vid=6&sid=30073549-6eac-4adc-ab5f-0227eee9cb79%40sdc-v-
- sessmgr05&bdata=Jmxhbmc9ZXMmc2l0ZT1laG9zdC1saXZl#AN=129847104&db=a9h MUÑOZ DÍAZ, E. E. (2012). *Ingeniería de Puentes*. Bogotá D.C: Red de editoriales universitarias de Ausjal.

- MUÑOZ DÍAZ, E. E. (2012). *Ingeniería de Puentes* (Vol. Tomo I). Bogotá, D.C., Colombia: Editorial Pontificia Universidad Javerian.
- OLVAN, F. F. (2014). *Manual de Patología y Rehabilitación de Edificios*. Burgos, España: Servicio de publicaciones e Imagen Institucional.
- PEÑUELA BEJARANO, E., & SOSSA ESPITIA, J. (2015). Patologías mecánicas presentes en los puentes Vehiculares de la localidad de Fontibón. Bogotá: Universidad Católica de Colombia.
- REAL ACADEMIA DE LA LENGUA ESPAÑOLA. (16 de Julio de 2017). *RAE.es*. Obtenido de http://dle.rae.es/?id=SAIV5kB
- SECRETARIA DE OBRAS PÚBLICAS. (2008). Estudio previos contrato COP 293 Ampliación y mantenimiento de puente en la calle 9 entre la carrera 2A y 2B del municipio La Calera. La Calera: SECOP.
- SEOK, J., GWON, Y., & HYUN, D. (05 de 11 de 2018). *EL SEVIER*. Obtenido de Use of steel fibers as transverse reinforcement in diagonally reinforced coupling beams with normal-and high-strength concrete: https://www.sciencedirect.com/science/article/abs/pii/S095006181832004X
- SIKA. (2014). SIKA limpiador new: Limpiador de superficies de hormigón. Colombia: SIKA.
- SIKA. (2017). Hoja técnica de producto: SIKADUR. Colombia: SIKA.
- SIKA. (2017). REFORZAMIENTO DE ESTRUCTURAS DE CONCRETO. BOGOTÁ: SIKA.
- SIKA. (2017). SIKA LATEX: Resina para mejorar la adherencia y la calidad de morteros cementosos. Colombia: SIKA.
- TREVIÑO TREVIÑO, E. L. (1998). Patología de las estructuras de Concreto Reforzado.

 Monterrey, México: Universidad Autonoma de Nuevo Leon.

ZANNI, E. (2008). *Patología de la construcción y restauro de obras de arquitectura*. Argentina: Editorial Brujas.

Apéndices

Apéndice A: Códigos de registros y listado de convenciones y unidades de cuantificación de daños



CÓDIGOS DE REGISTROS Y LISTADO DE CONVENCIONES Y UNIDADES DE CUANTIFICACIÓN DE DAÑOS

(1) TIP	O DE PUENTE	JUNTA	S DE EXPANSIÓN		DAÑOS	EN ESTRUCTURAS DE CONCR	ЕТО
Subest	ructuración Transversal	Localiz	ación (En el sentido del a	bscisa	Daños p	oor diseño	
01	Losa sobre las vigas	Е	Entrada del puente	-	FIF	Fisuras por flexión	m
02	Losa simplemente apoyada	S	Salida del puente	-	FIC	Fisuras por cortante	m
03	Viga cajón	- 1	Intermedias	-	FIT	Fisuras por torsión	m
04	Armadura superior	Daños	en el sello		AL	Aplastamiento local	Und
	Armadura inferior	OB	Obstrucción del sello	m	AS	Asentamientos	Und
06	Arco superior	RU	Ruptura del sello	m	VO	Volcamiento	Und
07	Arco inferior	AUS	Ausencia del sello	m	VI	Vibración excesiva	-
Subest	ructuración Longitudinal	Daños	en los perfiles		Daños p	oor construcción	
01	Vigas simplemente apoyada	SOL	Agrietamiento soldaduras	m	SE	Segregación	m^2
02	Vigas continuas	AUA	Ausencia de anclajes	m	НО	Hormigueros	m^2
03	Puente colgante	PD	Perfiles defectuosos	m	FIR	Fisuras por retracción	m^2
04	Puente atirantado	PS	Perfiles sueltos	m	JF	Juntas frías inadecuadas	m^2
05	Pórtico	Daños	en los guardacantos		RE	Recubrimiento inadecuado	m ²
06	Box culvert		Desgaste	m	FYΔ	Exposición del acero de refuerz	m ²
	PERFICIE DEL PUENTE		Desportillamiento	m		lurante el funcionamiento	""
00	Otra		Fisuramiento	m	IN	Infiltración	m²
			IES Y BORDILLOS	111			
01	Asfalto				EF	Eflorescencias	m ²
02	Concreto		ación (En el sentido del a	abscisa	CAR		m ²
03	Afirmado	CD	Costado derecho	-	COA	Corrosión de la armadura	m/m²
04	Metálica	CI	Costado izquierdo	-	CTC	Contaminación del concreto	m^2
(3) JUN	ITAS DE EXPANSIÓN	Daños	típicos		IMP	Fallas por impacto	m^2
00	Otra	Despo	ortillamiento	m	SOC	Socavación	m^2
01	Juntas abiertas	Acero	de refuerzo expuesto	m	DAÑOS	EN ESTRUCTURAS METÁLICA:	S
02	Juntas selladas	Dime	nsiones insuficientes	m	COL	Corrosión leve	Und
03	Placa dentada	BARAN	IDAS		COM	Corrosión media	Und
04	Placa deslizante	Localiz	zación (En el sentido del a	bscisa	cos	Corrosión severa	Und
(4) BAF	RANDAS	CD	Costado derecho	-	PI	Pintura deteriorada	%
00	Otra	CI	Costado izquierdo	-	Daños e	en cables y pendolones	
01	Mampostería	Daños	en la pintura		PRC	Pérdida de recubrimiento	m
02	Concreto	DE	Delaminación	m	TEC	Falta de tensión	Und
03	Metálica	AUP	Ausencia de pintura	m	FIA	Fisuras en los alambres	Und
04	Pasamanos metálicos,	DT	Deterioro	m	FIM	Fisuras en los muertos	Und
04	postes en concreto	Daños	en la postes		CTA	Contaminación en zona de ancl	Und
(5) ALE	TAS Y ESTRIBOS	FRP	Fracturamiento	m	Daños e	en perfiles metálicos, torres y	
01	Mampostería	AUP	Ausencia de postes	m	miembro	os de armaduras	
02	Concreto ciclópeo	GIV	Golpes por impacto	m	PL	Pandeo local	Und
03	Concreto reforzado		en pasamanos		PGL	Pandeo general lateral	Und
04	Acero		Corrosión	m	FIV	Fisuras en vigas	Und
05	Acero y concreto	AUE	Ausencia de elementos	m	IMP	Fallas por impacto	Und
06	Tierra armada	GIV	Golpes por impacto	m	DX	Deflexión excesiva	Und



06 Perfiles T 07 Tubo circular

Tubo rectangular

CÓDIGOS DE REGISTROS Y LISTADO DE CONVENCIONES Y UNIDADES DE **CUANTIFICACIÓN DE DAÑOS**

_					
			II . ~	. /	
(6)	PIL		ll	IZACIÓN	
<u>ر</u> ا	00	Otra	ll	zación (En el sentido del a	bscisa
Ľ	01	1 Columna	CD	Costado derecho	-
Ľ	02	2 o más columnas	CI	Costado izquierdo	-
<u>ا</u> ا	03	Torre metálica	E	Entrada al puente	-
Ľ	04	mástil	S	Salida del puente	-
(7)	SEC	CCIÓN DE PILAS	- 1	Intermedias	-
[00	Otra	Daños	típicos	
	01	Circular	IL	llegibilidad	Und
	02	Rectangular	RR	Retroreflexividad deficiente	Und
(8)	LOS	SAS	FA	Mala adherencia tablero -	Und
•	00	Otra		símbolos	
•	01	Prefabricadas	INV	Invisibilidad	Und
•	02	Prelosa + Losa fundida in S	AE	Daños por agentes extern	Und
•	03	Celulares	DD	Demarcaciones defectuos	m
•	04	Macizas	DREN/	AJES	
(9)	VIG	AS	Localiz	zación (En el sentido del a	bscisa
Ì	00	Otra		Costado derecho	
•	01	Reforzadas	CI	Costado izquierdo	_
•	02	Preesforzadas	Daños	típicos	
•	03	Postensadas		namiento	Und
(10) SE	CCIÓN DE LAS VIGAS	Auser		Und
ľ	00	Otra	Longi	tud insuficiente	Und
•	01	Sección constante	APOYO		
•	02	Sección variable		típicos	
(11	-	POS DE APOYOS	#	azamiento	Und
` -	00	Otros		omposición	Und
•	01	Balancín		mación	Und
•	02	Rodillos			0110
•	03	Placas en neopreno			
,	04	Apoyo fijo		Nota:	
,	05	Basculante		* Unidades de cuantificació	n: m = r
111		RFILES METÁLICOS		afectadas por el daño; % de	
(12	00	Otros		* Los daños diferentes a los	
,	01	Perfil W, M		formato con la letra "Z" y se	-
-	02	Perfil S		* Para mayores detalles re	
-	02			pontones.	visai Eli
,		Perfil C, o canal		pontones.	
,	04	Perfil L, ángulo sencillo			
l	05	Perfil 2L, ángulo doble	I		

Daños en las conexiones

AUC Ausencia de conectores

EX Excentricidades

TP Fallas por tensión en la platina

AP Aplastamiento de la platina

DG Fallas por desgarramiento

Falla por corte en el conector

BQ Falla por bloque de cortante

SOL Rotura de la soldadura

sión: m = metros lineales; Und = número de unidades de elementos afectados.

los especificados en este listado, se deben registrar en el se deberán especificar en el campo de observaciones.

revisar el manual de inspección visual de puentes y

Apéndice B. Formato para inspección visual de puentes y pontones

INVIAS	FORMA	ΓΟ PARA INSPEC	CIÓN VISUAL DE PUENTES	S Y PONTONES
EVALUACIÓN DEL ESTADO	ACTUAL DE LA OBF	RAS DEL CONTRATO NO). DE	
REGIONAL		_	FECHA	
. ——			T E O I A	
LEVANTÓ				HOJADE
NOMBRE DE LA VÍA			CÓDIGO DE LA VÍA	VÍA EN CONCESIÓN
			MANTENIMIENTO INTEGRAL	GRUPO ADM VIAL
PR. DEL PUENTE				
NOMBRE DEL PUENTE				IONES GENERALES
OBSTACULO QUE SALVA		ESVIAJAMIENTO	LONGITUD TOTAL	No. DE LUCES
TIPO DE PUENTE (1)	LONGITUDINAL	TRANSVERSAL	ANCHO	GALIBO
ELEMENTO		REGISTRO D	DE DAÑOS	OBSERVACIONES
SUPERFICIE DEL	Dava da 200 01 00	dilia an aigu la a faunasta a gat	aldo sido o mora lo contonio atendo	
PUENTE Y ACCESOS. Tipo (2)	pavimentos	diligenciar los lormalos esi	ablecidos para levantamientos de	
	Sello	Perfiles	Guardacantos Otros	
Tipo (3)		1 1 1		┪
JUNTAS DE EXPANSIÓN Tipo (3) ANDENES / BORDILLOS Dimensiones BARANDAS	Desportillamiento	Acero expuesto [Dimensión insuficiente Otros	
Dimensiones				
	Pintura	Postes	Pasamanos Otros	
Material (4)				
Material (4)	Verificar la existencia	de elementos de iluminacion	ón y el funcionamiento de los mismos	
SEÑALIZACIÓN	Horizontal	Vertical	Reductores Otros	_
DRENAJES	Taponamiento	Ausencia	Log. Insuficiente Otros	
< ALETAS	Diseño	Construcción	Funcionamiento Otros	
Material (5)				
ESTRIBOS	Diseño	Construcción	Funcionamiento Otros	
PILAS PILAS PILO (6) Sección (7)	Diseño	Construcción	Funcionamiento Otros	
- I ipo (o) (i)				
PLOSA	Diseño	Construcción	Funcionamiento Otros	_
Tipo (8)	Dia a # a	0	Funcion animate Office	
VIGAS Tipo (9) Sección (10)	Diseño	Construcción	Funcionamiento Otros	-
E	Diseño	Construcción	Funcionamiento Otros	+
RIOSTRAS		3333 4001011		╡
APOYOS	Desplazamiento	Descomposición	Deformación Otros	
LOSA Tipo (8) VIGAS Tipo (9) Sección (10) RIOSTRAS APOYOS Tipo (11) ARCOS (CONCRETO /				
DI .	Diseño	Construcción	Funcionamiento Otros	
MAMPOSTERIA) Material	 			
☑ ARCOS METÁLICOS	Arco izquierdo	Arco derecho A	Arriostramiento lateral Otros	—
E DEDEILES METÁLICOS	Vigas	Largueros	Diafragmas Otros	
Tipo (12)	Vigas	Larqueros	Diafragmas Otros	_
ARMADURAS	Cordones	Montantes	Diagonales Otros	
E Tipo (13)	- CONTROLLED	Montanto	Diagonales Stos	
PERFILES METÁLICOS Tipo (12) ARMADURAS Tipo (13) CONEXIONES CABLE / PENDOLONES / TORRES	Con soldadura	Con conectores	Con pasadores Otros	
CABLE / PENDOLONES /	Cables	Pendolones	Torres Otros	
TORRES		1 01103101103	10.100	╡
ACCESO PEATONAL	Peldaños / Losa	Viga gualdera	Barandas Otros	
(ESCALERA/RAMPA) Tipo				
OTD OO ELELIEVEDO				
Tipo				
CAUCE				
PUENTE EN GENERAL				

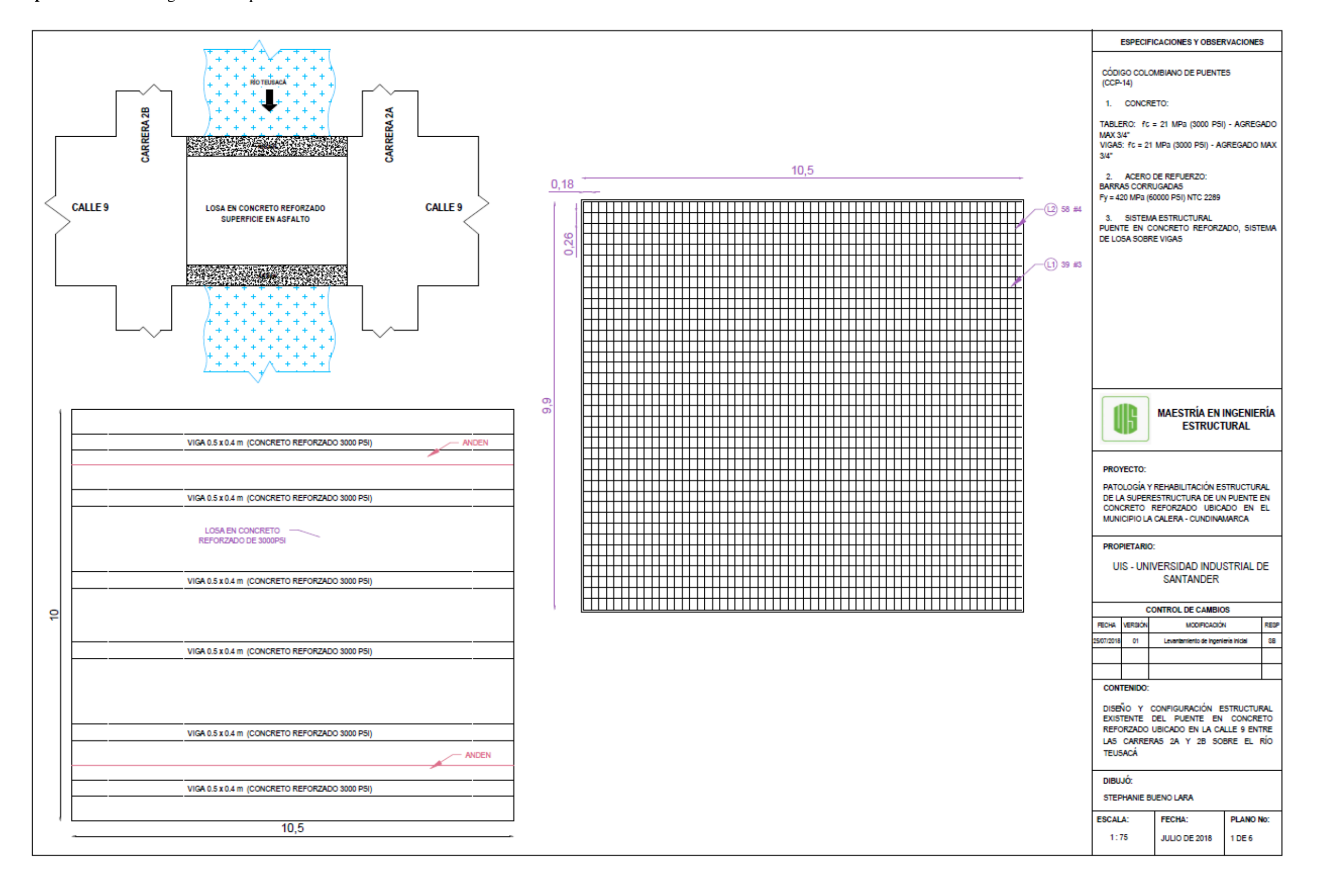
Apéndice C. Formato Elaboración de Esquemas

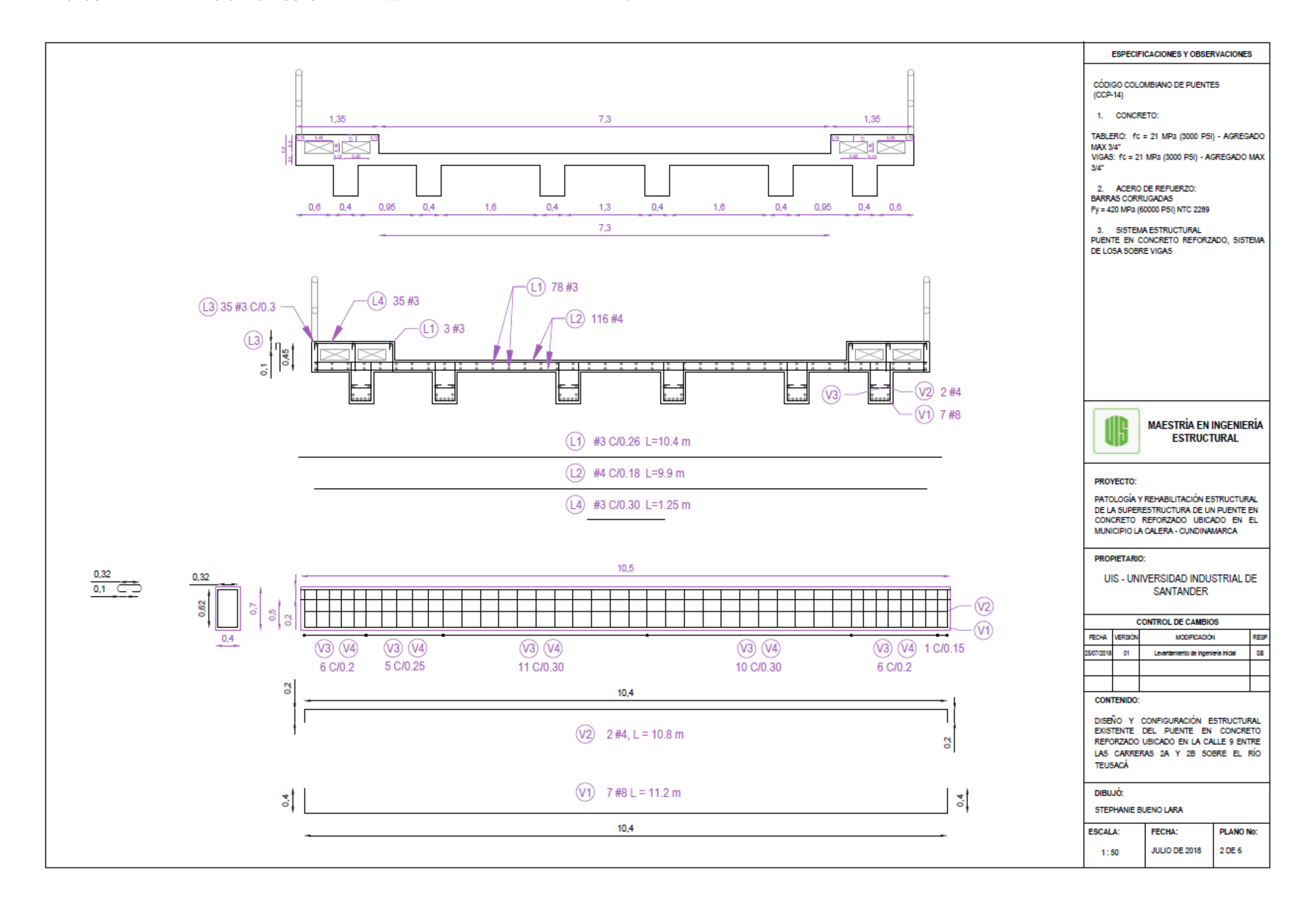
INVIAS	FORMATO PARA INSPECCIÓ E	N VISUAL DE PUENTES SQUEMAS	Y PONTONES
EVALUACIÓN DEL EST REGIONAL LEVANTÓ	ADO ACTUAL DE LA OBRAS DEL CONTRATO NO.	DE DE	HOJA DE
	ESQUEMA	as	

Apéndice D. Formato de toma de mediciones en campo

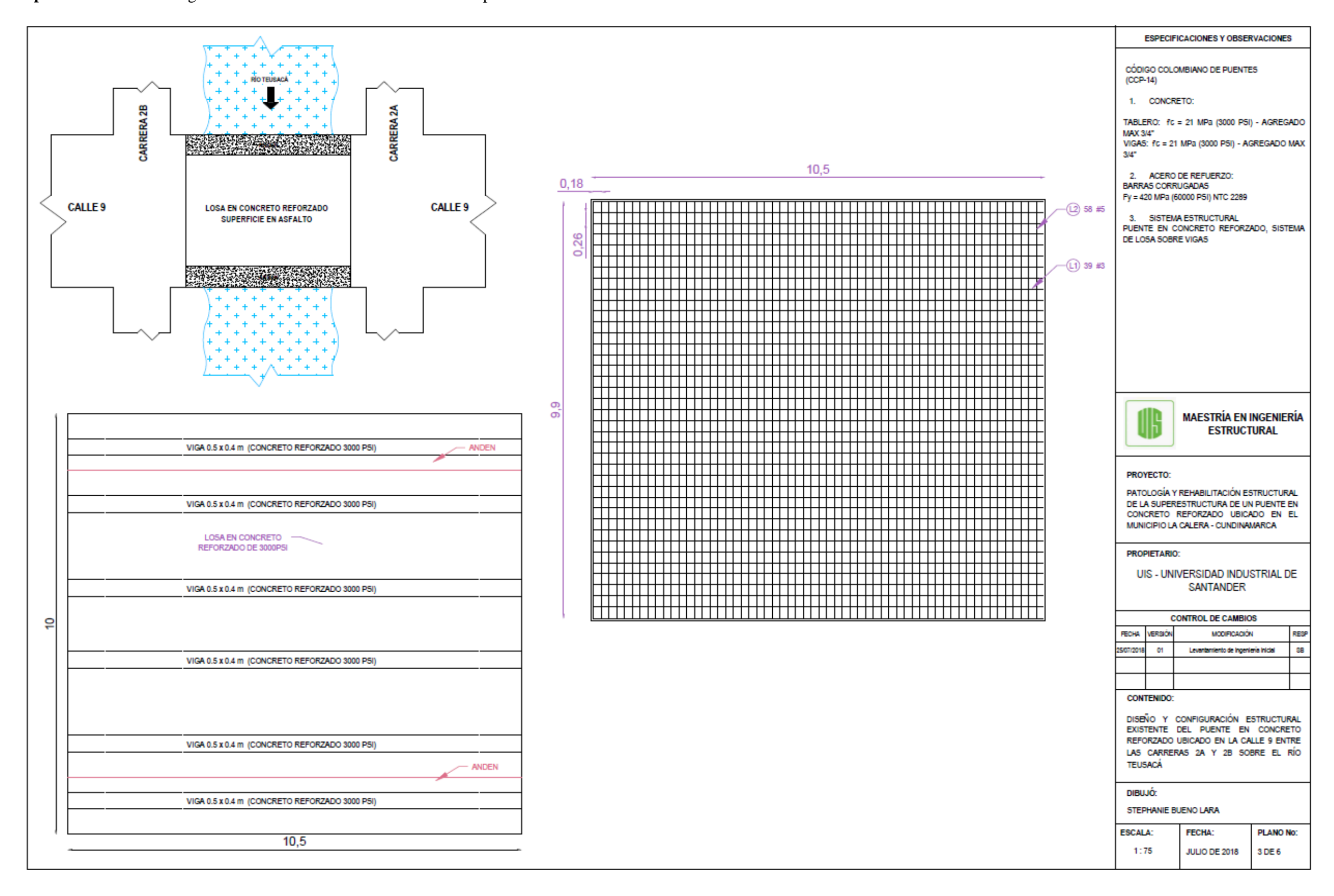
Universidad Industrial de Santander		FORM	IATO DE TOMA DE ME	DICIONES	EN CAMPO	UIS-FO-01 Versión 0
						14/07/2017
					Regist	ro No
_					FOTO DE LA ESTRUCTUR	
Depar	tamento					
Ciudad / M	unicipio					
	-					
ÜÜ	icación:					
			DETALLE DIMENSIONES	S DEL PUEN	TE	
Longitu	d		ESQUEMA	DE UBICACI	ÓN DE ELEMENTOS (EJE X)	
Ancho de Ca	alzada					
No de Cari						
Ancho de C	Carril					
Anden Dere	echo					
Anden Izqui	ierdo					
Diámetro dre	enajes					
Dilataciones	Cada					
No. De bara	ndas					
Alto Barar	nda					
No. De Bor	dillos					
Alto bord						
Ancho de bo	ordillo					
Espesor Rod	ladura					
Número de	Vigas		Ancho acartelamiento		Posición viga 5	1
Altura de libr			Posición Bordillo 1		Posición viga 6	
Ancho de la			Posición Bordillo 2		Posición vigueta 1	
			Posición Bordillo 3		_	
Longitud libre V			Posición Baranda 1		Posición vigueta 2 Posición vigueta 3	
Separación de			Posición Baranda 1 Posición Baranda 2		Posición vigueta 3 Posición vigueta 4	
					_	
Ancho de Vi			Posición viga 1		Posición vigueta 5	
Alto de Vig			Posición viga 2		-	-
Largo de vig			Posición viga 3		-	-
Altura Pla	ica		Posición viga 4		-	-

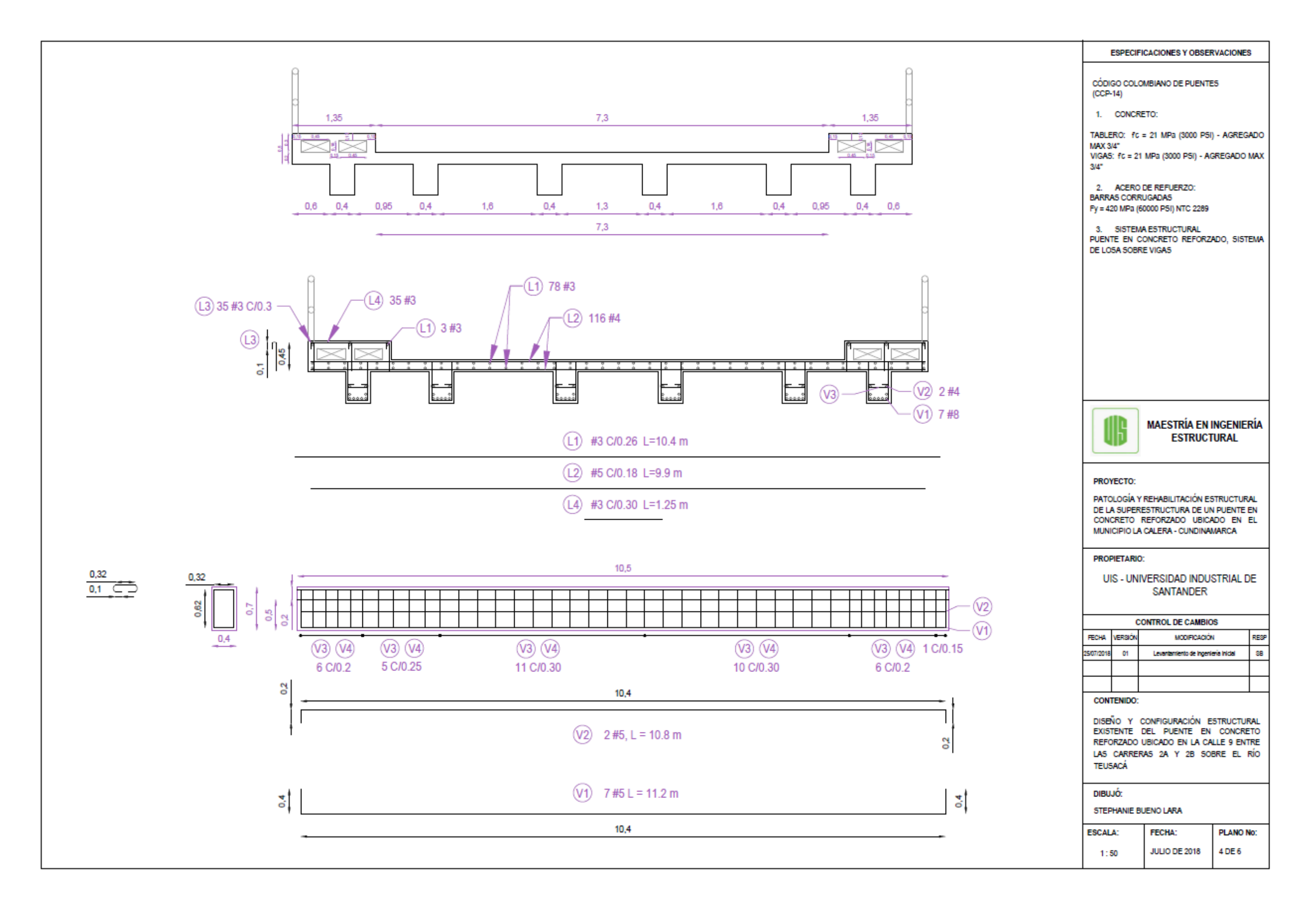
Apéndice E. Plano ingeniería del puente existente



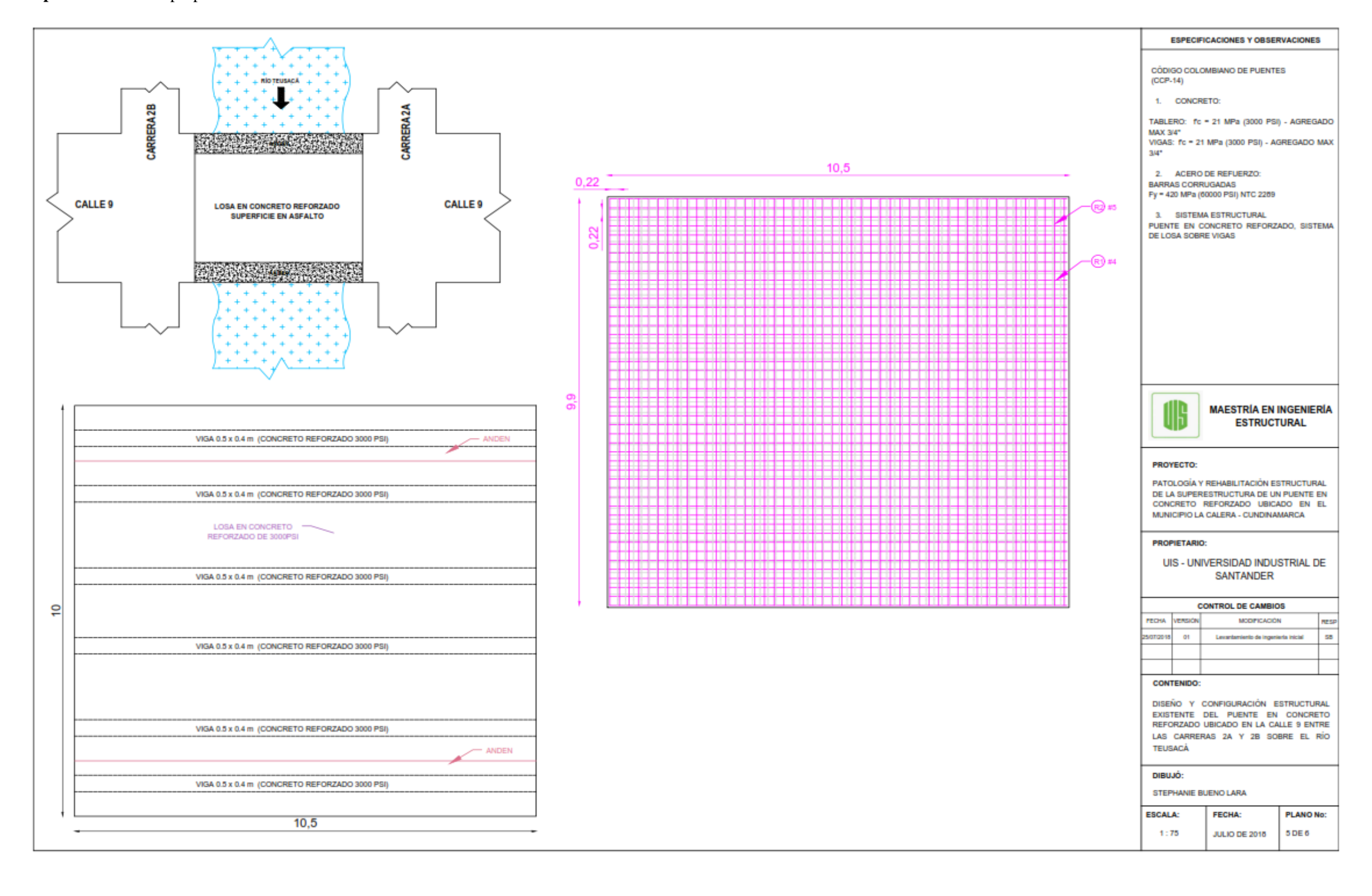


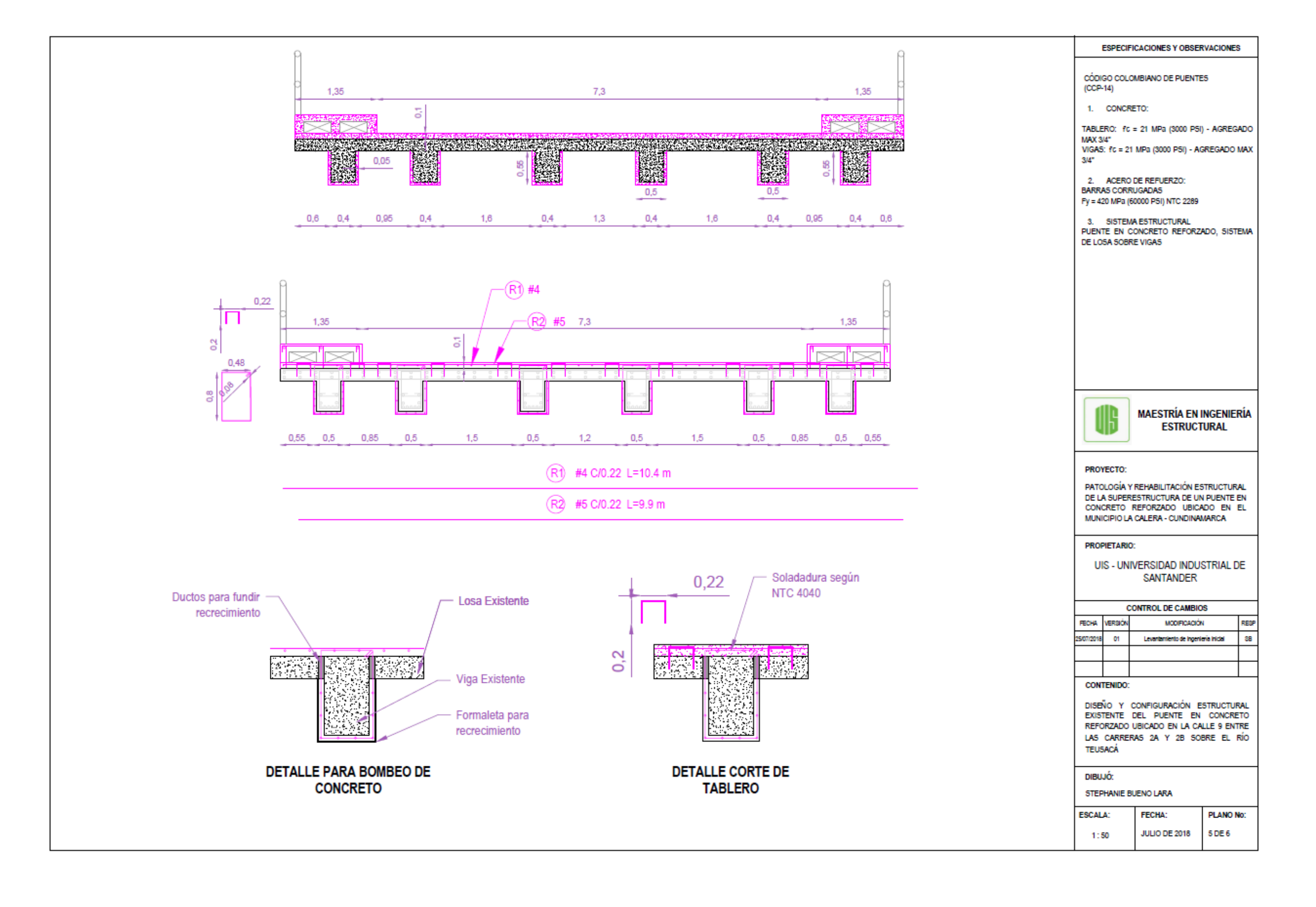
Apéndice F. Plano de ingeniería actualizada a lo encontrado en campo





Apéndice G. Plano propuesta de reforzamiento





Apéndice H. Solicitud en secretaria de planeación de elaboración de ensayos End (incluye PMT)

Alcaldia Municipal La Calera Bogotá D.C, 26 de Julio de 2018 HORA: RADICADO: Señores: NOMBRE: SECRETARÍA DE PLANEACIÓN Atn: Arq. Luis Eduardo Rodríguez Montero Secretario de Planeación Asunto: Solicitud de permiso para estudio de Patología Estructural Cordial saludo, Respetuosamente les solicito, permiso para poder llevar a cabo el día 27 de Julio de 2018 un estudio de "Patología Estructural", por motivo del trabajo de grado de Maestría de la Universidad Industrial de Santander; para dicha solicitud se anexa: 1. Comunicado de la Universidad Industrial de Santander dando constancia de los estudios en 2. Plan de manejo de tráfico que incluye la descripción de los trabajos a realizar. Agradezco la atención brindada, esperando una respuesta positiva al respecto. Cordialmente. Ingeniera Civil Especialista en Gerencia e Interventoria Calle 77B No 129-11 Bogotá, DC. Parque central de Occidente Torre 6 Apto 1401 Tel: 300 529 0045





PLAN DE MANEJO DE TRÁNSITO

ESTUDIO DE PATOLOGÍA ESTRUCTURAL

Universidad Industrial de Santander Maestría de Ingeniería estructural

Tabla de contenido

1.	OB.	JETIV	OS	2
	1.1.	OB	JETIVO GENERAL	2
	1.2.	OB	JETIVOS ESPECÍFICOS	2
2.	ZO	NA DE	E INFLUENCIA	2
3.	CAI	RACT	ERÍSTICAS DEL ESTUDIO	2
	3.1.	EQ	UIPOS A UTILIZAR	2
	3.2.	PR	OCEDIMIENTO	3
	3.2.	1.	INSPECCIÓN VISUAL Y TOMA DE MEDIDAS	3
	3.2.	2.	ENSAYO CARBONATACIÓN	3
	3.2.	3.	ENSAYO ESCLEROMETRÍA	3
	3.2.	4.	ENSAYO DE TOMA DE NÚCLEOS	3
	3.2.	5.	REPARACIONES	3
4.	DIS	EÑO	E IMPLEMENTACIÓN DEL PMT	4
	4.1.	DEI	IMITACIÓN DEL ÁREA PARA REALIZAR LOS ENSAYOS	4
	4.2.	CO	NTROL DE TRÁFICO PARA LA TOMA DE MEDIDAS	4

1. OBJETIVOS

1.1. OBJETIVO GENERAL

Disminuir el impacto generado por estudio de patología estructural del puente ubicado en la calle 9 entre las carreras 2A y 2B, con el propósito de brindar un ambiente seguro, ordenado, ágil y cómodo a los conductores, pasajeros, peatones y vecinos del lugar, bajo el cumplimiento de las normas establecidas para la regulación de tránsito.

1.2. OBJETIVOS ESPECÍFICOS

- Evitar la restricción y obstrucción del flujo vehicular y peatonal.
- Procurar la seguridad e integridad de los usuarios, peatones y trabajadores.
- Ofrecer a los usuarios una señalización clara y de fácil interpretación, que permita la toma de decisiones de manera oportuna.

2. ZONA DE INFLUENCIA

Área a intervenir: Puente ubicado en la Calle 9 entre carreras 2A y 2B



Imagen 1. Zona del puente a intervenir

3. CARACTERÍSTICAS DEL ESTUDIO

Fecha de la intervención: 27 de Julio de 2018.

Estudio: Trabajo de grado maestría en ingeniería estructural de la Universidad Industrial de Santander. Tema: Estudio de patología y rehabilitación de la superestructura de un puente en concreto reforzado

3.1. EQUIPOS A UTILIZAR

- Cámara fotográfica
- Lupa
- Cinta métrica

- Andamios / Escalera
- Esclerómetro
- Fenolftaleina

- Fisurometro de bolsillo
- Linterna
- Pintura
- Martillo y cincel
- Saca núcleos

- Cinta de Seguridad
- Paleta de control de tráfico
- Cemento
- Arena

3.2. PROCEDIMIENTO

La inspección del puente se llevará a cabo a través de los ítems descritos a continuación.

3.2.1. INSPECCIÓN VISUAL Y TOMA DE MEDIDAS

Se realizará la toma de medidas de las siguientes partes del puente:

Ancho de Calzada
 Longitud del puente
 Ancho de Anden
 Diámetro de drenajes
 Ancho de Carril
 Altura de Placa
 Carpeta de rodadura
 Litto de la baranda
 Dimensiones de bordillo
 Dimensiones de Viga
 Dimensione Vigueta

Para la inspección visual se revisarán los elementos descritos anteriormente y se registrará a través de fotografías los defectos encontrados.

3.2.2. ENSAYO CARBONATACIÓN

Aplicación de un químico llamado fenolítaleína sobre la superficie de concreto, con el fin de determinar el potencial de corrosión existente. No afecta la estructura, si existe potencial de corrosión el químico tomará una tonalidad rosa que posteriormente podrá se retirada con agua.

3.2.3. ENSAYO ESCLEROMETRÍA

Ensayo no destructivo para determinar la resistencia del concreto a través de un martillo de rebote. La lectura de la resistencia queda registrada en el equipo, no dejando marca alguna sobre la superficie.

3.2.4. ENSAYO DE TOMA DE NÚCLEOS

Ensayo semi-destructivo, consiste en la toma de muestras de cilindro de concreto endurecido de la estructura de análisis a través de un taladro. Los especímenes obtenidos se usarán para la determinación de la resistencia a la compresión del concreto, motivo por el cual estas muestras no pueden contener acero reforzado

3.2.5. REPARACIONES

Las superficies que sean afectadas por los ensayos realizados (Todas son de tipo superficial) serán reparadas, la estructura quedará en perfectas condiciones una vez se hayan terminados los trabajos.

4. DISEÑO E IMPLEMENTACIÓN DEL PMT

4.1. DELIMITACIÓN DEL ÁREA PARA REALIZAR LOS ENSAYOS

Los ensayos descritos en el capítulo tres se llevarán a cabo en la parte inferior del puente, por lo que no se verá afectado el tráfico vehicular ni peatonal, sin embargo, el área de trabajo donde se instalarán los andamios será delimitada a través de una cinta seguridad con el fin de evitar cualquier incidente.

4.2. CONTROL DE TRÁFICO PARA LA TOMA DE MEDIDAS

Para la toma de medidas del puente, como por ejemplo el ancho de calzada, se podrá obstruir el paso vehicular y peatonal por breves instantes, por lo cual se contará con el apoyo de dos paleteros que ayudarán a regular el tráfico para evitar incidentes.

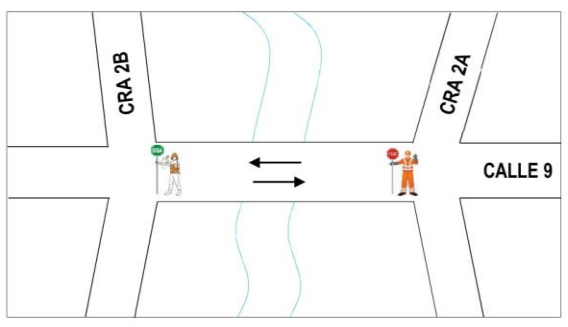


Imagen 2: medidas para control de tráfico



Bucaramanga, 18 de julio de 2018

Señores CONCRELAB Atn: Dra Lina María Hernández Coordinadora Comercial Bogotá

Asunto: Constancia del programa de Maestría de Ingeniería Estructural

Cordial Saludo.

La Universidad Industrial de Santander (UIS) certifica que la alumna *Stephanie Andrea Bueno Lara,* se encuentra cursando el programa de Maestría en Ingeniería Estructural y a la fecha, tiene matriculado y está desarrollando su trabajo de grado consistente en:

"Patología y rehabilitación estructural de un puente en concreto reforzado ubicado en el municipio la Calera – Cundinamarca"

Se expide a solicitud de la interesada.

Cordialmente,

WILFREDO DEL TORO RODRÍGUEZ

Director

Escuela de Ingeniería Civil - UIS

Escuela de Ingeniería Civil - Posgrados
Ciudad Universitaria, Carrera 27 - Calle 9
PBX: (+57 7) 634 4000 Ext. 2453 - FAX: (+57 7) 632 0744, Bucaramanga, Colombia
URL: http://albatros.uis.edu.co - E-mail: eicposgrado@uis.edu.co

Apéndice I. Informe extracción, compresión de núcleos de concreto y carbonatación - concrelab



Bogotá, 31 de julio del 2018 Ref.: DPD - 1880 – 18

Ingeniera
STEPHANIE ANDREA BUENO
Obra: PUENTE DE CONCRETO REFORZADO
Código de obra: 13772
Bogotá D.C.

Referencia: Extracción y Compresión de Núcleos de Concreto

Apreciada Ingeniera:

De manera atenta nos permitimos entregar el informe con referencia DPD-1880-18 Ref. 1-13772, el cual contiene los resultados de compresión realizada a seis (06) núcleos de la obra en mención.

Los datos y resultados específicos obtenidos en la realización de cada uno de los ensayos se encuentran en los cuadros anexos a este informe. A continuación, presentamos el resumen de los resultados de las pruebas.

Con gusto daremos información adicional o aclaración a cualquier inquietud relacionada con este informe

Patologia y Olsenios
Firmado
digitalmente por
JHONATAN LEAL
BARRETO
Fecha: 2018.08.02
16:29:56-05'00'
patologia@concrelab.com

OV 10578 WS

> Página 1 de 7 DPD-1880-18





METODOLOGÍA DE ENSAYO

1.1. DETERMINACIÓN DE LA RESISTENCIA DEL CONCRETO MEDIANTE LA EXTRACCIÓN Y ENSAYO A COMPRESIÓN DE NÚCLEOS.

1.1.1. Extracción de núcleos.

La extracción de núcleos se realizó en la obra en mención para determinar la resistencia a compresión del concreto.

Para la extracción de las muestras se empleó un taladro eléctrico, equipado con coronas o brocas de diamante y tungsteno y refrigeradas permanentemente.

Una vez extraídas las muestras, estas se marcaron debidamente y fueron almacenadas según los requerimientos descritos en el numeral 7.3 de la Norma NTC 3658.

1.1.2. Ensayo a compresión de los núcleos.

Una vez realizada la inspección visual de los núcleos se cortaron por ambos extremos con una sierra diamantada, procurando guardar una relación entre la longitud y el diámetro de 2 a 1.

Después de cortadas y curadas las muestras se les determino a cada una el diámetro, altura, peso, densidad y posteriormente se refrentaron con azufre y se sometieron las muestras seleccionadas al ensayo de compresión hasta la rotura.

Para el ensayo a compresión de los núcleos de concreto, se siguió el procedimiento descrito en la Norma Técnica Colombiana NTC 3658:1994; en lo que se refiere a curado, refrentado y ensayo a compresión.

A continuación, se presentan los resultados del ensayo descrito anteriormente.





A continuación, se presenta el registro fotográfico de las muestras luego de su respectivo corte y refrentado.



Foto N°1: Registro general de muestras



Foto N°2: Registro general de muestras

Página 3 de 7 DPD-1880-18





A continuación, se presenta el registro fotográfico de las muestras luego de su respectivo corte y refrentado.







Foto N°4: muestra 1 ensayada



Foto N°5: muestra 2



Foto N°6: muestra 2 ensayada

Página 4 de 7 DPD-1880-18





A continuación, se presenta el registro fotográfico de las muestras luego de su respectivo corte y refrentado.







Foto N°8: muestra 3 ensayada



Foto N°9: muestra 4



Foto N°10: muestra 4 ensayada

Página 5 de 7 DPD-1880-18





A continuación, se presenta el registro fotográfico de las muestras luego de su respectivo corte y refrentado.



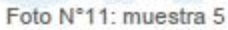




Foto N°12: muestra 5 ensayada



Foto N°12: muestra 6



Foto N°13: muestra 6 ensayada





A continuación, se presenta el registro fotográfico de las muestras luego de su respectivo ensayo de carbonatación.







Foto N°12: muestra 6

Foto N°13: muestra 6 ensayada

AVANCE DE CARBONATACIÓN:

- Núcleo No. 1 = 8 mm.
- Núcleo No. 2 = 14 mm.
- Núcleo No. 3 = 0 mm.
- Núcleo No. 4 = 0 mm.
- Núcleo No. 5 = 0 mm.
- Núcleo No. 6 = 0 mm.



Página 7 de 7 DPD-1880-18



MÉTODO PARA LA OBTENCIÓN Y ENSAYO DE NÚCLEOS EXTRAÍDOS Y VIGAS DE CONCRETO Y ASERRADAS NTC 3658:1994. (ENSAYO COMPRESIÓN NTC 673)



ISO/IEC 17025:2005 09-LAB-001

Código:F-259 Versión: 02 Actualización: 2017-11-21

Compañía: STEPHANIE ANDREA BUENO

Obra: PUENTE DE CONCRETO REFORZADO

Dirección: cra 2B # 129 11 LA CALERA

Dirigido a: ing. STEPHANIE ANDREA BUENO

Fecha de emisíon: 2018-08-2

N° de informe: DPD- 1880-18

Referencia: 1-13772

Digitó: Wsuarez **Laboratorista:**Fyondapiz 1. Cónico 2. Cónica y divi 3. Columnar 4. Transversal 5. Fractura extr

Cónica y dividida CONVERSIONES

De kN a kgf, multiplique por: 101,972 De kgf/cm² a lbf/in², multiplique por: 14,224

Fractura extremos De MPa a kgf/cm², multiplique por: 10,1972
 Cilindro puntiagudo

RESULTADOS DE ENSAYOS

KESOL	700	, ,,,,,,,,,,,,,,,,,,,,,,,,,,,,,,,,,,,,,	13/110	,,,																	
Orden	Nucleo	Dime	ensión (r	mm)	Area	Fecha	Edad	Fecha	Masa	Densidad	Esbeltez	Factor	Dirección	Carga	Resistencia	Tipo	Resistencia	corregida	Tamaño		
de	N°	L	Lcapin	1	mm ²	Extracción	(dias)	Ensayo	9	g/cm ³	L/D	de	Carga	Máxima	MPa	Fractura	MPa	Kg/cm ²	nominal	Humedad	Observaciones
trabajo				ዋ								Correc.		kN							
	Le	ocaliza	ción		L	osa Costado I	zquierd	0							•						
10578	1	153,5	156,3	76,6	4603,6	2018-07-27	3	2018-07-30	1560,0	2,2	2,0	1	Paralelo	98,4	21,4	2	21,4	218,0		Se∞	ance de Carbonatazion 8m
	Le	ocaliza	ción		U	osa Costado I	zquierd	0													
10578	2	153,6	155,9	76,4	4584,4	2018-07-27	3	2018-07-30	1550,0	2,2	2,0	1	Paralelo	78,2	17,1	2	17,1	173,9		Seco	ance de Carbonatazion 14n
	Le	ocaliza	ción		U	osa Costado [Derecho	j i		•											
10578	3	153,8	157,1	76,8	4632,5	2018-07-27	3	2018-07-30	1560,0	2,2	2,1	1	Paralelo	77,8	16,8	3	16,8	171,3		Seco	ance de Carbonatazion 0m

	(MPa)	(kgf/cm ²)
Resistencia Promedio	18	187,7
Desviación estándar	3	26,2
Coef de variación	14.0%	140%





MÉTODO PARA LA OBTENCIÓN Y ENSAYO DE NÚCLEOS EXTRAÍDOS Y VIGAS DE CONCRETO Y ASERRADAS NTC 3658:1994. (ENSAYO COMPRESIÓN NTC 673)



Código:F-259 Versión: 02 Actualización: 2017-11-21

Compañía: STEPHANIE AND REA BUENO

PUENTE DE CONCRETO REFORZADO Dirección: cra 2B #129 11 LA CALERA

Dirigido a: ing. STEPHANIE ANDREA BUENO

Fecha de emisíon: 2018-08-2

N° de informe: DPD- 1880-18

Referencia: 1-13772

Digitó: Wsuarez Laboratorista: Fyondapiz

Cónica y dividida

3. Columnar 4. Transversal Cilindro puntiagudo

CONVERSIONES De kN a kgf, multiplique por: 101,972

De kgf/cm2 a lbf/in2, multiplique por: 14,224 Fractura extremos De MPa a kgf/cm², multiplique por: 10,1972

RESULTADOS DE ENSAYOS

KESOE	IADO.		137110	,,,	_	_			_												
Orden	Nucleo	Dime	ensión (r	mm)	Area	Fecha	Edad	Fecha	Masa	Densidad	Esbeltez	Factor	Dirección	Carga	Resistencia	Tipo	Resistencia	corregida	Tamaño		
de	N°	L	Lcapin		mm ²	Extracción	(dias)	Ensayo	g	g/cm ³	L/D	de	Carga	Máxima	MPa	Fractura	MPa	Kg/cm ²	nominal	Humedad	Observaciones
trabajo				የ								Correc.		kN			mra	Ng/cm-			
	Le	ocaliza	ción		٧	iga Costado I	zquierd	o Centro			•				•						•
10578	4	153,8	157,3	76,7	4625,3	2018-07-27	3	2018-07-30	1585,0	2,2	2,1	1	Perpendicular	134,9	29,2	3	29,2	297,4		Seco	ance de Carbonatazion Orr
	Le	ocaliza	ción		٧	iga Costado I	zquierd	o Centro													•
10578	5	153,1	158,2	76,9	4642,2	2018-07-27	3	2018-07-30	1550,0	2,2	2,1	1	Perpendicular	128,3	27,6	2	27,6	281,8		Seco	ance de Carbonatazion Orr
	Le	ocaliza	ción		٧	iga Costado I	zquierd	o Centro					•								
10578	6	153,7	157,5	76,7	4616,8	2018-07-27	3	2018-07-30	1585,0	2,2	2,1	1	Perpendicular	119,9	26,0	3	26,0	264,8		Seco	rance de Carbonatazion Orr

	(MPa)	(kgf/cm ²)
Resistencia Promedio	28	281,4
Desviación estándar	2	16,3
Coef. de variación	5,8%	5,8%

OBSERVACIONES:		

-Este informe se expide de acuerdo con las condiciones de acreditación otorgadas por el ORGANISMO NACIONAL DE ACREDITACIÓN (ONAC) y los requisitos de la

-Los resultados contenidos en el presente informe se refieren al momento y condiciones en que se realizaron los ensayos. El laboratorio que lo emite no se responsabiliza de los perjuicios que puedan derivarse del uso inadecuado de estos resultados.

ING. JHONATAN LEAL BARRETO

Autorizado por:

Jefe División de Patología y Diseños patologia@concrelab.com

FIN DEL INFORME DE ENSAYOS



Apéndice J. Informe Esclerometría – Concrelab



Bogotá, 31 de Julio del 2018 Ref. DPD – 1878 – 18

Ingeniero
STEPHANIE ANDREA BUENO
OBRA: PUENTE DE CONCRETO REFORZADO
Código de Obra: 13772
Bogotá D.C.

Referencia: Ensayos de esclerómetros

Apreciado Ingeniero:

El siguiente informe consta de cinco (05) páginas y contiene los resultados obtenidos del estudio de estabilidad de los elementos estructurales de la obra en referencia.

Es importante aclarar que el método de ensayo para medir el número de rebote del concreto endurecido, es uno de los ensayos no destructivos más utilizados para tratar de deducir la resistencia a la compresión. Su uso obedece a la relativa facilidad de empleo y transporte.

Su principio de trabajo consiste básicamente en el registro que hace una masa cuando rebota sobre una varilla de percusión apoyada directamente sobre la superficie del concreto. Sin embargo, existen varios factores que afectan los resultados cuando se realizan estas pruebas:

- La textura de la superficie del concreto.
- La humedad relativa del concreto.
- El espesor de los elementos ensayados.
- La calidad de los agregados empleados en la elaboración del concreto.
- La relación agua-cemento empleada en la elaboración del concreto.
- La edad del concreto.

Página 1 de 2 DPD-1878-18





Se debe tener en cuenta que los resultados obtenidos tienen un nango de dispersión de ± el 20%, el cual es determinado directamente por el fabricante del equipo.

Los ensayos se realizaron según los procedimientos descritos en la norma técnica NTC 3692:1995. Los resultados de los ensayos corresponden exclusivamente a las características de las muestras ensayadas.

Gustosamente suministraremos cualquier información al contenido del presente informe.

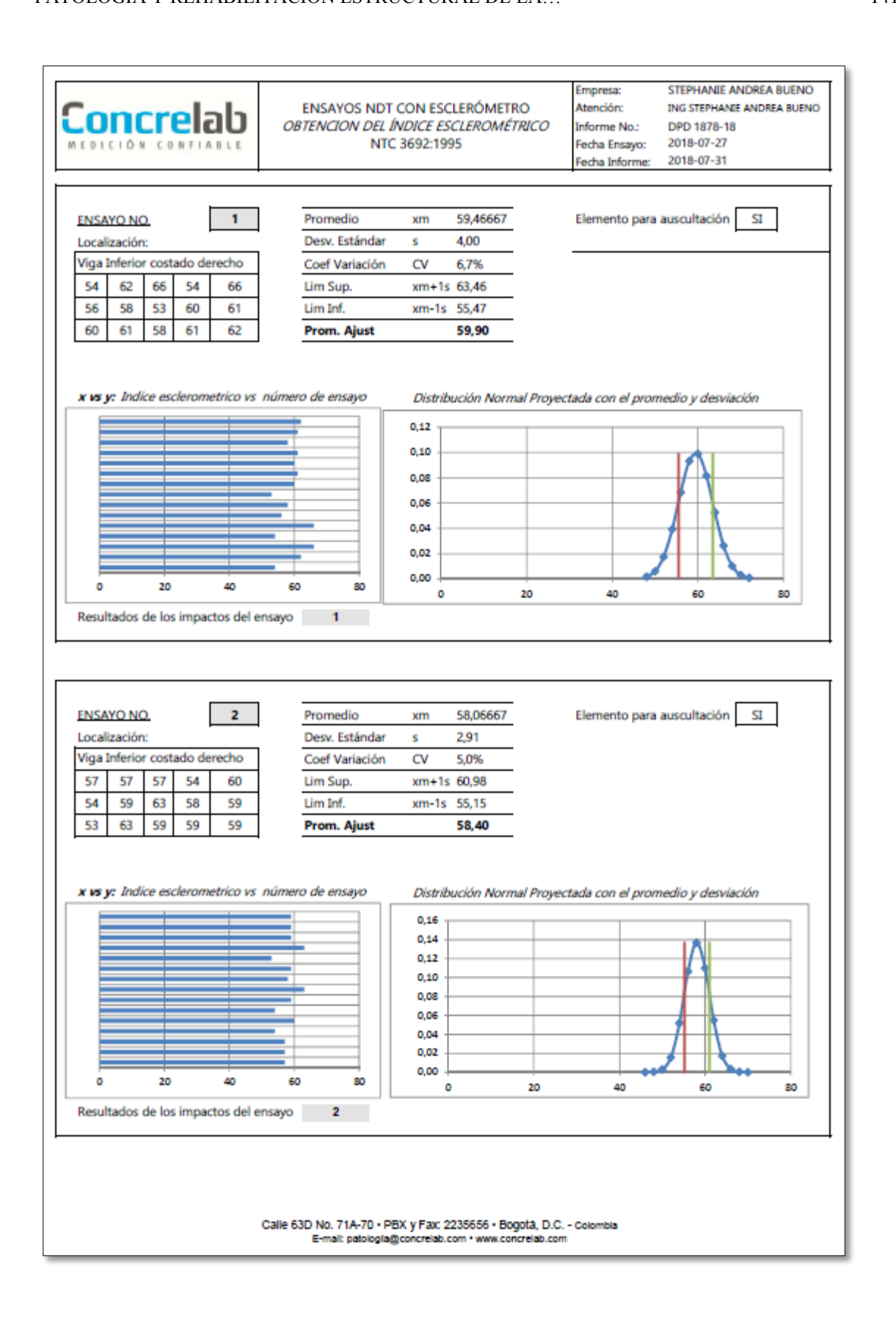
Autoriza
Firmado
digitalmente por
JHONATAN LEAL
BARRETO
Fecha: 2018.08.02
16:39:40 -05'00'
patologia@concrelab.com

patologia@concrelab.com

OT 10578
WS









67

66 66

65 66

ENSAYOS NDT CON ESCLERÓMETRO OBTENCION DEL ÍNDICE ESCLEROMÉTRICO NTC 3692:1995 Empresa: STEPHANIE ANDREA BUENO Atención: ING STEPHANIE ANDREA BUENO

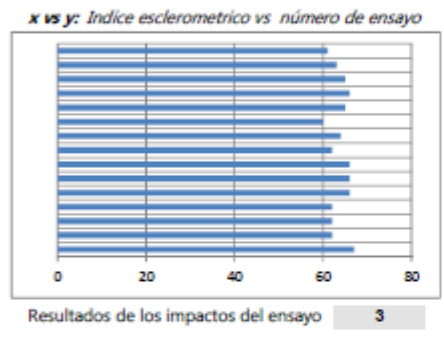
Informe No.: DPD 1878-18 Fecha Ensayo: 2018-07-27 Fecha Informe: 2018-07-31

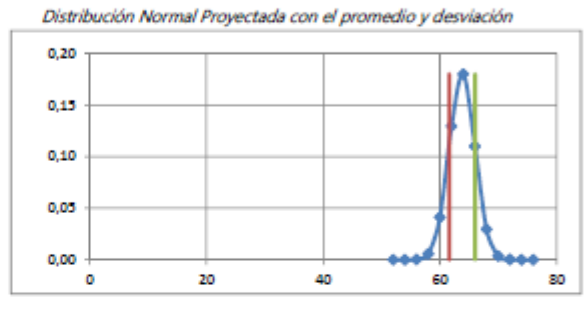
O NO	<u>).</u>		3
ación	r:		
nferio	r		
62	62	62	66
66	62	64	60
66	65	63	61

Promedio	xm	63,8
Desv. Estándar	s	2,21
Coef Variación	CV	3,5%
Lim Sup.	xm+1s	66,01
Lim Inf.	xm-1s	61,59
Prom. Ajust		64,08

Elemento para auscultación

in SI





Apéndice K. Informe Detección con Ferroscan - Concrelab



Bogotá D.C., 30 de julio del 2018 Ref.: DPD-1870-18

Ingeniero
STEPHANIE ANDREA BUENO
OBRA: PUENTE DE CONCRETO REFORZADO
Código de Obra: 13772
Bogotá D.C.

Asunto: Ensayo de Detección del Refuerzo FERROSCAN

Apreciado Ingeniero:

El presente informe consta de nueve (09) páginas y contiene los resultados de la Detección del refuerzo utilizando FERROSCAN realizado a tres (03) elementos de la obra en mención.

El sistema Ferroscan PS 200 sirve para detectar una posición, determinar la profundidad y estimar el diámetro de hierros de armadura según se establece en los datos técnicos.

La herramienta se puede utilizar para diferentes aplicaciones de detección para armaduras de hormigón.

Aplicación

- Evitar los hierros de armadura al perforar sencillamente o con saca núcleos.
- Posición y diámetro para controles de carga.
- Definición de la cubierta sobre zonas amplias.

Funcionamiento

El sistema funciona de modo que el escáner se mueve directamente encima de la superficie del elemento de construcción. Los datos se almacenan en el escáner hasta que se puedan transferir al monitor. El monitor se utiliza para almacenar grandes volúmenes de datos y poderlos visualizar.

Página 1 de 3 DPD-1870-18





De este modo, los datos también se pueden llevar a la oficina y descargarlos mediante el software. El software ofrece opciones de análisis avanzadas y la posibilidad de imprimir rápidamente informes completos, así como archivar datos.

Potencia de medición del sistema

Se deben cumplir las siguientes condiciones para obtener valores de medición fiables:

- Superficie del hormigón lisa y plana.
- Hierros de armadura no corroidos.
- La armadura debe estar paralela respecto a la superficie.
- El hormigón no contiene áridos o componentes con propiedades magnéticas.
- Los hierros de armadura deben estar exactamente a ± 5° en perpendicular respecto a la dirección de exploración.
- Los hierros de armadura no están soldados.
- Los hierros adyacentes tienen un diâmetro similar.
- · Los hierros adyacentes tienen la misma profundidad.
- No debe haber interferencias de campos magnéticos externos u objetos cercanos con propiedades magnéticas.
- Los hierros deben tener una permeabilidad magnética relativa de 85-105.
- Las ruedas del escáner están limpias de arena o cualquier tipo de suciedad similar.
- · Las 4 ruedas del escáner se dirigen al objeto que se pretende medir.

Límites y capacidad del equipo

La capacidad de lectura del equipo, para precisiones con rangos entre 1 y 3 calibres de acero, aplica para espesores entre 5 a 7 cm en función de las características del elemento. Mayores espesores generan interferencia y altas incertidumbres en la medición







Los elementos sujetos a ensayo, fueron los seleccionados por el solicitante y por lo tanto los resultados solo afectan los objetos sometidos al ensayo.

- La medición de las fisuras en el concreto con el equipo de ferroscan genera incertidumbres ya que el equipo no tiene la capacidad de medición para este ensayo
- Con gusto daremos información adicional o aclaración a cualquier inquietud relacionada con este informe.

REFERENCIA Y NOMENCLATURA DEL ENSAYO:

- Imagenscan: Referencia del sistema al grabar las lecturas.
- Fecha / hora: Referencia de la hora y fecha de la lectura.
- Cuadricula: Plano cartesiano usado en el ensayo.
- Punto: Numero de ensayo referenciado en el plano cartesiano.
- x: [mm]: Referencia del punto en el eje x del plano cartesiano.
- y: [mm]: Referencia del punto en el eje y del plano cartesiano.
- Cob: [mm]: Profundidad del punto analizado.
- Barra: Diámetro de la barra analizada.
- · Orientación: Forma en la cual se encuentra la barra.
- Uso: Exactitud con la cual el equipo referencia la barra.

Autoriza.

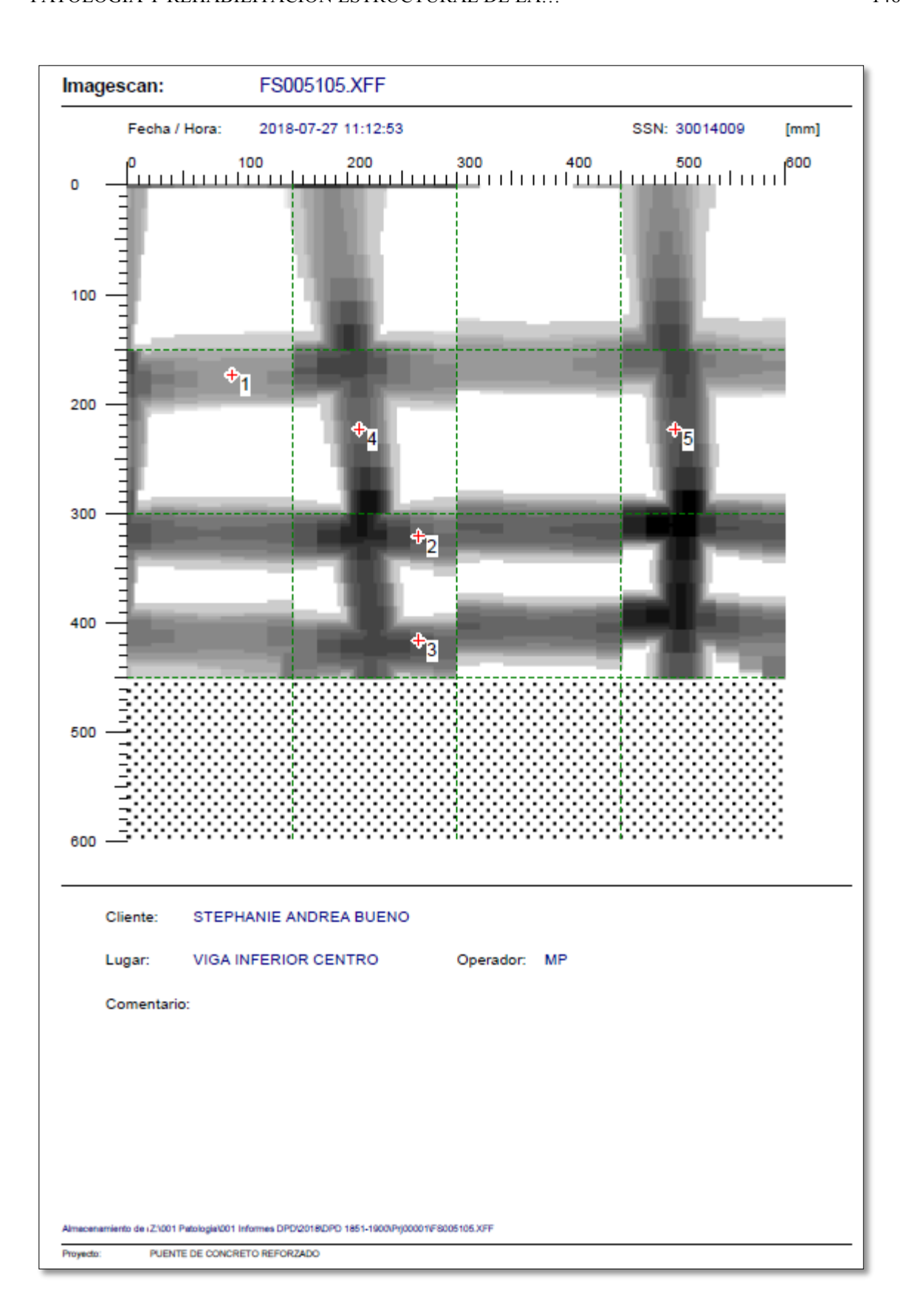
Firmado digitalmente por JHONATAN LEAL BARRETO Fecha: 2018.08.02

patologia@concrelab.com

OV 10578 WS

> Página 3 de 3 DPD-1870-18

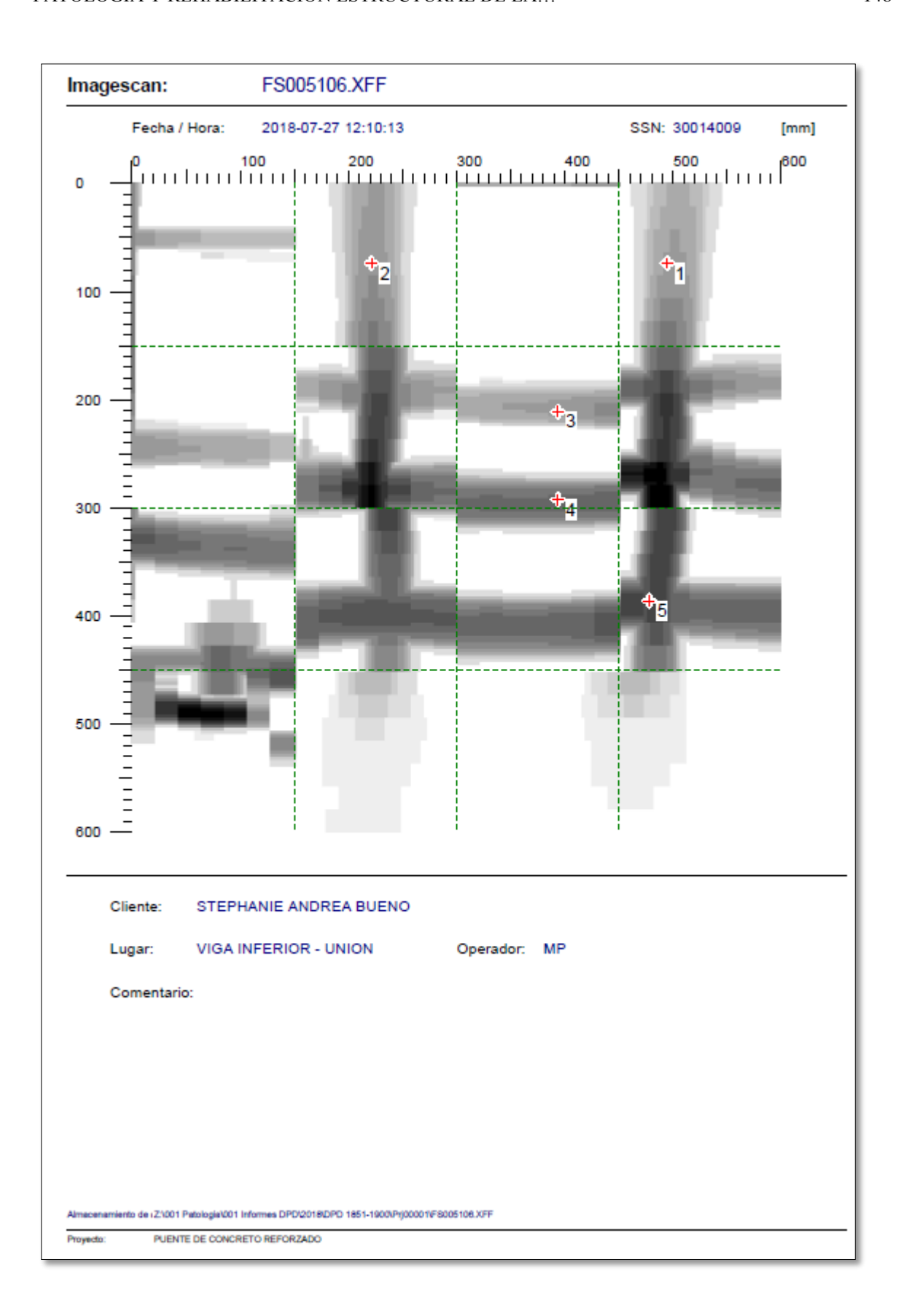




gescan	:	FS00510	05.XFF			
Punto:	x: [mm]	y: [mm]	Cob.: [mm]	Barra:	Orientación:	Uso:
1	96	175	60	16mm	Horizontal	Medición
2	267	323	44	16mm	Horizontal	Medición
3	267	419	43	16mm	Horizontal	Medición
4	213	224	43	10mm	Vertical	Medición
5	503	224	38	10mm	Vertical	Medición

Almacenamiento de iZ1001 Patologial001 Informes DPDI2018/DPD 1851-1900/Prj00001/F8005105.XFF

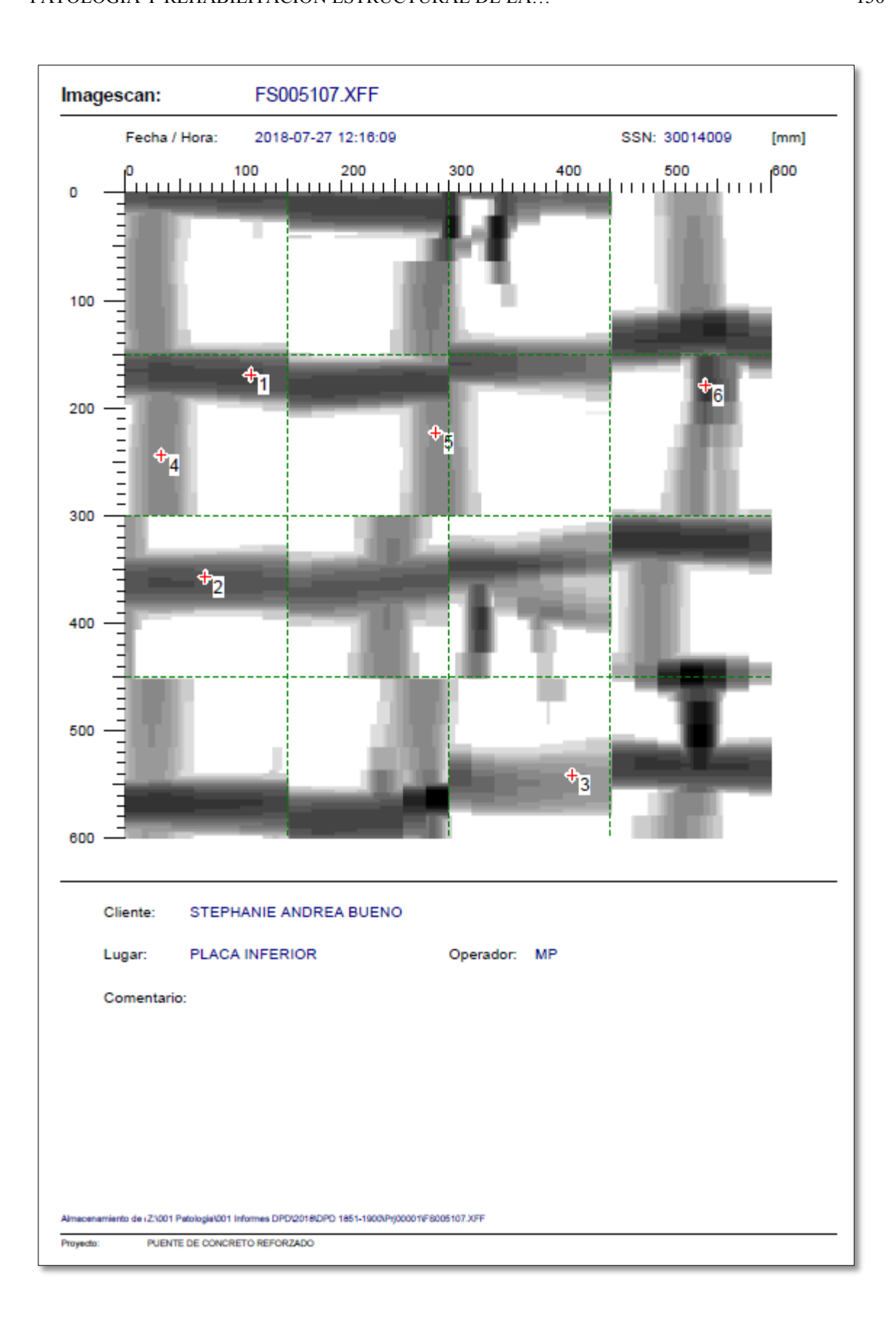
Proyecto: PUENTE DE CONCRETO REFORZADO



jescan:	:	FS00510	06.XFF			
Punto:	x: [mm]	y: [mm]	Cob.: [mm]	Barra:	Orientación:	Uso:
1	498	74	48	10mm	Vertical	Medición
2	223	74	46	10mm	Vertical	Medición
3	396	213	47	16mm	Horizontal	Medición
4	396	295	34	16mm	Horizontal	Medición
5	481	389	31	16mm	Horizontal	Medición

Almacenamiento de i Z1001 Patologia\001 Informes DPD/2018/DPD 1851-1900\Prj00001\F8005108.XFF

Proyecto: PUENTE DE CONCRETO REFORZADO

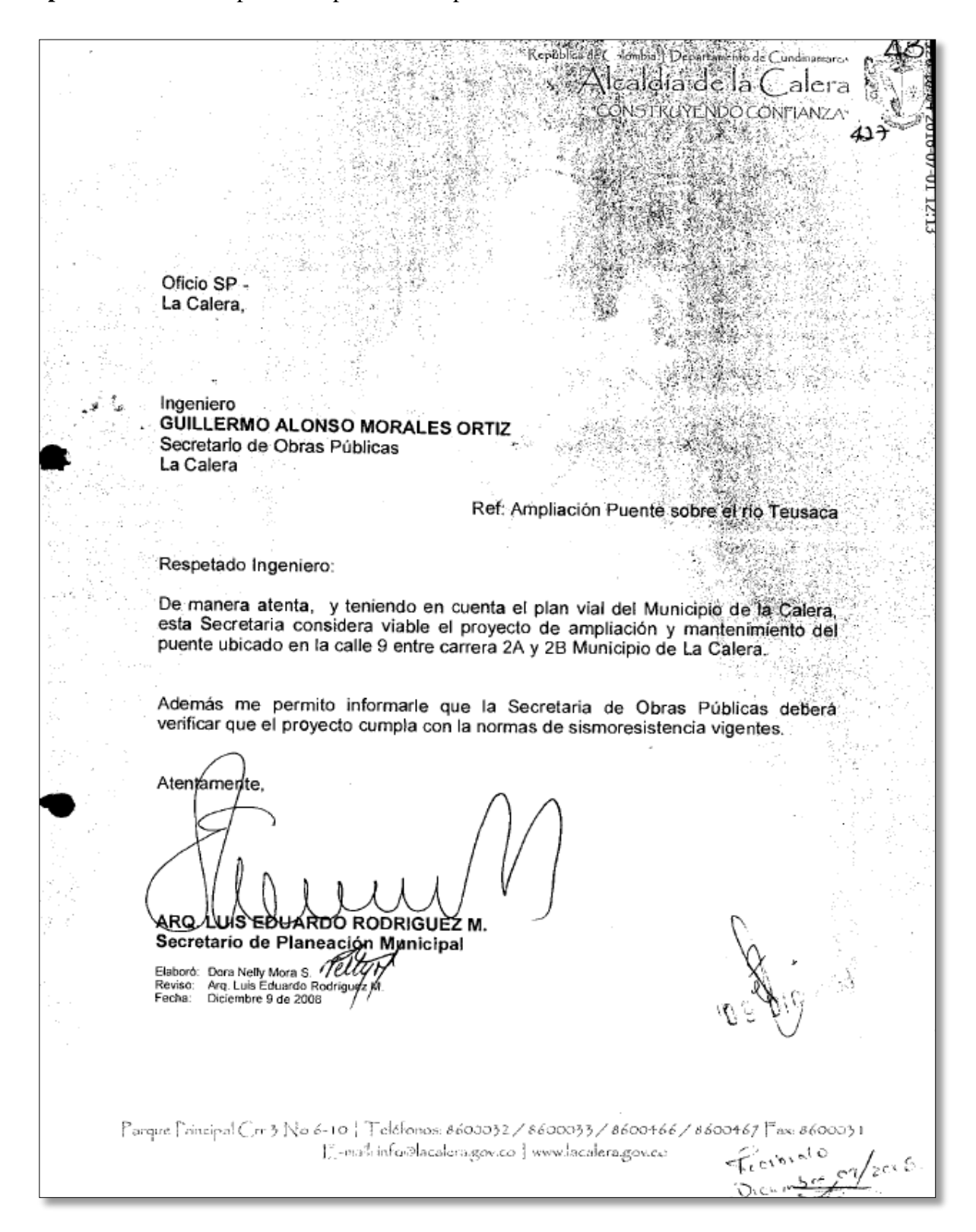


Punto:	x: [mm]	y: [mm]	Cob.: [mm]	Barra:	Orientación:	Uso:
1	117	171	32	14mm	Horizontal	Medición
2	74	360	34	16mm	Horizontal	Medición
3	417	544	49	16mm	Horizontal	Medición
4	35	246	44	10mm	Vertical	Medición
5	290	224	45	10mm	Vertical	Medición
6	541	181	27	8mm	Vertical	Medición

Almacenamiento de i Z1001 Patologia1001 Informes DPDI2018/DPD 1851-1900/Prj00001/F8005107.XFF

Proyecto: PUENTE DE CONCRETO REFORZADO

Apéndice M. Concepto de ampliación del puente



Apéndice N. Memoria de cálculo de análisis del puente





LUGAR: La Calera

PROYECTO: Puente de la calle 9 entre carreras 2A y 2B sobre el río Teusacá

NORMA: Código Colombiano de Puentes 2014 (CCP-14)

1. PROPIEDADES DE LOS MATERIALES DEL PUENTE

	7	,	
Ta	hΙ	e	ro

Concreto	f 'c (kg/cm ²)	210	f 'c (Mpa)	21	f 'c (psi)	3000
Acero	$f v (kg/cm^2)$	4200	f y (Mpa)	420	f y (psi)	60000

Pesos Unitarios

Yconcreto	2.32 t/m3	Tabla 3.5.1-1	YConcreto	2320.00 kg/m3
Y Asfalto	2.25 t/m3	Tabla 3.5.1-1	YAsfalto	2250.00 kg/m3

Viga Interior

Concreto	f 'c (kg/cm ²)	210	f 'c (Mpa)	21	f 'c (psi)	3000
Acero	f y (kg/cm ²)	4200	f y (Mpa)	420	f y (psi)	60000

Viga Exterior

Concreto	f 'c (kg/cm ²)	210	f 'c (Mpa)	21	f 'c (psi)	3000
Acero	f y (kg/cm ²)	4200	f y (Mpa)	420	f y (psi)	60000





2. CARACTERÍSTICAS GEOMÉTRICAS DEL PUENTE

Tablero

			-			
No de carriles 2				Separac	ción interior entre vigas (Sp1)	C
Ancho de carril (AC)	3.65 m			Separac	ción interior entre vigas (Sp2)	1
Número de bordillos	0			Separac	ción interior entre vigas (Sp3)	1
Altura de bordillos	0.00 m			Separac	ción interior entre vigas (Sp4)	1
Ancho total (AT)	10.0 m			Separac	ción interior entre vigas (Sp5)	0
Número de barandas	2			Separac	ción entre ejes de vigas (S1)	1
Número de Vigas	6			Separac	ción entre ejes de vigas (S2)	2
Ancho de la viga	0.40 m			Separac	ción entre ejes de vigas (S3)	1
Longitud libre del Vola	dizo (LV)	0.60 m		Separac	ción entre ejes de vigas (S4)	2
Ancho de bordillos (Al	V)	0.00 m		Separac	ción entre ejes de vigas (S5)	1
Longitud de voladizo de	esde el eje	e (LVE)	0.80 m			
Longitud del puente	10.5 m					
Ancho de calzada (Av)	7.30 m					
Luz total del tablero a d	distribuir e	entre vig	gas	8.8 m		

Vigas riostra (Diafragma)

Cantidad de Diafragmas

Separación entre diafragmas 10,5 m

1.03

10.3

Ancho de vigas riostra (Diafragmas) (b_o) 0,00 m

Altura de vigas riostra en apoyos (Diafragmas) 0,00 m

Altura de vigas riostra en el centro de la luz (Diafragmas 0,00 m

3. CARGAS DE DISEÑO

3.6.1.2.2. Camión de Diseño

3.6.1.2.3 Tandem de Diseño

TANDEM

W_{carril} (Ton/m)

W_{carril} (kN/m)

Eje 2	Eje 3
P2	P3
(Kg)	(Kg)
16000	16000
16.0 t	16.0 t
	P2 (Kg) 16000

P Total (Kg)

CCP-14

Cabezote	Eje 2
P1	P2
(Kg)	(Kg)
12500	12500
12.5 t	12.5 t

1 1000 (118) 2300	P Total (Kg)	2500	25.0 t
-------------------	--------------	------	--------

Distancia entre ejes 1	4.3	m	_
Distancia entre ejes 2	4.3	9	m

3600 36.0 t

Distancia entre ejes 1	1.2	n
------------------------	-----	---





4. PREDIMENSIONAMIENTO: TABLERO

Altura de la placa entre apoyos

Tipo de luz de puente **SIMPLE** Tabla 2.5.2.6.3-1

Simple

Continua

 $\underline{(S+3000)} \ge 165mm$ Altura Losa de concreto con refuerzo 1.2(S + 3000)0.18 m Tabla 2.5.2.6.3-1 paralelo al tráfico 30

Altura mínima del tablero (H_{min}) 0.175 m Sección 9.7.1.1

Altura de la placa en voladizo

Sección 13.7.3.1.2 Seleccione características del tablero: Paramentos o barreras 0.203 m

Altura de la placa calculada: 0.20 m Altura de la placa adoptada: 0.20 m

Acartelamiento, rodadura y vigas

Ancho con acartelamiento 0.20 m Asumido Capa de rodadura de asfalto (e) 0.05 m Asumido

Simple Continua

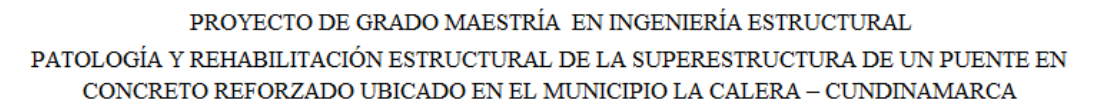
Tabla 2.5.2.6.3-1 Altura de las vigas (h) 0.07*L 0.065*L 0.74 mPara viga T

Altura de las vigas adoptada

Chequeos

Norma	Criterio	Resultado	Nota
Tabla 2.5.2.6.3-1	$\frac{(S+3000)}{30} \ge 165mm$		Aplica para puente con luz tipo: Continua
-	$H_{Placa\ calculada} \leq H_{Placa\ adoptada}$	La altura de la losa cumple	No aplica sección de la norma
-	$H_{Viga\ calculada} \leq H_{Viga\ adoptada}$	Revisar la altura de la viga	4 cm por debajo, 70 < 74 cm





5. DISEÑO DE LA PLACA

1. Carga muerta (DC)

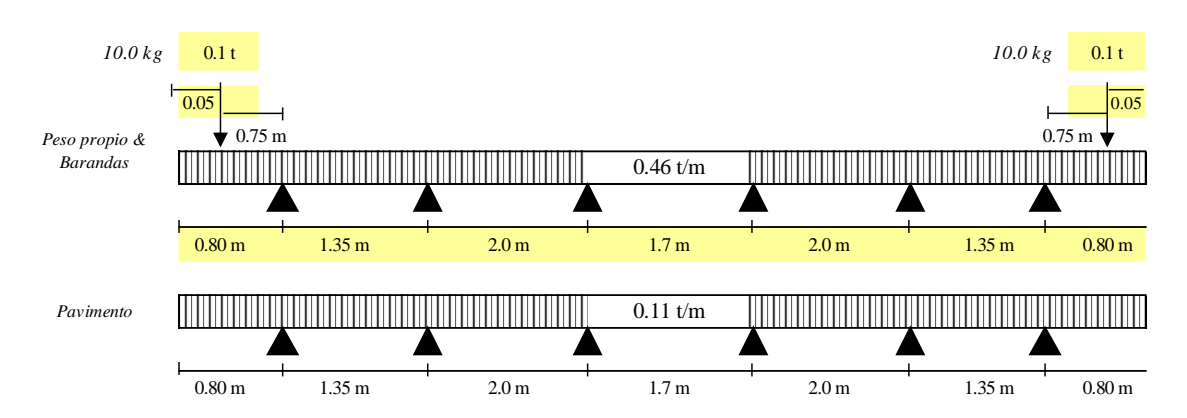
Peso propio (W_{DC}) 4.64 kN/m 0.46 t/m Por metro

2. Carga superficie de rodadura (DW)

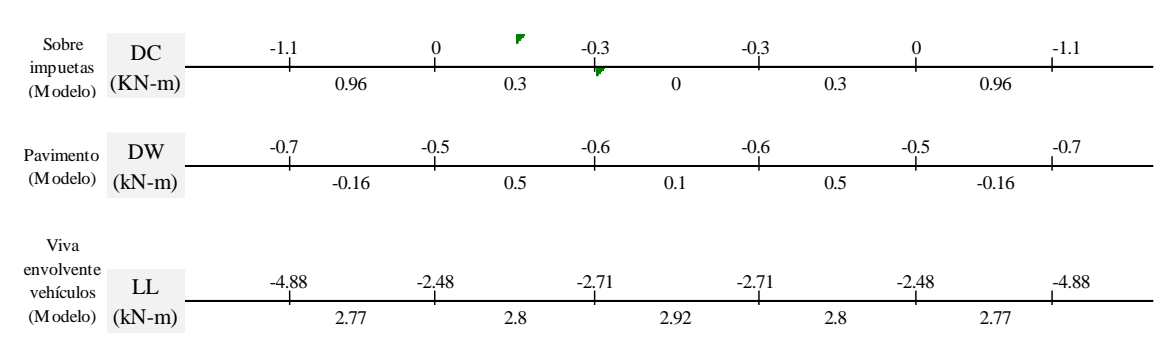
Peso rodadura (W_{DW}) 1.13 kN/m 0.11 t/m2

Análisis de cargas

Revisar los apoyos y carga de barreras para montar el modelo

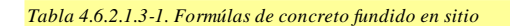


Resultados de montar los modelos de las vigas anteriores









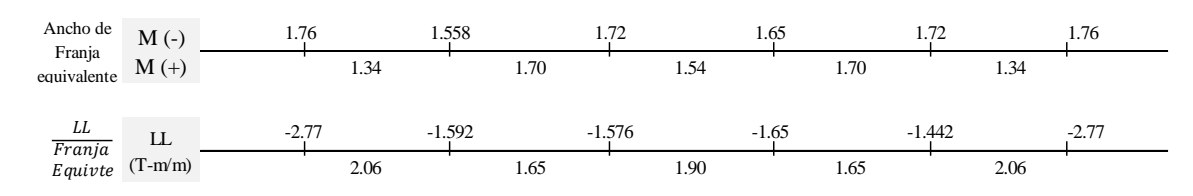
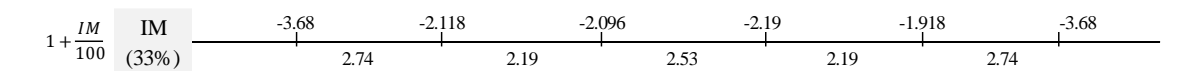


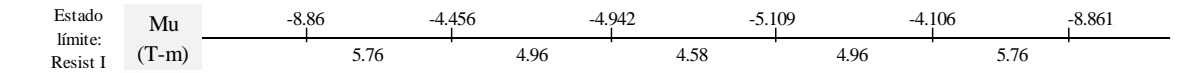
Tabla 3.6.2.1-1. Amplificación por Carga Dinamica, IM

IM 33%



3.4.1. Factores de carga y combinaciones de carga

Mu = 1.25DC + 1.5DW + 1.75 * (LL + IM)



Factores de Amplificación y Combinaciones de Carga

Ductilidad (Π_D) 1 Sección 1.3.3. Diseños convencionales

Redundancia (1) 1 Sección 1.3.4. Niveles convencionales de redundancia

Importancia operacional ($\Pi_{\rm I}$) 1 Sección 1.3.5. Para puente típicos

 $\Pi = (\Pi D)(\Pi R)(\Pi I)$ 1 Sección 1.3

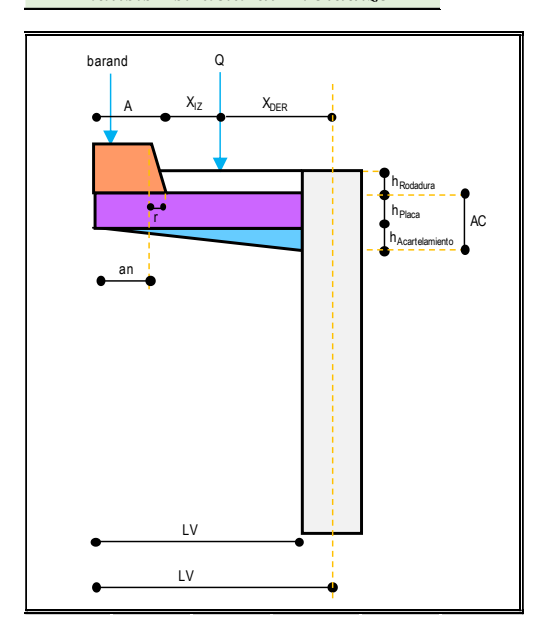
Momentos últimos - Estado límite

 $Mu_{(LL)}^{(-)}$ -66.79 kN $Mu_{(LL)}^{(+)}$ 48.98 kN





Análisis Estructural - Voladizo



$Q = \frac{P_{ejepesado}}{2}$	80.00 kN	
$H_{ m bordillo}$	0.00 m	
H_{placa}	0.20 m	
$H_{ m rodadura}$	0.05 m	
AN	0.00 m	
LV	0.60 m	
AC _{acartelamiento}	0.20 m	
AC _{acartelamiento} -H _{placa}	0.00 m	
an	0.00 m	
$rb_{\rm reduccionBordillo}$	0.00	
$X_{IZQCarga}$	0.30 m	Sección 3.6.1.3.4 carga de
$X_{ m DERCarga}$	0.30 m	voladizos

ELEMENTO	P(kN)	Brazo	Mcm (kN-m)
1	2.78	0.30	0.84
2	0.00	0.20	0.00
3	0.00	0.60	0.00
4	0.68	0.30	0.20
Baranda	1.00	0.60	0.60
TOTAL	4.46		1.64 kN-m

3.6.1.6 Se analiza como si se fuera a quitar la acera en un futuro

Momento flector por carga viva

En los voladizos

Ancho de repartición (E E = 1.140 + 0.833X 1.39 m

Tabla 4.6.2.1.3-1 franjas equivalentes

Momento por carga viva (M_{CV}) $M_{CV} = \left[\frac{I \times Q}{E}\right] x$ 22.97 kN-m/m





Momentos últimos en el voladizo							
CARGA	MOMENTO NEGATIVO	CORTANTE					
Peso propio (DC)	1.44 kN-m	3.78 kN					
Carpeta asfáltica (DW)	0.20 kN-m	0.68 kN					
Carga viva (LL)	22.97 kN-m	76.55 kN					
Mu = 1.25DC + 1.5DW + 1.75 * (LL + IM)							
Fuerzas últimas 42.29 kN-m 139.71 kN							

Chequeo del cortante en el acartelamiento (Losa en voladizo)

Resistencia nominal a $V_c = 0.53 \sqrt{f'_c}$ $0.000768043 \text{ kg/m}^2 \text{ } 7.68 \text{ kg/cm}^2$ cortante por tracción (Vc)factor de resistencia a cortante (ϕ) 0.9 Sección 5.5.4.2.1 Esfuerzo cortante (Vu) $v_u = \frac{V_u}{\emptyset b_v d_v}$ $d_v = \frac{V_u}{\emptyset b_v v_u}$ $d_v = \frac{V_u}{\emptyset V_c}$ $d_v = 0.20 \text{ m}$ Sección 5.5.4.2.1 Recubrimiento (r) 0.03 m Sección 5.12.3 recubrimiento del concreto $AC_{acartelamiento}$ 0.20 m H acartelamiento calculada $d_v + r + 1/2\Phi_b$ 0.24 m Altura mínima que requiere el acartelamiento Profundidad efectiva a cortante real $(d_{v \text{ real}})$ 0.17

Chequeos

Norma	Criterio	Resultado	Nota
Sección 5.5.4.2.1	$AC_{acartelamiento} \leq H_{acartelamiento}$	Aumentar la altura del	El voladizo no presenta
Seccion 5.5.4.2.1		acartelamiento, altura	acartelamiento





Cálculo del refuerzo

Refuerzo principal en el voladizo

As (-) armadura superior

Ancho unitario (b) 100 cm		1.0	0 m	
Altura efectiva (d)	17.0 cm	0.1	7 m	
factor de resistencia a flexión (ϕ)			Sección :	5.5.4.2.1
Momento último en el voladizo (Mu)			kN-m	Sí el momento con ETABS es mayor seleccionar ese
Momento nominal en el voladizo (Mn)			$M_u/_{\emptyset}$	74.21 kN-m

Módulo de rotura del concreto $F_r = 2.01\sqrt{f'_c}$ Fr 0.0029 kg/m^2 Sección 5.4.2.6 $S = \frac{bh^2}{6}$ 0.01 m3

Momentos para refuerzo	M_{in}	$M_i = 1.33 M_u$	88.83 kN-m	
mínimo Sección 5.7.3.3.2	M_{cr}	$M_{cr} = 1.1(f_r S)$	21.36 kN-m	Referencia_ Ing. Arturo Rodríguez

$$AS_{\min} \quad a = \frac{A_s f_y}{0.85 f'_c b} \quad M_u = 0.9 f_y \left(d - \frac{a}{2} \right) A_s \qquad 3.40 \quad \text{cm}^2 / \text{m} \quad \text{Despejando As}$$

$$AS_{\text{temperatura}} \quad A_s \ge \frac{0.75 b h}{2(b+h) f_y} \quad A_s \ge \frac{0.18 b h}{2(b+h)} \left(\frac{c m^2}{m} \right) \qquad 1.76 \quad \text{cm}^2 / \text{m} \quad AS_{\text{temperatura}} \qquad 2.33 \quad \text{cm}^2 / \text{m}$$

$$AS_{\text{requerido}} \quad a = \frac{A_s f_y}{0.85 f'_c b} \quad M_u = 0.9 f_y \left(d - \frac{a}{2} \right) A_s \qquad 12.66 \quad \text{cm}^2 / \text{m} \quad \text{Despejando As}$$

AS_{suministrar} 12.66 cm²/m Por metro lineal de losa

Chequeos

Norma	Criterio	Resultado	Nota
Sección 5 10 8	$2.33 cm^2/_m \le A_s \le 12.7 cm^2/_m$	Revisar refuerzo de retracción	Como el calculado es menor a
Seccion 5.10.6		y temperatura	2,33 entonces se toma 2,33





En el apoyo central

Ancho unitario (b)	100 cm	1.0	00 m	
Altura efectiva (d)	17.0 cm	0.1	7 m	
factor de resistencia a f	lexión (φ)	0.9	Sección .	5.5.4.2.1
Momento último apoyo	central (Mu)	66.79	kN-m	Sí el momento con ETABS es mayor seleccionar ese
Momento nominal apoy	o central (Mn)	$M_n =$	$M_u/_{\emptyset}$	74.21 kN-m
Módulo de rotura del co		$1\sqrt{f'_c}$	Fr	0.0029 kg/m2 Sección 5.4.2.6
$S = \frac{bh^2}{6}$ 6666.67 cm3				

Momentos para refuerzo mínimo	M_{in}	$M_i = 1.33 M_u$	88.83 kN-m	
Sección 5.7.3.3.2	M_{cr}	$M_{cr} = 1.1(f_r S)$	21.36 kN-m	Referencia_ Ing. Arturo Rodríguez

AS_{min}	$a = \frac{1}{0.0}$	$\frac{A_s f_y}{85 f'_c b}$	$M_u = 0$	$.9f_y\left(d-\frac{a}{2}\right)A_s$	3.404	cm ² /m	Despejan	do As			33 cm2/m el es menor
$AS_{tempera}$				$A_s \ge \frac{0.18bh}{2(b+h)}$					ratura	2.33	cm ² /m
$AS_{requerido}$	o	$a = \frac{1}{0.8}$	$\frac{A_s f_y}{85 f'_c b}$	$M_u = 0.9 f_y \Big(d -$	$-\frac{a}{2}A_s$	12.66	cm ² /m	Despejan	do As		
4.0		12.66	_								

AS_{suministrar} 12.66 cm²/m Por metro lineal de losa

As (+) armadura superior

Para el refuerzo superior se toma el valor con mayor As

AS $12.66 \text{ cm}^2/\text{m}$

Longitudinal

Refuerzo en barra # No. 5 Área 1.99 cm²

Separación calculada (S 15.72 cm

Separación Asumida (S) 15 cm Área de acero 13.27 cm²





As (+) armadura inferior

Longitudinal Refuerzo en barra#	No. 5	Área	1.99	cm ²	Φ (cm)	1.59		Sección 5	5.10.3	
$AS_{temperatura}$ A_s	$\geq \frac{0.75bh}{2(b+h)f_y}$	$A_s \ge 1$	$\frac{0.18bh}{2(b+h)}$	$\left(\frac{cm^2}{m}\right)$	1.76	cm ² /m	AS _{tem}	peratura	2.33	cm ² /n
Armadura distribución (AS _{distribución})		AIZ(S)	124.6 %	67.0 %	AS _{dist}	ribución	6.396	cm ² /m		
Sección 9.7.3.2			Calculado	Chequeado)					
Dirección armadura	principal	Per	pendicu	lar al trá	fico	_T -j				
$AS_{\min} \qquad a = \frac{A_s f_y}{0.85 f'_c}$	\overline{b} $M_u = 0$	$.9f_{y}\left(d-\right)$	$\left(\frac{a}{2}\right)A_s$	9.547	cm ² /m	Despeian	do As			
Momento nominal ($Mn) M_n = {}^{l}$	$M_u/_{\emptyset}$	54.43	kN-m						
Momento último (M	Mu) 48.98	kN-m								
factor de resistencia	a flexión (¢)	0.9	Sección S	5.5.4.2.1					
Altura efectiva (d)	d = t - t	- 0.5Ф	16.2	1 cm						
Recubrimiento (r)	3 cm		Refuer	zo en ba	rra#	No. 5	Ф	1.59	cm	
Ancho unitario (b)	100 cm									

Chequeos

Norma	Criterio	Resultado	Nota
-	$AS_{calculada} \leq AS_{real}$	La separación de acero dispuesto, cumple	Longitudinal
Sección 5.10.8	$2.33 cm^2 /_m \le A_s \le 12.7 cm^2 /_m$	Reviser refuerzo de refracción	Si sobrepasa alguno de los límites reemplazar por dicho valor
Sección 5.10.3	$S_{asumida} \ge 1.5\Phi$ $S_{asumida} \ge 38 mm$	La separación asumida, cumple	-
-	$AS_{calculada} \leq AS_{real}$	La separación de acero dispuesto, cumple	Longitudinal



Refuerzo de distribución Dirección armadura principal Perpendicular al tráfico Calculado Chequeado Sección 9.7.3.2 Armadura distribución 3840/RAIZ(S) AS_{distribución} $6.396 \text{ cm}^2/\text{m}$ 124.6 % 67.0 % (AS_{distribución}) En la franja media S=1,3 Refuerzo en barra# No. 3 Área 0.71 cm^2 Φ (cm) 0.95 Separación calculada (S 11.10 cm Separación asumida (S) 11.00 cm No. Teórico de Varillas 6.409 Parrila inferior sentido paralelo al tráfico No. De Varillas asumido Para 1m En los cuartos exteriores S=1,6 Separación calculada (S 13.87 cm No. Teórico de Varillas 5.266 Parrila inferior sentido paralelo al tráfico No. De Varillas asumido Para 1m En los cuartos exteriores S=0,95 Separación calculada (S 13.87 cm No. Teórico de Varillas 2.923 Parrila inferior sentido paralelo al tráfico No. De Varillas asumido Para 1m Refuerzo de retracción y fraguado AS_{rt} 3 cm²/m Sección 5.10.8 No. 3 Área 0.71 cm^2 Refuerzo en barra# Φ (cm) 0.95 Separación calculada (S 23.67 cm Separación asumida (S) 22.00 cm





6. DISEÑO DE LA VIGA INTERIOR

	_
Longitud del puente	11 m
Espesor de la placa	0.20 m
Separación entre ejes de vigas (S1)	1.35 m
Separación entre ejes de vigas (S2)	2.00 m
Separación entre ejes de vigas (S3)	1.70 m
Separación entre ejes de vigas (S4)	2.00 m
Separación entre ejes de vigas (S5)	1.35 m
Separación interior entre vigas (Sp1)	0.95 m
Separación interior entre vigas (Sp2)	1.60 m
Separación interior entre vigas (Sp3)	1.30 m
Separación interior entre vigas (Sp4)	1.60 m
Separación interior entre vigas (Sp5)	0.95 m

Altura de las vigas (h)	0.70 m
Ancho de las vigas (bo)	0.40 m
Altura efectiva de las vigas (h')	0.50 m
Ancho de acartelamiento	0.20 m
Capa de rodadura de asfalto (e)	0.05 m
Cantidad de Diafragmas	0
Califidad de Diarragilias	0
Altura diafragma en Apoyos	0.00 m
Č	Ü
Altura diafragma en Apoyos	0.00 m
Altura diafragma en Apoyos Altura diafragma en centro luz	0.00 m 0.00 m

6.1. Análisis de Cargas

Carga muerta total (DC)

Carga muerta Distribuida (DC1):

Carga distribuida Peso Losa	W_{Placa}	4.64 kN/m2	Carga distribuida Peso Losa S=2	W_{Placa}	9.28 t/m
Carga distribuida Peso Losa S=1,35	W_{Placa}	6.26 kN/m	Carga distribuida Peso Losa S=1,7	W_{Placa}	7.89 t/m
Carga distribuida Peso Viga	W_{Viga}	6.50 kN/m			
Carga distribuida Carterlas	$W_{Cartela}$	0.00 t/m			
Carga Muerta (DC) (MaxWplaca	$\mathbf{W}_{\mathrm{DC1}}$	15.78 kN/m			
Momento Carga Muerta (M _{DC1})	M_{DC1}	$\frac{W*L^2}{8}$ 217.4	1 kN/m		

Carga muerta Puntual (DC2):

Carga Puntuales de los diafragmas	P_{DC2}	0.00 kN
Numero de Luces	n	1
Momento Carga Muerta Diafragmas \mathbf{M}_{DC}	M_{DC2}	0.00 kN

Momento carga muerta total M_{DC} 217.41 kN-m





Carga por superficie de rodadura (DW)

Carga distribuida Carpeta	$W_{Asfalto}$	1.13 kN/m2	Carga distribuida Carpeta S =2	$W_{Asfalto}$	2.25 kN/m2
Carga distribuida Carpeta S =1,35	$W_{Asfalto}$	1.52 kN/m2	Carga distribuida Carpeta S =1,7	$W_{Asfalto}$	1.91 kN/m2

Momento carga muerta total $M_{DW} = \frac{W * L^2}{8}$ 31.01 kN/m2

Carga Viva

Porcentaje de momento que se distribuye en una viga interior

Separacion entre eje de vigas	S1	1.35 m	S2	2.00 m	S3	1.70 m	
Area de la viga	$A_{Viga} =$	$= h' * b_o$	0.20 m	12			
Inercia de la Viga	I_{Viga}	$t = \frac{h'^3 *}{1}$	<u>(bo)</u>	0.00416	67 m4		
Relación Modulos de Elasticidad	$n=\frac{1}{E}$	E _{Viga} Tablero	1	Ecuación	4.6.2.2.1-	-2	
Distancia entre centros de graveo la viga de base y el del tablero	lad de	\mathbf{e}_{g}	$e_g =$	$\frac{h_{Viga}}{2}$	0.35 m		Sección 4.6.2.2.1
Parámetro de rigidez longitudina	K_{g}	$K_g = r$	$a(I+A_V)$	$_{iga}*e_g^2$	0.03 m	4	Ecuación 4.6.2.2.1-1

		Tabla 4.6.2.2.1-2	Tabla 4.6.2.2.2b-1	
Parámetro de Ecuación:	$\left(\frac{K_g}{L*t_S^3}\right)^{0.1}$	1.05	0.90	Tablero de concreto reforzado sopre vigas T en concreto
	$\left(\frac{K_g}{L*t_S^3}\right)^{0.1}$	0.	90	

Distribución de cargas vivas para momentos en vigas interiores

Un carril de Diseño Cargado

$$g = 0.06 + \left(\frac{S}{4.3}\right)^{0.4} \left(\frac{S}{L}\right)^{0.3} \left(\frac{K_g}{Lt_s^3}\right)^{0.1} \qquad 0.365 \quad Tabla \, 4.6.2.2.2b-1$$

Dos o más carriles de diseño cargados

$$g = 0.075 + \left(\frac{S}{2.9}\right)^{0.6} \left(\frac{S}{L}\right)^{0.2} \left(\frac{K_g}{Lt_s^3}\right)^{0.1} \qquad 0.45 \quad Tabla \ 4.6.2.2.2b-1$$

Momento (g) 0.45





Norma	Criterio	Resultado	Nota
Tabla 4.6.2.2.2b-1	$1100 \le S \le 4900$	Cumple	Tablero de concreto reforzado
14014 1101212120 1		Cumpic	sopre vigas T en concreto
Tabla 4.6.2.2.2b-1	110 - 4 200	Cumple	Tablero de concreto reforzado
1 abia 4.0.2.2.20-1	$110 \le t_S \le 300$	Cumple	sopre vigas Ten concreto
Tabla 4.6.2.2.2b-1	$6000 \le L \le 73000$	Cumple	Tablero de concreto reforzado
1 abia 4.0.2.2.20-1	$6000 \le L \le 73000$	Cumple	sopre vigas Ten concreto
T-bl- 4 (2 2 2 b 1	$N \sim 4$	Cumple	Tablero de concreto reforzado
Tabla 4.6.2.2.2b-1	$N_b \ge 4$	Cumple	sopre vigas Ten concreto
Tabla 4.6.2.2.2b-1	$4.1623x 10^9 \le K_q \le 2.9136x 10^{12}$	Commis	Tablero de concreto reforzado
1 abia 4.0.2.2.2b-1	$4.1023x 10^{\circ} \le K_g \le 2.9130x 10^{\circ}$	Cumple	sopre vigas Ten concreto

Comentario C.9.8.2.1

Porcentaje de cortante que se distribuye en una viga interior

Distribución de carga viva para cortante en vigas interiores

Un carril de Diseño Cargado

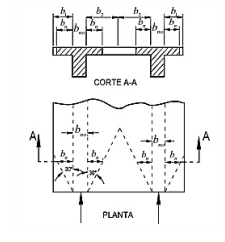
$$g = 0.36 + \frac{S}{7.6}$$

$$g = 0.36 + \frac{S}{7.6}$$
 0.623 Tabla 4.6.2.2.3a-1

Dos o más carriles de diseño cargados

$$g = 0.2 + \frac{S}{3.6} - \left(\frac{S}{10.7}\right)^2$$
 0.721 Tabla 4.6.2.2.3a-1

Cortante (*g*) 0.72



Determinación de ancho efectivo de viga T

•	L/4 2.63 m
b_{efectivo}	$12 * H_{Losa} + 0.5 * b_o 2.60 \text{ m}$
	Sp 0.95 m

b_{efectivo} 0.95 m





Determinación de la altura efectiva de viga (d)

Refuerzo en barra#	No. 5	Área	1.99	cm^2	Φ (cm)	1.59	
Diámetro máximo del ag	1/2	Ф (cm)	1.27				
Nº de filas de refuerzo	3						
	38 1	mm	3.80) cm	Seccion 5.10.5.1.1 Espaciamiento		
Separación del refuerzo	$1.5 * \emptyset_R$	efuerzo	2.39	em cm			
	$1.5 * \emptyset_{A_{\delta}}$	gregado	1.91	l cm	vaciado e	n situ	
Separación del refuerzo	3.80) cm	Separa	ción del 1	refuerzo a	doptada	5.00 cm
Recubrimiento del refue	3	cm	Tabla 5.12	3-1			
Altura ocupada por el refuer	cm Redondeando 14.00 cm						
Altura efectiva de la v	56.00 0	em					

6.2. Envolvente de momentos: método de líneas de influencia

Porcentaje de distribución de Momento (g) 0.45

Factor de impacto (IM) 1.33

	CCP-14							
	Cabezote	Eje 2	Eje 3					
	P3	P2	P1					
	(Kg)	(Kg)	(Kg)					
	4000	16000	16000					
	4.0 t	16.0 t	16.0 t					
Incluye IM y g	2.40	9.61	9.61					

	Cabezote	Eje 2
	P1	P2
	(Kg)	(Kg)
	12500	12500
	12.5 t	12.5 t
Incluye IM y g	7.51	7.51

TANDEM

Análisis de carga: peso propio (DC)

Peso propio de la losa	487.20 kN	Número de Vigas	6	
Peso propio de bordillos	0.00 kN	Peso x Viga (Incluye lo	osa aferente)	152.91 kN
Peso propio de barandas	21.00 kN	RA = RB (Ton)	76.45 kN	
Peso propio total de vigas	409.25 kN	Peso muerto x ML	14.56 kN/m	
Peso propio de diafragmas	0.00 kN	Peso x Viga unitaria	68.21 kN	

Peso total (DC) 91.74 t





Analisis de carga Peso Carpeta Afaltica (DW)

Número de Vigas 6

Peso propio carpeta de de rodadura 86.23 kN Peso x Viga (Incluye losa aferente) 14.37 kN

RA = RB (Ton) 7.19 kN

Peso total (DW) 86.23 kN Peso muerto x ML 1.37 kN/m

Analisis de carga Carril

Carga de carril (W_{Carril}) 10.30 kN/m Peso muerto x ML 4.65 kN/m $g*W_{carril} \qquad 4.65 \text{ kN/m} \qquad RA = RB \text{ (Ton)} \qquad 24.42 \text{ kN}$

6.3. Calculo de Momentos Cargas Distribuidas

A = X (m)	0.25 m	0.50 m	1.00 m	1.50 m	2.00 m	2.50 m	3.00 m	3.50 m	4.00 m	4.50 m	5.00 m
M _{DC} (kN-m)	18.66	36.41	69.17	98.30	123.78	145.63	163.83	178.39	189.31	196.60	200.24
M_{DW} (kN-m)	1.75	3.42	6.50	9.24	11.63	13.69	15.40	16.77	17.79	18.48	18.82
M _{Carril} (kN-m)	5.96	11.63	22.10	31.40	39.54	46.52	52.33	56.98	60.47	62.80	63.96

6.4. Calculo de Momentos Carga viva: CCP-14

A = X (m)	0.25 m	0.50 m	1.00 m	1.50 m	2.00 m	2.50 m	3.00 m	3.50 m	4.00 m	4.50 m	5.00 m
B = L - X (m)	10.25	10.00	9.50	9.00	8.50	8.00	7.50	7.00	6.50	6.00	5.50
MC (P1)	2.44	4.76	9.05	12.86	16.19	19.05	21.43	23.33	24.76	25.71	26.19
MC (P2)	1.42	2.71	4.95	6.71	8.00	8.81	9.14	9.00	8.38	7.29	5.71
MC (P3)	0.39	0.67	0.86	0.57	-0.19	-1.43	-3.14	-5.33	-8.00	-11.14	-14.76
M = L + I(kN - m)	38.01	73.45	136.61	189.46	232.02	264.29	286.25	297.92	299.30	290.37	271.15

6.5. Calculo de Momentos Carga viva: Tandem

A = X (m)	0.25 m	0.50 m	1.00 m	1.50 m	2.00 m	2.50 m	3.00 m	3.50 m	4.00 m	4.50 m	5.00 m
B = L - X (m)	10.25 m	10.00 m	9.50 m	9.00 m	8.50 m	8.00 m	7.50 m	7.00 m	6.50 m	6.00 m	5.50 m
MC (P1)	2.44	4.76	9.05	12.86	16.19	19.05	21.43	23.33	24.76	25.71	26.19
MC (P2)	2.15	4.19	7.90	11.14	13.90	16.19	18.00	19.33	20.19	20.57	20.48
M = L + I(t-m)	34.50	67.22	127.28	180.20	225.96	264.57	296.04	320.35	337.51	347.52	350.38





		6.0	6. Calcu	lo del re	fuerzo	principa	al: viga	interior				
	Mu = 1	$.25M_{DC}$	+ 1.50M	$_{\rm DW}$ +1.7	$5M_{(L+I)}$							
	102.9	199.5	373.9	523.2	647.4	747	837.5	908.5	959.8	991.5	1004	kN-m
												_
$K = Mu / bd^2$	0.03454	0.06697	0.12552	0.17563	0.21731	0.25073	0.28112	0.30494	0.32217	0.33281	0.33688	kN/cm ²
Cuantía (ρ)	0.00091	0.00177	0.00332	0.00464	0.00574	0.00662	0.00743	0.00806	0.00851	0.00879	0.0089	
$As = \rho bd \\$	4.8553	9.4143	17.644	24.688	30.547	35.244	39.517	42.864	45.286	46.782	47.353	cm^2
									-	-	-	
Refuerzo en bar	ra No.	No. 7	Área	3.87	cm^2	Φ (cm)	2.22					
G · D		2	~	-	0	1.0	1.1	10	10	1.0	1.0	1
Cant Bar Requerido	2	3	5	7	8	10	11	12	12	13	13	
$AS_{Existente}$	17.91	17.91	17.91	17.91	17.91	17.91	17.91	17.91	17.91	17.91	17.91	cm^2
AS _{Adicional}	NR	NR	NR	6.778	12.64	17.33	21.61	24.95	27.38	28.87	29.44	cm ²
Cant Bar Adicional	NR	NR	NR	2	4	5	6	7	8	8	8	

	.	~				
6.7.	1)15	eno	а	cor	tante	

Longitud del puente 11 m Factor de impacto 1.33 Distribución cortante (g) 0.72 φ Cortante 0.9

CCP-14 **TANDEM**

P1 (kN) 160 P2 (kN) 160 P3 (kN) 40 P1 (kN) 125 P2 (kN) 125 P1_{cortante} 153.3 P2_{cortante} 153.3 P3_{cortante} 38.34 P1_{cortante} 119.8 P2_{cortante} 119.8

Peso propio DC

Carga muerta sobre la Viga W_{DC} 14.56 kN/m Peso del diafragma en el centro de la luz 0.00 kN

Peso carpeta Asfáltica

Peso propio carpeta Asfáltica

Carga muerta sobre la Viga W_{DW} 1.37 kN/m Carga de Carril 10.30 kN/m g * Carga de carril 7.42 kN/m

3896.74 kg

Cortante por carga muerta

 $W_{carril} = WL/_2$ 3.90 t

VA

Cortante por carga muerta en el apoyo (VA) Cortante por carga muerta en el centro de la luz (V ¢

V¢ P/2 (Solo actúa P) 0.00 t $VA DC = WL/_2 + P/_2 7.65 t$ 7645.40 kg 0.00 kg $DW = {WL}/{2}$ 0.72 t VA718.59 kg





PROYECTO DE GRADO MAESTRÍA EN INGENIERÍA ESTRUCTURAL PATOLOGÍA Y REHABILITACIÓN ESTRUCTURAL DE LA SUPERESTRUCTURA DE UN PUENTE EN CONCRETO REFORZADO UBICADO EN EL MUNICIPIO LA CALERA – CUNDINAMARCA

6.7.1. Envolvente de cortante (V_X)

Calculo de Cortantes Cargas Distribuidas

A = X (m)	0.25 m	0.50 m	1.00 m	1.50 m	2.00 m	2.50 m	3.00 m	3.50 m	4.00 m	4.50 m	5.00 m
$V_{DC}(kN)$	72.813	69.173	61.891	54.610	47.329	40.047	32.766	25.485	18.203	10.922	3.641
$V_{DW}(kN)$	6.844	6.502	5.817	5.133	4.448	3.764	3.080	2.395	1.711	1.027	0.342
$V_{Carril}(kN)$	37.112	35.256	31.545	27.834	24.123	20.412	16.700	12.989	9.278	5.567	1.856

Calculo Cortantes Carga viva: CCP-14

		-									
A = X (m)	0.00 m	0.25 m	0.50 m	1.00 m	1.50 m	2.00 m	2.50 m	3.00 m	3.50 m	4.00 m	4.50 m
B = L - X (m)	10.50	10.25	10.00	9.50	9.00	8.50	8.00	7.50	7.00	6.50	6.00
FV (P1)	9.762	9.524	9.048	8.571	8.095	7.619	7.143	6.667	6.190	5.714	5.238
FV (P2)	5.667	5.429	4.952	4.476	4.000	3.524	3.048	2.571	2.095	1.619	1.143
FV (P3)	1.571	1.333	0.857	0.381	-0.095	-0.571	-1.048	-1.524	-2.000	-2.476	-2.952
V = L + I(kN)	242.618	234.403	217.973	201.542	185.112	168.682	152.252	135.822	119.392	102.962	86.532

Calculo Cortantes Carga viva: TANDEM

A = X (m)	0.00 m	0.25 m	0.50 m	1.00 m	1.50 m	2.00 m	2.50 m	3.00 m	3.50 m	4.00 m	4.50 m
B = L - X (m)	10.50	10.25	10.00	9.50	9.00	8.50	8.00	7.50	7.00	6.50	6.00
FV (P1)	9.762	9.524	9.048	8.571	8.095	7.619	7.143	6.667	6.190	5.714	5.238
FV (P2)	8.619	8.381	7.905	7.429	6.952	6.476	6.000	5.524	5.048	4.571	4.095
V = L + I(kN)	220.209	214.504	203.094	191.684	180.275	168.865	157.455	146.045	134.635	123.226	111.816

6.7.2. Cálculo del refuerzo a cortante: viga interior

 $\begin{aligned} Vu &= 1.25V_{DC} + 1.50V_{DW} + 1.75V_{(L+I)} \\ \hline 590.8 & 568.1 & 522.7 & 477.4 & 432 & 386.9 & 350.3 & 313.8 & 277.2 & 240.6 & 204 & \textit{kN} \end{aligned}$

VC (5.8.3.3)	172	172	172	172	172	172	172	172	172	172	172	kN
Comprobación	R	R	R	R	R	R	R	R	R	R	R	
$VS = Vu / \varphi_{corte}$	656.5	631.2	580.8	530.4	480	429.9	389.3	348.6	308	267.3	226.7	kN

Estribos en barra No. No. 3 Área 0.71 cm^2 Φ (cm) 0.95





PROYECTO DE GRADO MAESTRÍA EN INGENIERÍA ESTRUCTURAL

PATOLOGÍA Y REHABILITACIÓN ESTRUCTURAL DE LA SUPERESTRUCTURA DE UN PUENTE EN
CONCRETO REFORZADO UBICADO EN EL MUNICIPIO LA CALERA – CUNDINAMARCA

S _{MAX necesaria}	6	7	8	9	10	12	15	18	24	35	61	ст
$S_{\text{estribos adoptado}}$	6	7	8	9	10	12	15	18	20	20	20	ст
% Reducción	80%											
S _{EXISTENTE}	20	20	20	25	25	30	30	30	30	30	30	ст
VS-VC	133.6	133.6	133.6	106.9	106.9	89.06	89.06	89.06	89.06	89.06	89.06	kN
VS; VC+ (VS-VC)	305.6	305.6	305.6	278.9	278.9	261.1	261.1	261.1	261.1	261.1	261.1	kN
S _{MAX necesaria}	25	25	25	31	31	37	37	37	37	37	37	cm
S _{estribos adoptado}	20	20	20	20	20	20	20	20	20	20	20	cm

6.7.3. verificación de la geometría de la viga

Número de barras de refuerzo a flexión	2	
Número de filas de refuerzo	3	
Número de barras por fila	0.667	
Recubrimiento lateral	5.0 cm	
Diámetro de barras	5.73 cm	
Separación mínima necesaria entre barras	5.0 cm	Sección 5.10.3.1
Ancho mínimo necesario de viga	37.19 cm	
Altura de recubrimiento de refuerzo en viga	15.0 cm	
altura d mínima necesaria	55 cm	

Chequeos

Norma	Criterio	Resultado	Nota
-	$Ancho_{Viga} \geq Ancho_{minimo}$	El ancho de la viga cumple	-
-	$Altura_{Viga} \geq Altura_{minima}$	La altura de la viga cumple	-





PROYECTO DE GRADO MAESTRÍA EN INGENIERÍA ESTRUCTURAL

PATOLOGÍA Y REHABILITACIÓN ESTRUCTURAL DE LA SUPERESTRUCTURA DE UN PUENTE EN CONCRETO REFORZADO UBICADO EN EL MUNICIPIO LA CALERA – CUNDINAMARCA

7. DISEÑO DE LA VIGA EXTERIOR

Tablero

Longitud del puente	11 m
Ancho total del puente (AT)	10.00 m
Espesor de la placa	0.20 m
Separación entre ejes de vigas (S1)	1.35 m
Separación entre ejes de vigas (S2)	2.00 m
Separación entre ejes de vigas (S3)	1.70 m
Separación entre ejes de vigas (S4)	2.00 m
Separación entre ejes de vigas (S5)	1.35 m
Separación interior entre vigas (Sp1)	0.95 m
Separación interior entre vigas (Sp2)	1.60 m
Separación interior entre vigas (Sp3)	1.30 m
Separación interior entre vigas (Sp4)	1.60 m
Separación interior entre vigas (Sp5)	0.95 m

Altura de las vigas (h)	0.70 m
Ancho de las vigas (bo)	0.40 m
Longitud del voladizo desde el eje (LVI	0.80 m
Longitud libre del Voladizo (LV)	0.60 m
Espesor del acartelamiento	0.00 m
Ancho de bordillos (AN)	0.00 m
Altura de bordillos	0.00 m
Cantidad de Vigas	6.00 m
Altura diafragma en Apoyos	0.00 m
Altura diafragma en centro luz	0.00 m
Ancho de diafragmas (bo)	0.00 m

7.1. Análisis de Cargas

Ancho aferente de placa para viga 1.48 m

Carga muerta total (DC)

Peso de placa 6.84 kN/m
Peso de acartelamiento 0.00 kN/m
Peso de bordillos 0.00 kN/m
Peso de baranda 1.00 kN/m
Peso del nervio 4.64 kN/m

 W_{VIGA} 12.48 kN/m

Peso Diafragma - En apoyo 0.00 kN/m Peso Diafragma - Centro de Lu 0.00 kN/m





PROYECTO DE GRADO MAESTRÍA EN INGENIERÍA ESTRUCTURAL

PATOLOGÍA Y REHABILITACIÓN ESTRUCTURAL DE LA SUPERESTRUCTURA DE UN PUENTE EN
CONCRETO REFORZADO UBICADO EN EL MUNICIPIO LA CALERA – CUNDINAMARCA

Carga Viva

Carga de eje trasero (P) 80.00 kN Carga por rueda trasera Q = P/2

Factor de impacto (I) 1.33

Regla de la palanca

Factor de distribución de momento

Un carril de Diseño

Distancia horizontal desde el eje del alma exterior de la viga en el nivel del tablero al borde interior del bordillo o barrera de tráfico.

0.80 m

Tabla 4.6.2.2.2d-1

Distancia desde el bordillo a carga P

 $0.60 \, \mathrm{m}$

Sección 3.6.1.3.1.

Factor de distribución g 0.519

Dos carriles de diseño

$$e = 0.77 + \frac{d_e}{2.8}$$

1.056 Tabla 4.6.2.2.2d-1

 $g = e \times g_{interior}$ 0.477 Tabla 4.6.2.2.2d-1

Momento (*g*) 0.52

Chequeos

Norma	Criterio	Resultado	Nota
Tabla 4.6.2.2.2d-1	$-300 \le d_a \le 1700$	Cumple	Tablero de concreto reforzado
1 abia 4.0.2.2.2d=1	$-300 \le u_e \le 1700$	Cumple	sopre vigas T en concreto

Factor de distribución de Cortante

Un carril de Diseño

Distancia horizontal desde el eje del alma exterior de la viga en el nivel del tablero al borde interior del bordillo o barrera de tráfico.

0.80 m

Tabla 4.6.2.2.3b-1

Distancia desde el bordillo a carga P

0.60 m

Sección 3.6.1.3.1.

Factor de distribución g 0.519 Regla de la palanca



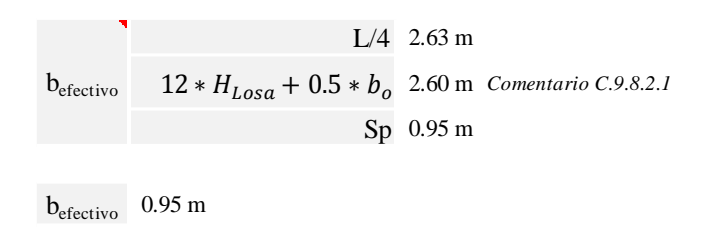


Dos carriles de diseño

$$e = 0.6 + \frac{d_e}{3}$$
 0.867 Tabla 4.6.2.2.3b-1
$$g = e \times g_{interior}$$
 0.625 Tabla 4.6.2.2.3b-1

Cortante (**g**) 0.62

Determinación de ancho efectivo de viga T



Determinación de la altura efectiva de viga (d)

Refuerzo en barra # Diámetro máximo del ag	Refuerzo en barra # No. 5 Diámetro máximo del agregado		1.99 cm ² Ф (ст) 1.27	Ф (cm) 1.59	
N° de filas de refuerzo	3				
Separación del refuerzo	38 mm $1.5 * \emptyset_{Refuerzo}$ $1.5 * \emptyset_{Agregado}$		3.80 cm 2.39 cm 1.91 cm	Sección 5.10.3.1.1 Esp mínimo del refuerzo p vaciado en situ	
Separación del refuerzo	3.80	cm	Separación del	refuerzo adoptad	5.00 cm
Recubrimiento del refue	erzo princ	cipal	3 cm	Tabla 5.12.3-1	

Altura efectiva de la viga (d) 56.00 cm

Altura ocupada por el refuerzo (c 13.68 cm

Redondeando 14.00 cm





7.2. Envolvente de momentos: método líneas de influencía

Porcentaje de distribución de Momento (g)

0.52

Factor de impacto (IM) 1.33

		CCP-14	
	Cabezote	Eje 2	Eje 3
	Р3	P2	P1
	(Kg)	(Kg)	(Kg)
	4000	16000	16000
	4.0 t	16.0 t	16.0 t
Incluye IM y g	2.76	11.03	11.03

TANDEM

Cabezote	Eje 2
P1	P2
(Kg)	(Kg)
12500	12500
12.5 t	12.5 t
8.62	8.62

Análisis de carga: peso propio (DC)

Peso propio de la losa 71.86 kN
Peso propio de bordillos 0.00 kN
Peso propio de barandas 21.00 kN
Peso propio total de vigas 68.21 kN
Peso propio de diafragmas 0.00 kN

Número de Vigas 1

Peso x Viga (Incluye losa aferente) 161.07 kN

RA = RB (Ton) 80.54 kN Peso muerto x ML 15.34 kN/m

Peso total (DC) 161.07 kN

Análisis de carga: Superficie de rodadura (DW)

Peso propio carpeta de rodadura 17.42 kN

Número de Vigas 1

Peso x Viga (Incluye losa aferente) 17.42 kN

RA = RB (Ton) 8.71 kN Peso muerto x ML 1.66 kN/m

Peso total (DW) 17.42 kN

Análisis de carga de carril

Carga de carril 1.03 g x Carga de carril 5.34 kN/m Peso muerto x ML 5.34 kN/mRA = RB (Ton) 28.04 kN

7.3. Calculo de Momentos Cargas Distribuidas

A = X (m)	0.25	0.50	1.00	1.50	2.00	2.50	3.00	3.50	4.00	4.50	5.00
M _{DC} (kN-m)	19.65	38.35	72.87	103.55	130.39	153.40	172.58	187.92	199.42	207.09	210.93
M_{DW} (kN-m)	2.13	4.15	7.88	11.20	14.10	16.59	18.67	20.33	21.57	22.40	22.82
M _{Carril} (kN-m)	6.84	13.35	25.37	36.05	45.40	53.41	60.08	65.42	69.43	72.10	73.44





7.4. Calculo de Momentos Carga viva: CCP-14												
A = X (m)	0.25	0.50	1.00	1.50	2.00	2.50	3.00	3.50	4.00	4.50	5.00	
B = L - X (m)	10.25	10.00	9.50	9.00	8.50	8.00	7.50	7.00	6.50	6.00	5.50	
MC (P1)	2.44	4.76	9.05	12.86	16.19	19.05	21.43	23.33	24.76	25.71	26.19	
MC (P2)	1.42	2.71	4.95	6.71	8.00	8.81	9.14	9.00	8.38	7.29	5.71	
MC (P3)	0.39	0.67	0.86	0.57	-0.19	-1.43	-3.14	-5.33	-8.00	-11.14	-14.76	
M = L + I(kN-m)	43.64	84.33	156.84	217.53	266.39	303.44	328.66	342.06	343.63	333.39	311.32	
		7.	5. Calci	ulo de M	Iomento	os Cargo	ı viva: T	andem				
A = X (m)	0.25	0.50	1.00	1.50	2.00	2.50	3.00	3.50	4.00	4.50	5.00	
B = L - X (m)	10.25	10.00	9.50	9.00	8.50	8.00	7.50	7.00	6.50	6.00	5.50	
MC (P1)	2.44	4.76	9.05	12.86	16.19	19.05	21.43	23.33	24.76	25.71	26.19	
MC (P2)	2.15	4.19	7.90	11.14	13.90	16.19	18.00	19.33	20.19	20.57	20.48	

M = L+I (kN-m) 57.44 | 111.90 | 211.90 | 300.00 | 376.19 | 440.48 | 492.86 | 533.33 | 561.90 | 578.57 | 583.33

7.6. Calculo del refuerzo principal: viga exterior												
	Mu = 1	$.25M_{DC}$	+ 1.50M	$_{\rm DW} + 1.7$	$5M_{(L+I)}$							
	140.3	273.4	518.1	734.3	921.9	1081	1211	1313	1386	1431	1447	kN-m
$K = Mu / bd^2$	0.0471	0.0918	0.1739	0.2465	0.3095	0.3628	0.4066	0.4408	0.4654	0.4804	0.4858	kN/cm ²
Cuantía (p)	0.01244	0.02424	0.04595	0.06513	0.08177	0.09588	0.10745	0.11648	0.12298	0.12694	0.12837	
$As = \rho bd$	66.175	128.98	244.48	346.49	435.02	510.07	571.62	619.68	654.26	675.34	682.93	cm^2
Refuerzo en bar	ra No.	No. 7	Área	3.87	cm^2	Ф (cm)	2.22					
Cant Bar Requerido	2	4	7	9	12	14	15	17	17	18	18	
AS _{Existente}	17.91	17.91	17.91	17.91	17.91	17.91	17.91	17.91	17.91	17.91	17.91	cm^2
AS _{Adicional}	NR	NR	6.537	16.74	25.59	33.09	39.25	44.05	47.51	49.62	50.37	cm^2
Cant Bar Adicional	NR	NR	2	5	7	9	11	12	13	13	14	





7.7. Diseño a cortante

Longitud del puente 11 m Factor de impacto 1.33 Distribución cortante (g) 0.62 φ Cortante 0.9

CCP-14 TANDEM

Peso propio DC

Carga muerta sobre la Viga W_{DC} 15.34 kN/m Peso del diafragma en el centro de la luz 0.00 kN

Peso carpeta Asfáltica Peso propio carpeta Asfáltica

Carga muerta sobre la Viga W_{DW} 1.66 kN/m Carga de Carril 10.30 kN/m g * Carga de carril 6.43 kN/m

3377.18 kg

Cortante por carga muerta

Cortante por carga muerta en el apoyo (VA)

Cortante por carga muerta en el centro de la luz (V ¢

VA $DC = WL/_2 + P/_2$ 8.05 t 8053.50 kg $V \notin P/2$ (Solo actúa P) 0.00 t 0.00 kg VA $DW = WL/_2$ 0.87 t 871.17 kg

7.7.1. Envolvente de cortante (V_X)

Calculo de Cortantes Cargas Distribuidas

 $W_{Carril} = WL/_2$ 3.38 t

Carculo de Cortantes Cargas Distributads											
A = X (m)	.25 m	.50 m	1.00 m	1.50 m	2.00 m	2.50 m	3.00 m	3.50 m	4.00 m	4.50 m	5.00 m
$V_{DC}(kN)$	76.700	72.865	65.195	57.525	49.855	42.185	34.515	26.845	19.175	11.505	3.835
$V_{DW}(kN)$	8.297	7.882	7.052	6.223	5.393	4.563	3.734	2.904	2.074	1.245	0.415
$V_{Carril}(kN)$	32.164	30.555	27.339	24.123	20.906	17.690	14.474	11.257	8.041	4.825	1.608





Calculo Cortantes Carga viva: CCP-14

curcuro corrumes carga viva. cer 17												
A = X (m)	.25 m	.50 m	1.00 m	1.50 m	2.00 m	2.50 m	3.00 m	3.50 m	4.00 m	4.50 m	5.00 m	
B = L - X (m)	10.25 m	10.00 m	9.50 m	9.00 m	8.50 m	8.00 m	7.50 m	7.00 m	6.50 m	6.00 m	5.50 m	
FV (P1)	9.762	9.524	9.048	8.571	8.095	7.619	7.143	6.667	6.190	5.714	5.238	
FV (P2)	5.667	5.429	4.952	4.476	4.000	3.524	3.048	2.571	2.095	1.619	1.143	
FV (P3)	1.571	1.333	0.857	0.381	-0.095	-0.571	-1.048	-1.524	-2.000	-2.476	-2.952	
V = L + I(kN)	210.269	203.149	188.910	174.670	160.431	146.191	131.952	117.712	103.473	89.234	74.994	

Calculo Cortantes Carga viva: TANDEM

A = X (m)	.25 m	.50 m	1.00 m	1.50 m	2.00 m	2.50 m	3.00 m	3.50 m	4.00 m	4.50 m	5.00 m
B = L - X (m)	10.25 m	10.00 m	9.50 m	9.00 m	8.50 m	8.00 m	7.50 m	7.00 m	6.50 m	6.00 m	5.50 m
FV (P1)	9.762	9.524	9.048	8.571	8.095	7.619	7.143	6.667	6.190	5.714	5.238
FV (P2)	8.619	8.381	7.905	7.429	6.952	6.476	6.000	5.524	5.048	4.571	4.095
V = L + I(kN)	190.848	185.903	176.015	166.126	156.238	146.350	136.461	126.573	116.684	106.796	96.907

7.7.2. Cálculo del refuerzo a cortante: viga exterior

	Vu = 1.	25V _{DC} +	1.50V _D	_w +1.75	$V_{(L+I)}$							
	532.6	511.9	470.5	429.1	387.7	346.6	312.9	279.1	245.3	211.6	177.8	kN
VC (5.8.3.3)	172	172	172	172	172	172	172	172	172	172	172	kN
Comprobación	R	R	R	R	R	R	R	R	R	R	R	
$VS = Vu / \varphi_{corte}$	591.8	568.8	522.8	476.8	430.8	385.2	347.6	310.1	272.6	235.1	197.6	kN
												,
Estribos en barr	a No.	No. 3	Área	0.71	cm^2	Ф (cm)	0.95					
S _{MAX necesaria}	7	8	9	10	12	15	19	24	33	52	130	cm
S _{estribos adoptado}	7	8	9	10	12	15	19	20	20	20	20	ст
										,		'
% Reducción	80%											
S _{EXISTENTE}	20	20	20	25	25	30	30	30	30	30	30	ст
VS-VC	133.6	133.6	133.6	106.9	106.9	89.06	89.06	89.06	89.06	89.06	89.06	kN
VS; VC+ (VS-VC)	305.6	305.6	305.6	278.9	278.9	261.1	261.1	261.1	261.1	261.1	261.1	kN
S _{MAX necesaria}	25	25	25	31	31	37	37	37	37	37	37	cm
S	20	20	20	20	20	20	20	20	20	20	20	cm





7.7.3. verificación de la geometría de la viga

Número de barras de refuerzo a flexión	3
Número de filas de refuerzo	3
Número de barras por fila	1
Recubrimiento lateral	5.0 cm
Diámetro de barras	5.73 cm
Separación mínima necesaria entre barras	5.0 cm Sección 5.10.3.1
Ancho mínimo necesario de viga	37.19 cm
Altura de recubrimiento de refuerzo en viga	15.0 cm
altura d mínima necesaria	55 cm

Chequeos

Norma	Criterio	Resultado	Nota
-	$Ancho_{Viga} \geq Ancho_{minimo}$	El ancho de la viga cumple	-
-	$Altura_{Viga} \ge Altura_{minima}$	La altura de la viga cumple	-